



Universidad Nacional Autónoma de México

Facultad de Ciencias

DESARROLLOS INVARIANTES DE GALILEO
DE LAS AMPLITUDES DE DISPERSION
NO-RELATIVISTAS

T E S I S

Que para obtener el grado de:
MAESTRO EN CIENCIAS (FISICA)

p r e s e n t a :

JOSE MANUEL PIÑA MARTINEZ



Universidad Nacional
Autónoma de México

Dirección General de Bibliotecas de la UNAM

Biblioteca Central



UNAM – Dirección General de Bibliotecas
Tesis Digitales
Restricciones de uso

DERECHOS RESERVADOS ©
PROHIBIDA SU REPRODUCCIÓN TOTAL O PARCIAL

Todo el material contenido en esta tesis esta protegido por la Ley Federal del Derecho de Autor (LFDA) de los Estados Unidos Mexicanos (México).

El uso de imágenes, fragmentos de videos, y demás material que sea objeto de protección de los derechos de autor, será exclusivamente para fines educativos e informativos y deberá citar la fuente donde la obtuvo mencionando el autor o autores. Cualquier uso distinto como el lucro, reproducción, edición o modificación, será perseguido y sancionado por el respectivo titular de los Derechos de Autor.

A mis padres y hermanos

A mi esposa Eddy por su infinito amor y comprensión.

A la memoria de mi hijo José Manuel.

A mis hijas Maribel y Mariana

AGRADECIMIENTO

Mi reconocimiento y mi agradecimiento a mi maestro el Dr. Alfonso Mondragón Ballesteros quién propuso este tema de tesis y lo dirigió hasta su feliz culminación. Al Dr. Elpidio Chacón por sus valiosas discusiones en algunos tópicos de la teoría de grupos.

A los Drs. Argimiro Bracamonte y Francisco Cañizales Verde Ex-Rector y Ex-Vicerector de la Universidad Centro Occidental Venezuela.

Al Departamento de Física Teórica del Instituto de Física de la U.N.A.M. y a su director el Dr. Mariano Bauer por las facilidades otorgadas al aceptarme como estudiante asociado de dicho departamento.

A la Universidad Centro Occidental Venezuela por haberme concedido Beca-Sueldo durante el período 1973-76.

A la Srita. Irma Orozco quién mecanografió este trabajo.

INTRODUCCION	1
CAPITULO I	
I - 1 Descripción de las colisiones en la mecánica cuántica	5
I - 2 El operador de dispersión	6
I - 3 La sección eficaz diferencial	7
I - 4 Sistemas de referencia	8
I - 5 Sistema de referencia del centro de masa	8
I - 6 Relación entre el sistema del centro de masa y el sistema de laboratorio	9
I - 7 Relación entre los momentos en el sistema de laboratorio y centro de masa	11
I - 8 Relación entre la energía en el sistema de Laboratorio y el sistema del centro de masa	12
I - 9 El sistema de Breit o de la pared de ladrillo del momento transferido	13
I - 10 Transformación del sistema de laboratorio al sistema de pared de ladrillo del momento <u>trans</u> ferido	14
I - 11 Relación entre la energía en el sistema de La- boratorio y el sistema de pared de ladrillo del momento transferido	15
I - 12 El sistema de referencia de pared de ladrillo del parámetro de impacto	16

I - 13 Planteamiento del problema	19
-----------------------------------	----

CAPITULO II

EL GRUPO DE GALILEO	20
II - 1 El grupo de Euclides $E(3)$	21
II - 2 Subgrupos del Grupo de Euclides	22
II - 3 Clasificación de las subálgebras de $E(3)$	23
II - 4 Funciones bases para partículas de Spin cero	30
II - 5 Estados de una partícula	30
II - 6 Estados de dos partículas	30
II - 4-1 La base esférica	31
II - 4-2 La base cilíndrica	44

CAPITULO III

III - 1 La amplitud de dispersión para partículas sin Spin como función de un punto en el espacio de momento	45
III - 2 El sistema del centro de masa y las variables invariantes de Galileo	47
III - 3 Las variables de Galileo del sistema de pared de ladrillo del momento transferido	49
III - 4 Relación entre las variables de Galileo de la pared de ladrillo y las del centro de masa	51
III - 5 Sistema de Pared de ladrillo del parámetro de impacto	51

III - 6 El desarrollo de la amplitud de dispersión	55
III - 6-1 El desarrollo esférico en el sistema del centro de masa	55
III - 6-2 El desarrollo cilíndrico del momento tranfe- rido para partículas sin Spin	56
III - 6-3 El desarrollo cilíndrico del parámetro de impacto	58

CAPITULO IV

IV - 1 El espacio de Hilbert para partículas con Spin	60
IV - 2 Los operadores S y T para partículas con Spin. Las amplitudes de dispersión	62
IV - 3 Conservación del momento usando las represen- tación de coordenadas	65
IV - 4 Invariancia bajo translaciones en el tiempo	66
IV - 5 Invariancia bajo rotaciones	68
IV - 6 El formalismo de la helicidad	70
IV - 7 El desarrollo esférico	73
IV - 8 Invariancia rotacional	75
IV - 9 Relación entre el formalismo de los armónicos esféricos vectoriales y el formalismo de heli- cidad	84
IV - 10 La base cilíndrica	

CAPITULO V

V - 1	Los desarrollos de las amplitudes de dispersión para partículas con Spin en la base esférica	89
V - 2	El desarrollo cilíndrico del momento transferido para partículas con Spin	94
V - 3	El desarrollo cilíndrico del parametro de impacto para partículas con Spin	96
VI -	Resultados, comentarios y conclusiones	98

INTRODUCCION

En los últimos años se ha enfocada el estudio de la matriz S relativista desde un punto de vista que pone gran énfasis en la conexión con la teoría de la representación de los grupos y el análisis armónico de funciones sobre grupos. El propósito de este trabajo es el de demostrar como es posible un enfoque semejante para la matriz S no-relativista, de este modo se pone de manifiesto la simetría galileana de los problemas no-relativistas y en particular, se muestra en este trabajo que el concepto de desarrollo en ondas parciales se generaliza fácilmente de manera que un desarrollo en ondas parciales generalizado es un análisis armónico sobre un grupo de simetrías. La amplitud de dispersión y la amplitud de ondas parciales resultan ser transformadas integrales una de otra, la función que actúa como núcleo (Kernel) de la transformación es un elemento de matriz de un operador del grupo de simetrías en una representación apropiada. Los desarrollos obtenidos en este trabajo aparecen como sumas o integrales múltiples a diferencia de los que se usan comunmente que son sumas o integrales simples. Estos son casos particulares de los aquí obtenidos.

El material se distribuye por capítulos y secciones de la manera siguiente:

En el Capítulo I se introducen los conceptos básicos de operador de dispersión o matriz S , la sección eficaz diferencial, se discuten los diversos marcos de referencia así como las transformaciones de Galileo que permiten pasar de un marco de referencia a otro, finalmente se plantea el problema cuya solución es tema de esta tesis.

En el Capítulo II, se introduce la noción de grupo de Galileo y su algebra de Lie, grupo de Euclides y varias cadenas de subgrupos de éste, se hace una clasificación sistemática de las algebras y subalgebras del grupo de Euclides, también se determinan las bases de funciones del espacio de Hilbert apropiados para la descripción de las colisiones de dos partículas sin Spin con ayuda de los operadores invariantes del grupo de Euclides.

En el Capítulo III se muestra la amplitud de dispersión como una función de punto en el espacio de momentos, se definen las variables invariantes de Galileo y se encuentran las relaciones de estas con las variables comunmente usadas. Con ayuda de las bases definidas en el Capítulo II se hace el análisis de Fourier de la amplitud de dispersión sobre las cadenas de grupos $E(3) \supset O(3) \supset O(2)$, $E(3) \supset E(2) \times T_{\perp} \supset O(2) \times T_{\perp}$ y se muestra que en el primer caso se obtiene el desarrollo generalizado en ondas parciales, en el segundo caso se obtienen dos desarrollos uno de los cuales es una generalización del desarrollo iconal (Eikonál) del parámetro de impacto ^{5,10,16} salvo que

él aquí encontrado es exacto y no está restringido a valores de la energía grandes y valores del momento transferido pequeños.

El otro desarrollo cilíndrico es relativamente novedoso y es también un desarrollo iconal en el que el eje de simetría es el momento transferido \vec{q} , que es un invariante de Galileo, es también exacto es decir válido para energías y ángulos arbitrarios, y coincide con el límite no-relativista del desarrollo en ondas parciales en el canal cruzado de la amplitud de dispersión relativista como ha sido demostrado por G. Cocho et al y G. Cocho, A. Mondragón, Colón Vela^{9,11}).

En el Capítulo IV se generaliza el análisis para el caso en que las partículas que chocan tienen Spin, se discute brevemente algunas consecuencias de la invariancia galileana, se introduce el formalismo de la helicidad y se muestra la relación que tiene con el formalismo de los armónicos esféricos vectoriales.

En el Capítulo V se hacen los análisis "esféricos" y "cilíndricos" para partículas con Spin con las bases definidas por los operadores invariantes de las cadenas de grupos $E(3) \supset O(3) \supset O(2)$ y $E(3) \supset E(2) \times T_{\perp} \supset O(2) \times T_{\perp}$ respectivamente, se obtienen representaciones integrales de la amplitud de dispersión como series o integrales dobles cuyo núcleo (Kernel) son elementos de matriz de operadores de los subgrupos de $E(3)$.

Estos desarrollos son la generalización natural de los encontrados antes para el caso en que las partículas no tienen Spin.

El desarrollo esférico no es más que el análisis en ondas parciales para partículas con Spin en el formalismo de la helicidad discutido por Jacob y Wick¹⁸⁾.

Los desarrollos cilíndricos que aparecen aquí como "análisis en ondas parciales generalizado" son representaciones iconales (eikonal) de la amplitud de dispersión para partículas con Spin. La representación iconal del parámetro de impacto que se discute en este trabajo tiene como eje de simetría $(\vec{p}-\vec{q})$ en el caso de que todas las masas de las partículas sean iguales donde \vec{p} es el impulso total en el sistema de referencia del laboratorio y \vec{q} es el momento transferido y es exacta para ángulos y energías arbitrarias y también para Spines arbitrarios de las partículas. La representación iconal del momento transferido tiene como eje de simetría la dirección del momento transferido, \vec{q} y es válida para todos los valores de la energía, del ángulo de dispersión y Spines de las partículas.

Este desarrollo ha sido discutido antes por otros autores^{9,11)} quienes obtienen resultados semejantes a los de este trabajo por un procedimiento ligeramente diferente. Finalmente en el Capítulo VI se discute el significado de los resultados obtenidos y se hacen algunos comentarios.

CAPITULO I

I.1 - Descripción de las colisiones en la mecánica cuántica.

En mecánica cuántica el estado de un sistema físico se describe con ayuda de vectores de estados $|\psi_t\rangle$ que satisfacen la ecuación de Schrödinger dependiente del tiempo:

$$i \frac{d}{dt} |\psi_t\rangle = H |\psi_t\rangle \quad (1)$$

La solución de esta ecuación se puede escribir como:

$$|\psi_t\rangle = U(t) |\psi\rangle \equiv e^{-iHt} |\psi\rangle$$

donde $U(t)$ se llama el operador de evolución y $|\psi\rangle$ es un vector del espacio de Hilbert apropiado.

Supondremos que $|\psi_t\rangle$ describe la evolución de un sistema formado por dos partículas. Antes de la colisión $\lim_{t \rightarrow -\infty} U(t) |\psi\rangle$ representa un paquete de ondas libres que describe el movimiento de las partículas que se aproximan una a otra y mucho después de la colisión $\lim_{t \rightarrow +\infty} U(t) |\psi\rangle$ representa un paquete de ondas que describe el movimiento de dos partículas libres que se alejan una de la otra. El movimiento de una partícula libre está dado por el operador de evolución libre $U^0(t) = e^{-iH^0 t}$ y entonces cuando $t \rightarrow -\infty$

$$\lim_{t \rightarrow -\infty} U(t) |\psi\rangle = \lim_{t \rightarrow -\infty} U^0(t) |\psi_{in}\rangle \quad \text{antes de la colisión}$$

Similarmente, despues de la colisión

$$\lim_{t \rightarrow \infty} U(t) |\psi\rangle = \lim_{t \rightarrow \infty} U^0(t) |\psi_{out}\rangle$$

Multiplicando por $U^\dagger(t)$ las dos últimas expresiones se

tiene

$$\lim_{t \rightarrow -\infty} U^\dagger(t) U(t) |\psi\rangle = \lim_{t \rightarrow -\infty} U^\dagger(t) U^0(t) |\psi_{in}\rangle$$

$$\lim_{t \rightarrow +\infty} U^\dagger(t) U(t) |\psi\rangle = \lim_{t \rightarrow +\infty} U^\dagger(t) U^0(t) |\psi_{out}\rangle$$

Las cuales se pueden escribir como:

$$|\psi\rangle = \lim_{t \rightarrow -\infty} U^\dagger(t) U^0(t) |\psi_{in}\rangle \equiv \Omega_+ |\psi_{in}\rangle$$

$$|\psi\rangle = \lim_{t \rightarrow +\infty} U^\dagger(t) U^0(t) |\psi_{out}\rangle \equiv \Omega_- |\psi_{out}\rangle$$

Los dos operadores Ω_\pm , definidos como el límite

$$\Omega_\pm = \lim_{t \rightarrow \mp \infty} U(t)^\dagger U^0(t)$$

son llamados los operadores de Møller.^{1,2}

I.2 - El operador de dispersión o matriz S.

Teniamos que $|\psi\rangle = \Omega_- |\psi_{out}\rangle$ multiplicando por la izquierda por Ω_-^\dagger , $\Omega_-^\dagger |\psi\rangle = \Omega_-^\dagger \Omega_- |\psi_{out}\rangle$ entonces

$$|\psi_{out}\rangle = \Omega_-^\dagger |\psi\rangle \quad \text{ya que} \quad \Omega_-^\dagger \Omega_- = 1$$

La cual se puede escribir también como:

$|\psi_{out}\rangle = \Omega_-^\dagger \Omega_+ |\psi_{in}\rangle$ si definimos el operador de dispersión o matriz S como:

$$S = \Omega \dagger \Omega \quad (2)$$

Podemos escribir el estado saliente $|\psi_{out}\rangle$ en función del estado entrante $|\psi_{in}\rangle$ en la siguiente forma

$$|\psi_{out}\rangle = S |\psi_{in}\rangle \quad (3)$$

Si dos partículas que inicialmente están en un estado asintótico $|\psi_{in}\rangle$ chocan, después de un tiempo relativamente grande comparado con el tiempo que dura la colisión, su estado se puede expresar de la siguiente forma $|\psi_{out}\rangle = S |\psi_{in}\rangle$

Ya que solamente el movimiento libre es observable en el laboratorio, el operador S contiene toda la información de interés experimental. Vamos a definir a continuación la sección eficaz diferencial y su relación con la matriz S .

1.3 - La sección eficaz diferencial.

La sección eficaz diferencial está definida como:

$$\frac{d\sigma}{d\Omega} = \frac{dN_{sc}/d\Omega}{dN_{inc}/dA} \quad (4)$$

donde dN_{sc} es el número de partículas por unidad de ángulo sólido y por unidad de tiempo y dN_{inc} es el número de partículas por unidad de área y por unidad de tiempo.

La relación entre la matriz S y la sección eficaz diferencial es:

$$\frac{dG}{d\Omega} = \left(\frac{2\pi}{h}\right)^2 \left| \langle \psi_{00} | (S-1) | \psi_{1n} \rangle \right|^2 \quad (5)$$

La sección eficaz diferencial es la cantidad que es experimentalmente observable^{3,4}).

I.4 - Sistemas de referencia.

Aunque todas nuestras medidas las efectuamos en el sistema de laboratorio es necesario introducir otros sistemas de referencia en las cuales las simetrías del problema sean más evidentes. En este trabajo introduciremos el sistema de referencia del centro de masa que se define por el requisito que en éste el momento total del sistema sea nulo, en este marco de referencia se discutirá la simetría respecto de rotaciones en el espacio.

Los dos sistemas de Breit o pared de ladrillos asociados a dos direcciones especificadas por el experimento la del momento total \vec{p} y la del momento transferido \vec{q} en estos sistemas de referencia la discusión de la simetría translacional es particularmente simple.

I.5 - Sistema de referencia del centro de masa.

El sistema del centro de masa se define por las condiciones $\vec{p} = 0$, $\vec{k}_1^{c.m.} = -\vec{k}_2^{c.m.}$, $\vec{k}_3^{c.m.} = -\vec{k}_4^{c.m.}$ donde \vec{k}_1 y \vec{k}_2 son los momentos de las partículas antes de

la colisión y \vec{p}_3 , \vec{p}_4 son los momentos después de la colisión y \vec{P} es el momento lineal total.

Consideraremos reacciones del tipo $1+2 \rightarrow 3+4$
con $m_1 = m_3$, $m_2 = m_4$

La conservación del momento lineal nos dice:

$$\vec{p}_1^{c.m.} + \vec{p}_2^{c.m.} = \vec{P} = \mathcal{L}e = \vec{p}_3^{c.m.} + \vec{p}_4^{c.m.} \quad (6)$$

La conservación de la energía nos dice

$$\frac{\vec{p}_1^{2 c.m.}}{2 m_1} + \frac{\vec{p}_2^{2 c.m.}}{2 m_2} = \frac{\vec{p}_3^{2 c.m.}}{2 m_1} + \frac{\vec{p}_4^{2 c.m.}}{2 m_2} = \mathcal{L}e \quad (7)$$

I.6 - Relación entre el sistema del centro de masa y el sistema de Laboratorio.

Datos

antes de la colisión

$$\vec{p}_1^L = \vec{p}^L$$

$$\vec{p}_2^L = 0$$

Después de la colisión

$$\vec{p}_3^L$$

$$\vec{p}_4^L$$

Debemos sumar una velocidad constante a la velocidad del centro de masa para obtener la velocidad en el sistema de Laboratorio

$$\vec{v}_1^L = \vec{v}_1^{c.m.} + \vec{v}^{c.m.} \quad (8)$$

$$0 = \vec{v}_2^{c.m.} + \vec{v}^{c.m.}$$

multiplicando por m_1 la primera de las ecuaciones (8) y por m_2 la segunda de las ecs. (8) se tiene:

$$m_1 \vec{v}_1^L = m_1 \vec{v}_1^{C.M} + m_1 \vec{v}^{C.M} \quad (9)$$

$$0 = m_2 \vec{v}_2^{C.M} + m_2 \vec{v}^{C.M} \quad (10)$$

Sumando (9) y (10) y despejando $(\vec{v}^{C.M})^L$ entonces

$$\vec{v}^{C.M} = \frac{m_1}{m_1 + m_2} \vec{v}_1^L \quad (11)$$

Esta velocidad es la velocidad del centro de masa medida con respecto al sistema de laboratorio.

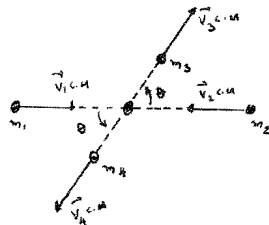
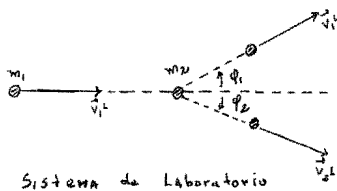
Podemos entonces conocer $\vec{v}_1^{C.M}$ en función \vec{v}_1^L de la siguiente manera:

$$\vec{v}_1^{C.M} = \vec{v}_1^L - \vec{v}^{C.M} = \vec{v}_1^L - \frac{m_1}{m_1 + m_2} \vec{v}_1^L = \frac{m_1 + m_2 - m_1}{m_1 + m_2} \vec{v}_1^L$$

$$\therefore \vec{v}_1^{C.M} = \frac{m_2}{m_1 + m_2} \vec{v}_1^L \quad (12)$$

de igual manera:

$$\vec{v}_2^{C.M} = - \frac{m_1}{m_1 + m_2} \vec{v}_1^L \quad (13)$$



Relación entre la velocidad en el sistema de laboratorio y el sistema del centro de masa

La relación entre los vectores velocidad $\vec{V}^{C.M.}$, \vec{V}_1^L y $\vec{V}_1^{C.M.}$ es la siguiente:

$$V_1^L \operatorname{sen} \phi_1 = V_3^{C.M.} \operatorname{sen} \theta \quad (14)$$

$$V_1^L \cos \phi_1 = V_3^{C.M.} \cos \theta + V^{C.M.} \quad (15)$$

de (14) y (15) dividiendo conseguimos la ecuación que expresa los ángulos de dispersión en la siguiente forma:

$$\tan \phi_1 = \frac{V_3^{C.M.} \operatorname{sen} \theta}{V_3^{C.M.} \cos \theta + V^{C.M.}} \quad (16)$$

I.7 - Relación entre los momentos en el sistema de Laboratorio y el sistema de centro de masa.

De la ecuación (12) multiplicando por m_1 se tiene:

$$m_1 \vec{V}_1^{C.M.} = \frac{m_2}{m_1 + m_2} m_1 \vec{V}_1^L$$

$$\therefore \vec{p}_1^{C.M.} = \frac{m_2}{m_1 + m_2} \vec{p}_1^L \quad (17)$$

ya que $\vec{p}_1^{C.M.} = -\vec{p}_2^{C.M.}$ entonces:

$$\vec{p}_2^{C.M.} = -\frac{m_2}{m_1 + m_2} \vec{p}_1^L \quad (18)$$

busquemos \vec{p}_3 y \vec{p}_4

$$\vec{V}_3^L = \vec{V}_3^{C.M.} + V_{C.M.}^L \quad \therefore \vec{V}_3^{C.M.} = \vec{V}_3^L - V_{C.M.}^L \quad \text{con} \quad \vec{V}^{C.M.} = \frac{m_1}{m_1 + m_2} \vec{V}_1^L$$

$$\therefore \vec{V}_3^{C.M.} = \vec{V}_3^L - \frac{m_1}{m_1 + m_2} \vec{V}_1^L = \frac{(m_1 + m_2) \vec{V}_3^L - m_1 \vec{V}_1^L}{m_1 + m_2}$$

multiplicando por m_3 se tiene:

$$\vec{p}_3^{C.M.} = \vec{p}_3^L - \frac{m_3}{m_1 + m_2} \vec{p}_1^L \quad (19)$$

pero $\vec{p}_3 = -\vec{p}_4$ de tal modo que :

$$\vec{p}_4^{c.m.} = \frac{m_3}{m_1 + m_2} \vec{p}_1^L - \vec{p}_3^L \quad (20)$$

I.8 - La relación entre la energía en el sistema de Laboratorio y el sistema del centro de masa.

La energía cinética de la partícula 1 en el sistema del centro de masa es:

$$E_1 = \frac{\vec{p}_1^{2c.m.}}{2m_1} = \left(\frac{m_2}{m_1 + m_2} \right)^2 \frac{p_1^{2L}}{2m_1} \quad \text{donde se usa la ec. (17) .}$$

La cual se puede escribir también como:

$$E_1 = \frac{(m_1 + m_2)^2}{m_2^2} \frac{p_1^{2c.m.}}{2m_1} = \left(\frac{m_1 + m_2}{m_1 m_2} \right)^2 \frac{m_1}{2} \vec{p}_1^{2c.m.} = \frac{m_1}{2} \left[\frac{m_1^2 + 2m_1 m_2 + m_2^2}{m_1^2 m_2^2} \right] p_1^{2c.m.}$$

La cual se puede reordenar de la siguiente manera

$$E_1 = \frac{m_1}{2} \left[\frac{1}{m_2^2} + \frac{2}{m_1 m_2} + \frac{1}{m_1^2} \right] p_1^{2c.m.} = \frac{p_1^{2c.m.}}{2m_1} + \frac{p_1^{2c.m.}}{m_2} + \frac{m_1 p_1^{2c.m.}}{2m_2^2}$$

En el sistema del centro de masa se tiene $\vec{p}_1 = -\vec{p}_2$ tomaremos en cuenta este hecho y además sumaremos y restaremos $\frac{\vec{p}_2^{2c.m.}}{2m_2}$ entonces:

$$E_L = \frac{p_1^{2c.m.}}{2m_1} + \frac{p_1^{2c.m.}}{m_2} + \frac{m_1}{2m_2^2} p_1^{2c.m.} - \frac{p_2^{2c.m.}}{2m_2} + \frac{p_2^{2c.m.}}{2m_2}$$

$$\text{ya que } E^{c.m.} = \frac{p_1^{2c.m.}}{2m_1} + \frac{p_2^{2c.m.}}{2m_2} = \frac{m_2 + m_1}{2m_1 m_2} p_1^{2c.m.} = E_V$$

$$E_L = E_V + \frac{p_1^{2c.m.}}{m_2} + \frac{m_1}{2m_2^2} p_1^{2c.m.} - \frac{p_1^{2c.m.}}{2m_2} = E_V + \frac{p_1^{2c.m.}}{2m_2} + \frac{m_1 p_1^{2c.m.}}{2m_2^2}$$

La cual se puede escribir también como:

$$E_L = E_V + \frac{m_2 \dot{\vec{r}}_1^{2c.M} + m_1 \dot{\vec{r}}_1^{2c.M}}{2 m_2^2} = E_V + \frac{M}{2 m_2^2} \dot{\vec{r}}_1^{2c.M} \quad \text{con } M = m_1 + m_2$$

según la ec. (17) $\vec{r}_1^L = \vec{P} = \frac{M}{m_2} \vec{r}_1^{c.M}$

de tal manera que:

$$E_L = E_V + \frac{M}{2 m_2^2} \frac{m_2^2}{M^2} P^2 = E_V + \frac{P^2}{2M}$$

El resultado anterior nos dice que la energía total es igual a la energía del movimiento relativo más la energía del movimiento del centro de masa.

I.9 - El sistema de Breit o de la pared de ladrillo del momento transferido.

Este marco de referencia lo obtenemos cuando tomamos el momento transferido en la dirección del eje z y además exigimos que: $\vec{p}_2 = -\vec{p}_4$ (\vec{p}_2 y \vec{p}_4 son los momentos de las partículas 2 y 4)

Como el momento transferido es un invariante de Galileo si sigue:

$$\vec{p}_4^L - \vec{p}_2^L = \vec{q} \quad \Rightarrow \quad \vec{p}_4^L = \vec{q}$$

y en el sistema del momento transferido:

$$\vec{p}_4^0 - \vec{p}_2^0 = \vec{q} \quad \text{de donde es obvio que:}$$

$$\vec{p}_4^0 = \frac{1}{2} \vec{q} = \vec{q}_\perp \quad \text{Y} \quad \vec{p}_2^0 = -\frac{1}{2} \vec{q} = -\vec{q}_\perp$$

De la elección del eje z en la dirección de \vec{q} entonces

$$\vec{p}_2^B = (0, 0, -q_{\perp}) \quad \text{y} \quad \vec{p}_4^B = (0, 0, q_{\perp})$$

El vector \vec{p}_1^B y \vec{p}_3^B van a tener las siguientes coordenadas:

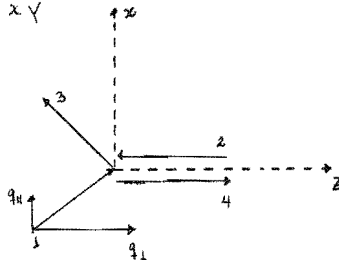
$$\vec{p}_1^B = (q_{\parallel}, 0, q_{\perp}) \quad \text{y} \quad \vec{p}_3^B = (q_{\parallel}, 0, -q_{\perp})$$

Sumando \vec{p}_1^B y \vec{p}_3^B

$$\vec{p}_1^B + \vec{p}_3^B = 2\vec{q}_{\parallel} \quad \therefore \quad \vec{q}_{\parallel} = \frac{1}{2} (\vec{p}_1^B + \vec{p}_3^B)$$

El subíndice de q indica si la componente es paralela o perpendicular al sistema de pared de ladrillos identificado con

el plano $x-y$



Sistema de pared de ladrillo del momento
transferido

I.10 - Transformación del sistema de Laboratorio al sistema de pared de ladrillos del momento transferido.

Calculemos la velocidad que le debemos sumar a la velocidad de laboratorio para obtener la misma velocidad en el sistema de Breit

$$\vec{v}_1^B = \vec{v}_1^L + \vec{v} \quad (21)$$

$$\vec{v}_2^B = \vec{v}_2^L + \vec{v} \quad (22)$$

de la ecuación (22) se concluye que:

$$\vec{v}_2^B = \vec{v} \quad \text{pero} \quad \vec{p}_2^B = -\frac{1}{2} \vec{q}$$

de donde obviamente
$$\vec{v} = -\frac{1}{2} \frac{\vec{q}}{m_2} \quad (23)$$

entonces:

$$\begin{aligned} \vec{p}_1^B &= \vec{p}_1^L - \frac{1}{2} \mu \vec{q} & \vec{p}_2^B &= -\frac{1}{2} \vec{q} \\ \vec{p}_3^B &= \vec{p}_3^L - \frac{1}{2} \mu \vec{q} & \vec{p}_4^B &= \vec{p}_4^L - \frac{1}{2} \vec{q} = \frac{1}{2} \vec{q} \end{aligned}$$

I.11 - Relación entre la energía en el sistema de Laboratorio
y el sistema de pared de ladrillo del momento transferido.

La energía total en el sistema de Breit es:

$$E^B = \frac{\vec{p}_1^B}{2m_1} + \frac{\vec{p}_2^B}{2m_2} = \frac{\vec{p}_1^L - \mu \vec{q} \cdot \vec{p}_1^L + \frac{1}{4} \mu^2 q^2}{2m_1} + \frac{q^2/4}{2m_2}$$

La cual se puede escribir también como:

$$E^B = \frac{\vec{p}_1^L}{2m_1} - \frac{1}{2m_2} \vec{q} \cdot \vec{p}_1^L + \frac{m_1}{8m_2^2} q^2 + \frac{q^2}{8m_2}$$

$$E^B = E^L + \frac{1}{2m_2} \left[-\vec{p}_1^L + \frac{1}{4} (1 + \mu) \vec{q} \right] \cdot \vec{q} \quad (24)$$

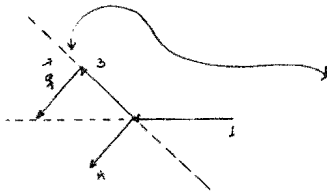
Vamos a ver una colisión en el sistema de laboratorio y como se vería ésta en el sistema de pared de ladrillo del momento transferido:

después de la colisión

$$\begin{aligned} \vec{p}_3^L &= \vec{p} - \vec{q} \\ \vec{p}_4^L &= \vec{q} \end{aligned}$$

antes de la colisión

$$\begin{aligned} \vec{p}_1^L &= \vec{p} \\ \vec{p}_2^L &= 0 \end{aligned}$$



Pared de ladrillo

La colisión en el sistema de Laboratorio

después de la colisión

$$\vec{p}_3^B = p_3^L - \frac{1}{2} \mu \vec{q}$$

$$\vec{p}_4^B = \frac{1}{2} \vec{q}$$



antes de la colisión

$$\vec{p}_1^B = \vec{p}_1^L - \frac{1}{2} \mu \vec{q}$$

$$\vec{p}_2^B = -\frac{1}{2} \vec{q}$$

I.12 - El sistema de referencia de pared de ladrillo del parámetro de impacto.

Este sistema de referencia se define como:

$$-\vec{p}_2^B \parallel \vec{p}_3^B \quad \text{y} \quad E_1 = E_4, \quad E_2 = E_3$$

La velocidad de transformación del sistema de laboratorio al sistema de pared de ladrillo viene dada por:

$$\vec{v} = \vec{v}_2^B - \vec{v}_3^L$$

de la condición $-\vec{p}_2^B \parallel \vec{p}_3^B$ se concluye que:

$$-(\vec{v}_2^L + \vec{v}) \parallel (\vec{v}_3^L + \vec{v}) \quad \text{como} \quad \vec{v}_2^L = 0 \quad \text{y} \quad \vec{v}_3^L = \frac{1}{m_1} (\vec{p}_1^L - \vec{q}) \quad (24)$$

$$\vec{v} \parallel \frac{1}{m_1} (\vec{p}_1^L - \vec{q}) \quad \therefore \quad \vec{v} = \frac{\alpha}{m_1} (\vec{p}_1^L - \vec{q}) \quad (25)$$

Averiguemos cuanto vale α y para ello utilizaremos la condición $E_2^B = E_3^B$

$$\frac{1}{2m_2} (0 + v)^2 = \frac{1}{2m_3} (v_3^L + v)^2 \quad (26)$$

Sustituyendo (24) y (25) en (26)

$$\frac{m_2}{2} \frac{\alpha^2}{m_1^2} (\vec{p}_1 - \vec{q})^2 = \frac{m_3}{2} \left[\frac{1}{m_1} (\vec{p}_1 - \vec{q}) + \frac{\alpha}{m_1} (\vec{p}_1 - \vec{q}) \right]^2$$

de donde se sigue que:

$$\left(\frac{m_2}{m_1} - 1 \right) \alpha^2 - 2\alpha - 1 = 0 \quad (27)$$

La cual tiene la solución:

$$\alpha = \frac{1 \pm \sqrt{1 + \left(\frac{1}{\mu} - 1\right)}}{\frac{1}{\mu} - 1} \quad (28)$$

$$\text{Eligiendo} \quad \alpha = \frac{\mu}{1-\mu} - \frac{\sqrt{1 + \frac{1}{\mu} - 1}}{\frac{1}{\mu} - 1} \quad (29)$$

se escoge la solución negativa para que $-\vec{p}_2^B \parallel \vec{p}_3^B$

La velocidad de transformación:

$$\vec{v} = \frac{1}{m_1} \left[\frac{\mu}{1-\mu} - \frac{\sqrt{\frac{1}{\mu}}}{\frac{1}{\mu} - 1} \right] (\vec{p}_1 - \vec{q}) \quad (30)$$

Los momentos de las partículas en el sistema de Breit son:

$$\vec{p}_1^B = \vec{p}_1 + \left[\frac{\mu}{1-\mu} - \frac{\sqrt{\mu}}{1-\mu} \right] (\vec{p}_1 - \vec{q}) \quad (31)$$

$$\vec{p}_2^B = \frac{1}{\mu} \left[\frac{\mu}{1-\mu} - \frac{\sqrt{\mu}}{1-\mu} \right] (\vec{p}_1 - \vec{q}) \quad (32)$$

$$\vec{p}_3^B = -\frac{\sqrt{\mu}}{\mu} \left[\frac{\mu}{1-\mu} - \frac{\sqrt{\mu}}{1-\mu} \right] (\vec{p}_1 - \vec{q}) \quad (33)$$

$$\vec{p}_4^B = \vec{p}_4 + \frac{1}{\mu} \left[\frac{\mu}{1-\mu} - \frac{\sqrt{\mu}}{1-\mu} \right] (\vec{p}_1 - \vec{q}) \quad (34)$$

de (32) y (33) es fácil ver que:

$$\vec{p}_3^B = -\sqrt{\mu} \vec{q} = \vec{p}_2^B \quad (35)$$

con:

$$q = \frac{1}{\mu} \left[\frac{\mu}{1-\mu} - \frac{\sqrt{\mu}}{1-\mu} \right] \quad (36)$$

El momento de las partículas 2 y 3 en el sistema del parámetro de impacto son:

$$\vec{p}_2^B = (0, 0, q) \quad \vec{p}_3^B = (0, 0, -\sqrt{\mu} q)$$

Definamos a continuación las componentes: paralelas y perpendiculares a nuestro plano de la siguiente manera:

$$\begin{aligned} \vec{p}_2^B &= \frac{1}{2} (\vec{p}_2^B + \vec{p}_4^B) - \frac{1}{2} (\vec{p}_4^B - \vec{p}_2^B) \\ \vec{p}_4^B &= \frac{1}{2} (\vec{p}_4^B - \vec{p}_2^B) = \frac{1}{2} \left\{ \vec{p}_4^L + \frac{1}{\mu} \left[\frac{\mu}{1-\mu} - \frac{\sqrt{\mu}}{1-\mu} \right] (\vec{p} - \vec{q}) - \frac{1}{\mu} \left[\frac{\mu}{1-\mu} - \frac{\sqrt{\mu}}{1-\mu} \right] (\vec{p} - \vec{q}) \right\} \end{aligned} \quad (37)$$

Pero $\vec{p}_4^L = \vec{q}$ de donde

$$\vec{p}_4^B = \frac{1}{2} \vec{q} \quad (38)$$

Análogamente \vec{p}_1 es:

$$\vec{p}_1 = \frac{1}{2} \left\{ \vec{q} + \frac{2}{\mu} \left[\frac{\mu}{1-\mu} - \frac{\sqrt{\mu}}{1-\mu} \right] (\vec{p} - \vec{q}) \right\} \quad (39)$$

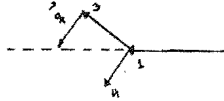
Los momentos de las partículas 1 y 4 son:

$$\vec{p}_1^B = (p_{11}, 0, p_{11}) \quad \text{y} \quad \vec{p}_4^B = (p_{41}, 0, -\tilde{p}_{41})$$

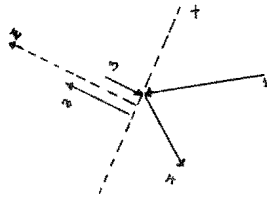
$$\text{con: } p_{11} = \frac{1}{\sqrt{\mu}} \left[p_{11}^2 + p_{11}^2 (1-\mu) \right] \frac{1}{2}$$

$$\text{y} \quad q = \frac{1}{1+\sqrt{\mu}} \left\{ p_{11} + \frac{1}{\sqrt{\mu}} \left[p_{11}^2 + p_{11}^2 (1-\mu) \right] \frac{1}{2} \right\}$$

Nuestro sistema de pared de ladrillo del parámetro de impacto queda definido con un plano perpendicular a $(\vec{P} - \vec{q})$ y paralelo a \vec{q} .



La colisión $1 + 2 = 3 + 4$ en el sistema de Laboratorio



La colisión $1 + 2 = 3 + 4$ en el sistema del parámetro de impacto.

I.13 - Planteamiento del problema.

El problema que nos proponemos resolver es: dada la amplitud de dispersión, hacer un análisis de Fourier de ella sobre el grupo de Galileo considerando las diferentes cadenas de subgrupos posibles.

El procedimiento a seguir consistirá en obtener eigenfunciones simultáneas de los operadores invariantes del grupo y aprovechar las relaciones de cerradura y ortogonalidad de la base así obtenida para representar la amplitud de dispersión.

CAPITULO II

Las propiedades de muchos sistemas son invariantes bajo transformaciones de Galileo. Nosotros queremos discutir cuales son las consecuencias de que el operador de dispersión sea invariante bajo transformaciones de Galileo, introduciremos en consecuencia el grupo de Galileo.

El grupo de Galileo esta definido por las siguientes operaciones dadas en la tabla siguiente:

Operaciones del grupo	Generadores infinitesimales	Estructura
(1) Generador de rotaciones alrededor del eje	$L_i = -i \epsilon_{ijk} x_k \frac{\partial}{\partial x_j}$	$L_x = -i \left(y \frac{\partial}{\partial z} - z \frac{\partial}{\partial y} \right)$ $L_y = -i \left(z \frac{\partial}{\partial x} - x \frac{\partial}{\partial z} \right)$ $L_z = -i \left(x \frac{\partial}{\partial y} - y \frac{\partial}{\partial x} \right)$
(2) Generadores de translaciones en las tres direcciones espaciales	$P_i = -i \frac{\partial}{\partial x_i}$	$P_x = -i \frac{\partial}{\partial x}$ $P_y = -i \frac{\partial}{\partial y}$ $P_z = -i \frac{\partial}{\partial z}$
(3) Desplazamiento del origen del tiempo	$T = \frac{\partial}{\partial t}$	$T = \frac{\partial}{\partial t}$
(4) Generador de incrementos de velocidades en las tres direcciones espaciales (boosts)	$V_i = -i t \frac{\partial}{\partial x_i}$	$V_x = -i t \frac{\partial}{\partial x}$ $V_y = -i t \frac{\partial}{\partial y}$ $V_z = -i t \frac{\partial}{\partial z}$

Las reglas de conmutación de los generadores son:

$$\begin{aligned}
 [L_i, L_k] &= \epsilon_{ikl} L_l & [P_i, V_k] &= 0 \\
 [L_i, P_k] &= \epsilon_{ikl} P_l & [T, V_k] &= P_k \\
 [L_i, T] &= 0 & [V_i, V_k] &= 0 \\
 [L_i, V_k] &= \epsilon_{ikl} V_l & [P_i, P_k] &= 0 \\
 [P_i, T] &= 0
 \end{aligned}$$

Ya que la matriz S es independiente del tiempo y además es invariante bajo translaciones en el tiempo nosotros restringiremos al subgrupo del grupo de Galileo que tiene por generadores P_i y L_i y este grupo es llamado el grupo de Euclides en tres dimensiones.

II.1 - El grupo de Euclides E(3).

Es el grupo de transformaciones que conservan la distancia de un espacio Euclidiano tridimensional y es un producto semi-directo del grupo de rotaciones $O(3)$ y translaciones $T(3)$.

Como ya vimos los generadores de este grupo cumplen las siguientes reglas de conmutación

$$\begin{aligned}
 [L_i, L_k] &= \epsilon_{ikl} L_l \\
 [L_i, P_k] &= \epsilon_{ikl} P_l \\
 [P_i, P_k] &= 0
 \end{aligned}$$

Los dos operadores de casimir de $E(3)$ son:

$$\vec{p}^2 \quad \text{y} \quad \vec{p} \cdot \vec{L}$$

En mecánica cuántica \vec{p}^2 es el operador de energía cinética y $\vec{p} \cdot \vec{L}$ se llama helicidad.

II.2 - Subgrupos del Grupo de Euclides.

Nosotros estamos interesados en desarrollos de las amplitudes de dispersión en términos de funciones bases de las representaciones irreducibles de $E(3)$. Debido a que diferentes tipos de bases corresponden a cadenas de subgrupos no equivalentes, necesitamos clasificar todos los subgrupos continuos de $E(3)$ en clases equivalentes.

II.3 - Clasificación de las subalgebras de $E(3)$.

Dos subalgebras A_1 y A_2 del algebra A del grupo G se consideran equivalentes si para cada $a_1 \in A_1$ existe $g \in G$ y $a_2 \in A_2$ tal que $g a_1 g^{-1} = a_2$, por ejemplo, si existe un automorfismo, que transforma A_1 en A_2 .

Consideremos un elemento general del algebra de $E(3)$:

$$C = a_i L_i + b_i P_i$$

Consideremos el siguiente automorfismo:

$$P_i = -i \frac{\partial}{\partial x_i} \quad L_i = -i \epsilon_{ijk} x_k \frac{\partial}{\partial x_j}$$

Veamos como se transforma C bajo un cambio de coordenadas que se obtenga de una rotación y una translación:

$$x'_i = \alpha_{ik} x_k + \beta_i \quad (40)$$

con $\alpha_{ik} \alpha_{il} = \delta_{kl}$ (suma sobre índices repetidos se entiende)
de la ec. (48) se puede obtener fácilmente que:

$$x_l = \alpha_{ik} x'_i - \alpha_{lk} \beta_i \quad (41)$$

y también

$$\frac{\partial}{\partial x_l} = \alpha_{ml} \frac{\partial}{\partial x'_m} \quad (42)$$

De las ecuaciones (41) y (42) podemos ver que:

$$\begin{aligned} \left[\frac{\partial}{\partial x_l} = -i \epsilon_{lmn} [\alpha_{ik} x'_i - \alpha_{lk} \beta_i] \alpha_{ml} \frac{\partial}{\partial x'_m} = [-i \epsilon_{lmn} \alpha_{ik} x'_i \alpha_{ml} + i \epsilon_{lmn} \alpha_{lk} \beta_i \alpha_{ml}] \right. \\ \left. \times \frac{\partial}{\partial x'_m} \right] \quad (43) \end{aligned}$$

y de la ecuación (42)

$$p_i = -i \alpha_{mi} \frac{\partial}{\partial x'_m} \quad (44)$$

de (43):

$$a'_i l'_i = [-i \epsilon_{lmn} \alpha'_l \alpha_{ik} x'_i \alpha_{ml} + i \epsilon_{lmn} \alpha'_l \alpha_{lk} \beta_i \alpha_{ml}] \frac{\partial}{\partial x'_m} \quad (45)$$

analogamente:

$$b'_i p'_i = -i b'_i \frac{\partial}{\partial x'_i} \quad (46)$$

de (45) y (46)

$$c'_i = \alpha_{ml} a'_i l'_i + (a'_i \epsilon_{lmn} \alpha_{ml} \beta_i + b'_i \alpha_{lk}) p'_i \quad (47)$$

la cual se puede escribir como:

$$C' = (\vec{a} \cdot \vec{R}) \cdot \vec{L} + [(\vec{a} \times \vec{b}) \cdot \vec{R} + b \vec{R}] \cdot \vec{P} \quad (48)$$

vamos a demostrar que si escogemos la rotación y la translación de la siguiente manera:

$$\vec{R} = \begin{pmatrix} r_1 & 0 & 0 \\ 0 & r_2 & 0 \\ 0 & 0 & r_3 \end{pmatrix} \quad \text{y} \quad \vec{B} = \frac{\vec{a} \times \vec{b}}{a^2} \quad \text{con} \quad \vec{a} = (a_1, 0, 0)$$

las algebras de un parámetro determinadas por $C = a_i L_i + b_i P_i$ son equivalentes a una algebra generada por $C'(\alpha) = \omega \alpha L_1 + \mu \alpha P_1$,

Prueba

Efectuemos el producto $\vec{a} \cdot \vec{R} \cdot \vec{L}$

$$a \vec{R} \cdot \vec{L} = (a_1, 0, 0) \begin{pmatrix} r_1 & 0 & 0 \\ 0 & r_2 & 0 \\ 0 & 0 & r_3 \end{pmatrix} \begin{pmatrix} L_1 \\ L_2 \\ L_3 \end{pmatrix} = (a_1, 0, 0) \begin{pmatrix} r_1 L_1 & 0 & 0 \\ 0 & r_2 L_2 & 0 \\ 0 & 0 & r_3 L_3 \end{pmatrix} = a_1 r_1 L_1$$

$$\therefore \vec{a} \cdot \vec{R} \cdot \vec{L} = a_1 r_1 L_1 \quad (49)$$

por definición:

$$b' = \vec{a} \times \vec{b} + \vec{b} = \vec{a} \times \frac{\vec{a} \times \vec{b}}{a^2} + \vec{b} \quad \text{donde hemos usado que } \beta = \frac{\vec{a} \times \vec{b}}{a^2}$$

el triple producto vectorial de 3 vectores es:

$$\vec{A} \times (\vec{B} \times \vec{C}) = \vec{B} (\vec{A} \cdot \vec{C}) - \vec{C} (\vec{A} \cdot \vec{B})$$

de modo que:

$$\vec{a} \times \vec{a} \times \vec{b} = \vec{a} (\vec{a} \cdot \vec{b}) - \vec{b} (\vec{a} \cdot \vec{a})$$

b' se puede escribir entonces como:

$$b' = \frac{\vec{a} (\vec{a} \cdot \vec{b})}{a^2} - \frac{\vec{b} a^2}{a^2} + \vec{b}$$

de donde:

$$b' = \frac{\vec{a}(\vec{a} \cdot \vec{b})}{a^2} \quad (50)$$

Esta ecuación nos dice que b' y \vec{a} son paralelos de tal modo que:

$$C' = a_1 r_1 L_1 + \frac{\vec{a} \cdot \vec{b}}{a^2} a_1 r_1 P_1$$

Si dividimos por $a_1 r_1 \sqrt{1 + \left(\frac{\vec{a} \cdot \vec{b}}{a^2}\right)^2}$ C' queda:

$$C' = \frac{1}{\sqrt{1 + \frac{(\vec{a} \cdot \vec{b})^2}{a^4}}} L_1 + \frac{\frac{\vec{a} \cdot \vec{b}}{a^2}}{\sqrt{1 + \frac{(\vec{a} \cdot \vec{b})^2}{a^4}}} P_1$$

ahora definamos:

$$\cos \alpha = \frac{a^2}{\sqrt{a^4 + (\vec{a} \cdot \vec{b})^2}} \quad \text{y} \quad \text{sen } \alpha = \frac{\vec{a} \cdot \vec{b}}{\sqrt{a^4 + (\vec{a} \cdot \vec{b})^2}}$$

Entonces C' queda como:

$$C' = \cos \alpha L_1 + \text{sen } \alpha P_1$$

La clasificación de subálgebras de dos parámetros, tres parámetros etc. es ahora fácil y procederemos de las que se caracterizan por un número menor a las que se caracterizan por un número mayor de parámetros.

Denotaremos una subálgebra por \mathcal{L} y su álgebra derivada por \mathcal{L}' (álgebra de conmutadores), y ordenaremos las álgebras de acuerdo a la dimensión de \mathcal{L} y \mathcal{L}'

1er. caso $\dim \mathcal{L} = 2$ $\dim \mathcal{L}' = 0$ $[A, B] = 0$

Tomando A en la forma $A(\alpha) = \cos \alpha L_1 + \text{sen } \alpha P_1$ dejando B general y pidiendo que A y B conmuten

$$[\cos \alpha L_1 + \text{sen } \alpha P_1, B] \Rightarrow \cos \alpha [L_1, B] + \text{sen } \alpha [P_1, B] = 0$$

Analicemos el caso:

$[P_1, B] = 0$ conocemos que $[P_i, P_k] = 0$ entonces B puede ser P_2 ó P_3

Analicemos ahora el caso:

$[L_i, B] = 0$ conocemos que $[L_i, P_k] = \lambda \epsilon_{ikl} P_l$
de donde $[L_i, P_2] = \lambda P_3$; $[L_i, P_3] = -\lambda P_2$ y $[L_1, P_1] = 0$

Entonces las subálgebras no-equivalentes que satisfacen nuestra condición son:

$$\{P_1, P_2\} \quad \text{y} \quad \{P_1, L_i\}$$

2do. caso $\dim \mathcal{L} = 2$ $\dim \mathcal{L}' = 1$ $[A, B] = \lambda A$

Escogiendo de nuevo $A(\alpha) = \cos \alpha L_1 + \sin \alpha P_1$

$[A, B] = \lambda \cos \alpha L_1 + \lambda \sin \alpha P_1$ inmediatamente vemos que esta condición no puede satisfacerse por ninguna B. Ninguna otra álgebra de dos dimensiones existe.

3er. caso $\dim \mathcal{L} = 3$ $\dim \mathcal{L}' = 0$ $[A, B] = [B, C] = [C, A] = 0$

podemos identificar $\{A, B\}$ con una de las álgebras del caso (1) y agregar una C general, que conmute con A y B tenemos dos subcasos:

a) $A = P_1$, $B = P_2$ como $[A, B] = [B, C] = [C, A] \Rightarrow C = P_3$

b) $A = P_1$, $B = L_1$ $C = P_2$ ó $C = P_3$ pero es este caso

$[L_1, P_2] = \lambda P_3$ y $[L_1, P_3] = -\lambda P_2$ entonces C en este

caso no cumple la condición exigida.

Analogamente $[P_1, C]$ con $C = L_2$ o $C = L_3$ tampoco satisface la condición $[A, B] = [B, C] = [C, A] = 0$

Entonces la única subálgebra que existe es de la forma:

$$\{P_1, P_2, P_3\}$$

4° caso $\dim \mathcal{L} = 3$ $\dim \mathcal{L}' = 1$

tal álgebra contiene un álgebra del tipo 2 y es rechazada.

5° caso $\dim \mathcal{L} = 3$ $\dim \mathcal{L}' = 2$

identificando \mathcal{L}' con $\{A, B\}$ entonces A y B conmutan.

En general, podemos escribir $[A, B] = 0$ $[B, C] = \lambda A$

$$[A, C] = \lambda (bA + dB)$$

donde a, b, d son reales. Si tomamos $\{A, B\} = \{P_1, L_4\}$ entonces

no existe ninguna C que satisfaga $[L_1, C] = \lambda a P_1$. Es-

cojiendo $A = P_1$, $B = P_2$ entonces $[P_2, C] = \lambda a P_1$ de

donde conseguimos que $C = L_3 + b P_3$

El álgebra en este caso es del tipo:

$$\{P_1, P_2, L_3 + b P_3\}$$

6° caso $\dim \mathcal{L} = 3$ $\dim \mathcal{L}' = 3$

solamente dos álgebras existen en este caso la $O(3)$ y la de

$O(2,1)$. El álgebra de $O(2,1)$ contiene una subálgebra del tipo

$[A, B] = \lambda A$ y es desechada, el álgebra del grupo de ro-

taciones es del tipo:

$$\{L_1, L_2, L_3\}$$

7° caso $\dim \mathcal{L} = 4$ $\dim \mathcal{L}' = 2$

Poniendo $A = P_1$, $B = P_2$, $C = L_3 + b P_3$ y dejando

D general pidiendo que conmute con todos los otros generadores

tenemos:

$$[A, B] = 0 \quad [C, D] = 0 \quad [A, C] = i(bA + dB)$$

La única que satisface estas condiciones es $D = P_3$ y de

$$[P_1, L_3 + b P_3] = [P_1, L_3] = -i P_2 \quad \text{con } d=1 \quad \text{y } b=0$$

de modo que la única algebra que conseguimos es:

$$\{ P_1, P_2, P_3, L_3 \}$$

8° caso El grupo $E(3)$ no contiene subalgebra de cinco parámetros. En verdad, una subalgebra de cinco parámetros se obtendría dejando fuera uno de los elementos del algebra de $E(3)$. Las subalgebra contienen L_2, L_3, P_2 y P_3 sin embargo $[L_2, L_3] = iL_1$ y $[L_2, P_3] = L_1$ entonces la subalgebra contiene a L_1 y P_1 . Esto es una contradicción por lo tanto ninguna algebra de cinco parámetros existe 5).

A continuación daremos una lista de todos los subgrupos continuos de $E(3)$ junto con algunas de sus propiedades.

TABLA I. SUBGRUPOS CONTINUOS DEL GRUPO E(3)

N°	Dimensión	Generadores y algebra	Invariantes del algebra	Caracterización del grupo
1	1	$A(\alpha) = L_1 \cos \alpha + P_1 \sin \alpha$ $0 \leq \alpha < \pi$	$A(\alpha)$	Compacto para $\alpha = 0$ (rotación en el plano) no-compacto para $\alpha \neq 0$; translaciones a lo largo de un eje para $\alpha = \frac{\pi}{2}$
2	2	$L_1, P_1; [L_1, P_1] = 0$	L_1, P_1	No-compacto, Abeliano. Translaciones sobre un cilindro.
3	2	$P_1, P_2; [P_1, P_2] = 0$	P_1, P_2	No-compacto, Abeliano. Translaciones sobre un plano Euclidiano
4	3	L_1, L_2, L_3 $[L_i, L_k] = \epsilon_{ikl} L_l$	$L_1^2 + L_2^2 + L_3^2$	Compacto, simple: El grupo de rotaciones
5	3	$P_1, P_2, L_3 + bP_3 = M$ $0 \leq b < \infty$ $[P_1, P_2] = 0$ $[M, P_1] = i P_2$ $[P_2, M] = i P_1$	$P_1^2 + P_2^2$	No-compacto: El grupo de Euclides E(2).
6	3	P_1, P_2, P_3 $[P_i, P_k] = 0$	P_1, P_2, P_3	No-compacto, Abeliano: El grupo de translaciones $T_1 \times T_2 \times T_3$ del espacio Euclidiano
7	4	P_1, P_2, L_3, P_3 $[P_i, P_k] = 0$ $[P_3, L_3] = 0$ $[L_3, P_1] = a P_2$ $[P_2, L_3] = a P_1$	$P_1^2 + P_2^2$ y P_3	No-compacto: El grupo E(2) x T ₁ , donde T ₁ son translaciones perpendiculares al plano E(2).

II.4 - Funciones bases para partículas de Spin cero.

A continuación consideraremos representaciones irreducibles de $E(3)$ para las cuales el operador invariante $\vec{p} \cdot \vec{J}$ sea nulo, en otras palabras cuando consideramos que $\vec{p} \cdot \vec{J} = 0$ es equivalente a afirmar que las partículas que estamos estudiando no tienen Spin.

II.5 - Estados de una partícula.

Los estados de una partícula sin Spin están definidas por las funciones de onda de cuadrado sumable, es decir, las funciones

$$\text{que satisfacen:} \\ \int d^3x |\psi(\vec{x})|^2 < \infty$$

Es claro que además nuestras funciones de onda deben ser solución de la ecuación de Schrödinger.

II.6 - Estados de dos partículas.

Los estados de dos partículas sin Spin están representados por funciones de onda $\psi(\vec{x}_1, t_1, \vec{x}_2, t_2)$

Un caso especial de tal función es un producto de la forma $\psi(\vec{x}_1, t_1, \vec{x}_2, t_2) = \phi(\vec{x}_1, t_1) \chi(\vec{x}_2, t_2)$ cuyos vectores de estados correspondientes los denotaremos por $|\psi\rangle = |\phi\rangle \otimes |\chi\rangle$ donde $|\psi\rangle$ es un vector en el espacio de Hilbert de las dos partículas \mathcal{H} , en el cual $|\phi\rangle$ pertenece al espacio de Hilbert \mathcal{H}_1 , de la primera partícula y $|\chi\rangle$ esta en el correspondiente \mathcal{H}_2 de la segunda partícula.

II.4-1 - La Base Esférica E(3) \supset O(3) \supset O(2).

Las funciones bases son eigenfunciones de \vec{P}^2 , L^2 y L_3

Vamos a demostrar a continuación que: $[\vec{P}, P^2] = 0$

Prueba: $[\vec{P}, P^2] = [\vec{P}, P_x^2] + [\vec{P}, P_y^2] + [\vec{P}, P_z^2]$

El conmutador de $[\vec{P}, P_x^2] = [P_x, P_x^2] + [P_y, P_x^2] + [P_z, P_x^2]$

pero $[P_i, P_k] = 0$ de tal modo que $[\vec{P}, P_x^2] = 0$

Analogamente es fácil demostrar que:

$[\vec{P}, P_y^2] = 0$ y $[\vec{P}, P_z^2] = 0$ de donde concluimos que:

$$[\vec{P}, P^2] = 0$$

Es necesario demostrar también que: $[L_3, L^2] = 0$

donde $L^2 = L_x^2 + L_y^2 + L_z^2$ de tal modo que:

$$[L_3, L_x^2 + L_y^2 + L_z^2] = [L_3, L_x^2] + [L_3, L_y^2] + [L_3, L_z^2]$$

vamos a aplicar la siguiente propiedad de los conmutadores

$$[A, BC] = [A, B]C + B[A, C]$$

entonces

$$\begin{aligned} [L_3, L_x^2] + [L_3, L_y^2] + [L_3, L_z^2] &= [L_3, L_x] \cdot L_x + L_x \cdot [L_3, L_x] \\ &+ [L_3, L_y] \cdot L_y + L_y \cdot [L_3, L_y] + [L_3, L_z] \cdot L_z + L_z \cdot [L_3, L_z] \end{aligned}$$

Tomando en cuenta el hecho que: $[L_i, L_k] = i \epsilon_{ikl} L_l$ la

relación anterior nos queda:

$$\begin{aligned} [L_3, L^2] &= i L_y L_x + i L_x L_y - i L_x L_y - i L_y L_x = i [L_y, L_x] + i [L_x, L_y] \\ &= -i^2 L_z + i^2 L_z \end{aligned}$$

$$\therefore [L_3, L^2] = 0$$

Similarmente es fácil demostrar que:

$$[L_z, p^2] = 0 \quad , \quad [L^2, p^2] = 0 \quad \text{usando el hecho que:}$$

$$[A, B^n] = \sum_{s=0}^{n-1} B^s [A, B] B^{n-s-1}$$

Finalmente nos queda por demostrar que:

$$[L^2, p^2] = 0$$

Prueba: $[L^2, p^2] = [L^2, p^2] \cdot \vec{L} + \vec{L} \cdot [L^2, p^2]$

como $[L^2, p^2] = 0$

$$\text{entonces: } [L^2, p^2] = 0$$

Como es conocido operadores que conmutan entre si tienen eigenfunciones simultáneas; entonces p^2 , L^2 y L_z tienen eigenfunciones simultáneas.

Escribiendo p^2 , L^2 y L_z como operadores diferenciales en coordenadas esféricas:

$$\nabla^2 = \frac{1}{r^2} \frac{\partial}{\partial r} \left(r^2 \frac{\partial}{\partial r} \right) + \frac{1}{r^2} \left[\frac{1}{\rho \sin \theta} \frac{\partial}{\partial \theta} \left(\rho \sin \theta \frac{\partial}{\partial \theta} \right) + \frac{1}{\rho \sin^2 \theta} \frac{\partial^2}{\partial \varphi^2} \right] \quad (51)$$

$$L^2 = - \left[\frac{1}{\rho \sin \theta} \frac{\partial}{\partial \theta} \left(\rho \sin \theta \frac{\partial}{\partial \theta} \right) + \frac{1}{\rho \sin^2 \theta} \frac{\partial^2}{\partial \varphi^2} \right] \quad (52)$$

$$L_z = -i \frac{\partial}{\partial \varphi} \quad (53)$$

Propongamos que nuestra solución sea de la forma

$$\Psi_{k\ell m}(r, \theta, \varphi) = R_k(r) Y_m^\ell(\theta, \varphi)$$

A continuación obtendremos entonces nuestras eigenfunciones simultáneas

$$L^2 \Psi_{k\ell m}(r, \theta, \varphi) = - \left[\frac{1}{\rho \sin \theta} \frac{\partial}{\partial \theta} \left(\rho \sin \theta \frac{\partial}{\partial \theta} \right) + \frac{1}{\rho \sin^2 \theta} \frac{\partial^2}{\partial \varphi^2} \right] R_k(r) Y_m^\ell(\theta, \varphi)$$

Como $R_k(r)$ es independiente de θ y φ entonces:

$$L^2 Y_m^l(\theta, \varphi) = - \left[\frac{1}{\rho \sin \theta} \frac{\partial}{\partial \theta} \left(\rho \sin \theta \frac{\partial}{\partial \theta} \right) + \frac{1}{\rho \sin^2 \theta} \frac{\partial^2}{\partial \varphi^2} \right] Y_m^l(\theta, \varphi) = C Y_m^l(\theta, \varphi)$$

de nuevo $Y_m^l(\theta, \varphi)$ puede separarse por medio de la sustitución:

$$Y_m^l(\theta, \varphi) = P(\theta) \Phi(\varphi)$$

$$\begin{aligned} L^2 Y_m^l(\theta, \varphi) &= - \left[\frac{1}{\rho \sin \theta} \frac{\partial}{\partial \theta} \left(\rho \sin \theta \frac{\partial}{\partial \theta} \right) + \frac{1}{\rho \sin^2 \theta} \frac{\partial^2}{\partial \varphi^2} \right] P(\theta) \Phi(\varphi) \\ &= - \left[\frac{\Phi(\varphi)}{\rho \sin \theta} \frac{d}{d\theta} \left(\rho \sin \theta \frac{dP(\theta)}{d\theta} \right) + \frac{P(\theta)}{\rho \sin^2 \theta} \frac{d^2 \Phi(\varphi)}{d\varphi^2} \right] = C P(\theta) \Phi(\varphi) \end{aligned}$$

la cual se puede separar entonces en:

$$\frac{1}{P(\theta)} \left[\rho \sin \theta \frac{d}{d\theta} \left(\rho \sin \theta \frac{dP(\theta)}{d\theta} \right) \right] + C \rho \sin^2 \theta = - \frac{1}{\Phi(\varphi)} \frac{d^2 \Phi(\varphi)}{d\varphi^2} = m^2$$

en la cual la constante de separación se escribió como m^2

inmediatamente conseguimos que: $\frac{d^2 \Phi(\varphi)}{d\varphi^2} + m^2 \Phi(\varphi) = 0$

la cual tiene la solución $\Phi(\varphi) = A e^{\pm i m \varphi}$ si exigimos que

$$\Phi(\varphi + 2\pi) = \Phi(\varphi) \quad \text{entonces}$$

$$A e^{\pm i m (\varphi + 2\pi)} = A e^{\pm i m \varphi} \quad \Rightarrow \quad m = 0, \pm 1, \pm 2, \dots$$

$\Phi(\varphi) = A e^{i m \varphi}$ vamos a calcular ahora el valor de la constante

de normalización:

$$|A|^2 \int_0^{2\pi} e^{i(m-m')\varphi} d\varphi = 1 \quad \therefore \quad |A|^2 2\pi = 1 \quad \Rightarrow \quad A = \frac{1}{\sqrt{2\pi}}$$

Nuestra solución queda ahora entonces como:

$$\Phi(\varphi) = \frac{1}{\sqrt{2\pi}} e^{i m \varphi}$$

Resolvamos a continuación

$$\frac{1}{P(\theta)} \left[\rho \sin \theta \frac{d}{d\theta} \left(\rho \sin \theta \frac{dP(\theta)}{d\theta} \right) \right] + C \rho \sin^2 \theta = m^2$$

si hacemos la sustitución $\mu = \cos \theta$ entonces la ecuación anterior nos queda

$$\frac{d}{d\mu} \left[(1-\mu^2) \frac{dP(\mu)}{d\mu} \right] + \left(C - \frac{\mu^2}{1-\mu^2} \right) P(\mu) = 0$$

la cual define las funciones asociadas de Legendre, las soluciones regulares de esta ecuación existen si y sólo si la constante $C = \ell(\ell+1)$ donde ℓ es un entero no-negativo⁷⁾.

Finalmente aplicaremos P^2 a nuestra función

$$- \left\{ \frac{1}{r^2} \frac{\partial}{\partial r} \left(r^2 \frac{\partial}{\partial r} \right) + \frac{1}{r^2} \left[\frac{1}{\sin^2 \theta} \frac{\partial}{\partial \theta} \left(\sin^2 \theta \frac{\partial}{\partial \theta} \right) + \frac{1}{\sin^2 \theta} \frac{\partial^2}{\partial \varphi^2} \right] \right\} R_K(r) Y_m^\ell(\theta, \varphi) = K^2 R_K(r) Y_m^\ell(\theta, \varphi)$$

la cual se puede escribir como:

$$- \frac{Y_m^\ell(\theta, \varphi)}{r^2} \frac{d}{dr} \left(r^2 \frac{dR_K(r)}{dr} \right) + \frac{R_K(r)}{r^2} \left[\ell(\ell+1) \right] Y_m^\ell(\theta, \varphi) = K^2 R_K(r) Y_m^\ell(\theta, \varphi)$$

dividiendo por $Y_m^\ell(\theta, \varphi)$ se tiene:

$$\left[\frac{1}{r^2} \frac{d}{dr} \left(r^2 \frac{dR_K(r)}{dr} \right) + \left\{ K^2 - \frac{\ell(\ell+1)}{r^2} \right\} R_K(r) \right] = 0$$

La cual se puede escribir también como:

$$\frac{d^2 R_K(r)}{dr^2} + \frac{2}{r} \frac{dR_K(r)}{dr} + \left[K^2 - \frac{\ell(\ell+1)}{r^2} \right] R_K(r) = 0$$

haciendo el cambio de variable $\rho = Kr$ esta ecuación diferencial se transforma en:

$$\frac{d^2 R_K(\rho)}{d\rho^2} + \frac{2}{\rho} \frac{dR_K(\rho)}{d\rho} + \left(1 - \frac{\ell(\ell+1)}{\rho^2} \right) R_K(\rho) = 0$$

Esta es la ecuación diferencial de Ricatti-Bessel.

Si $\rho = Kr$ entonces $P(Ric-Bes) = \rho F(Bes-Bes)$

Las funciones esféricas de Bessel son soluciones particulares de esta ecuación y las denotaremos por $\{j_\ell(Kr)\}$

ya que:
$$Y_m^l(\theta, \varphi) = (-1)^m \sqrt{\frac{(2l+1)}{4\pi} \frac{(l-m)!}{(l+m)!}} e^{im\varphi} P_m^l(\cos\theta)$$

entonces las soluciones regulares de nuestro problema son:

$$\Psi_{kml}(r, \theta, \varphi) = f_l(kr) Y_m^l(\theta, \varphi)$$

Demostraremos a continuación que los armónicos esféricos

$Y_{lm}(\theta, \varphi)$ y $Y_{l'm}(\theta, \varphi)$ de grados l y l' son ortogonales. La prueba esta basada en el hecho que el correspondiente polinomio armónico:

$$\Psi_l = r^l Y_{lm}(\theta, \varphi) \quad \text{y} \quad \Psi_{l'} = r^{l'} Y_{l'm}(\theta, \varphi)$$

satisfacen la ecuación de Laplace; entonces

$$\Psi_{l'}^* \nabla^2 \Psi_l - \Psi_l \nabla^2 \Psi_{l'}^* = 0$$

vamos a aplicar el teorema de Green al volumen encerrado por una esfera unidad.

El teorema de Green establece que:

$$\int_V (\phi \nabla^2 \psi - \psi \nabla^2 \phi) d^3x = \oint_S \left[\phi \frac{\partial \psi}{\partial n} - \psi \frac{\partial \phi}{\partial n} \right] da$$

donde ϕ y ψ son funciones escalares arbitrarias y $\frac{\partial}{\partial n}$ es la derivada normal a la superficie S entonces

$$\int_0^1 \int_{\Omega} [\Psi_{l'}^* \nabla^2 \Psi_l - \Psi_l \nabla^2 \Psi_{l'}^*] = \int_{\Omega} \left[\Psi_{l'}^* \frac{\partial \Psi_l}{\partial r} - \Psi_l \frac{\partial \Psi_{l'}^*}{\partial r} \right]_{r=1} d\Omega$$

donde
$$\frac{\Psi_l}{\partial r} = l r^{l-1} Y_{lm}(\theta, \varphi) \quad \text{y} \quad \frac{\Psi_{l'}}{\partial r} = l' r^{l'-1} Y_{l'm}(\theta, \varphi)$$

$$\therefore \int_{\Omega} \left[\Psi_{l'}^* \frac{\partial \Psi_l}{\partial r} - \Psi_l \frac{\partial \Psi_{l'}^*}{\partial r} \right]_{r=1} d\Omega = \int_{\Omega} \left[r^{l'} Y_{l'm}^*(\theta, \varphi) l r^{l-1} Y_{lm}(\theta, \varphi) \right.$$

$$\left. - r^l Y_{lm}(\theta, \varphi) l' r^{l'-1} Y_{l'm}^*(\theta, \varphi) \right]_{r=1} d\Omega = 0$$

de donde

$$(l-l') \int_{\Omega} Y_{l'm}^*(\theta, \varphi) Y_{l'm}(\theta, \varphi) d\Omega = 0$$

la cual es equivalente a:

$$\int_{\Omega} Y_{l'm}^*(\theta, \varphi) Y_{l'm}(\theta, \varphi) d\Omega = \delta_{ll'}$$

vamos a demostrar a continuación que además

$$\int_{\Omega} Y_{l'm'}^*(\theta, \varphi) Y_{l'm}(\theta, \varphi) d\Omega = \delta_{mm'}$$

Para ello recordaremos que un armónico esférico puede escribirse como:

$$Y_{l'm}(\theta, \varphi) = A_l^m e^{im\varphi} P_l^m(\cos\theta) \quad \text{de donde} \quad Y_{l'm}^*(\theta, \varphi) = A_{l'}^{m'} e^{-im'\varphi} P_{l'}^{m'}(\cos\theta)$$

nos basta entonces con calcular:

$$\int_0^{2\pi} d\varphi e^{i(m-m')\varphi} = 2\pi \delta_{mm'}$$

$$\therefore \int_{\Omega} Y_{l'm'}^*(\theta, \varphi) Y_{l'm}(\theta, \varphi) d\Omega = \delta_{mm'} \delta_{ll'}$$

O sea que los armónicos esféricos $Y_{l'm}(\theta, \varphi)$ son un conjunto ortonormal completo de funciones definidas sobre la superficie de una esfera de radio unidad.

Vamos a demostrar que $\{j_L(kr)\}$ forman un conjunto ortonormal completo de funciones definidas en el intervalo

$$0 \leq r < \infty$$

Para ello usaremos la integral indefinida:

8

$$\int x^2 dx Z_L(\alpha x) \bar{Z}_L(\beta x) = \frac{x^2}{\alpha^2 - \beta^2} \left\{ \beta Z_L(\alpha x) \tilde{Z}_{L-1}(\beta x) - \alpha Z_{L-1}(\alpha x) \tilde{Z}_L(\beta x) \right\}$$

la cual es válida para cualquier solución Z_L y \tilde{Z}_L de

$$\left(\frac{1}{\rho^2} \frac{d}{d\rho} \rho^2 \frac{d}{d\rho} + 1 - \frac{L(L+1)}{\rho^2} \right) R_k(\rho)$$

En particular para la solución asintótica:

$$f_L(\rho) \xrightarrow{\rho \rightarrow \infty} \frac{1}{\rho} \sin\left(\rho - \frac{\pi L}{2}\right) + \mathcal{O}\left(\frac{1}{\rho^2}\right)$$

Calculemos entonces:

$$\int_0^k f_L(kr) f_L(kr') k^2 dk$$

donde $k=x$ $\alpha=r$ $\beta=r'$ $Z_L(\alpha x) = f_L(kr)$ y $\tilde{Z}_L(\beta x) = f_L(kr')$

$$\therefore \int_0^k f_L(kr) f_L(kr') k^2 dk = \frac{k^2}{r^2 - r'^2} \left\{ r' f_L(kr) f_{L-1}(kr') - r f_L(kr') f_L(kr) \right\}$$

$$\text{pero } f_L(\rho) \xrightarrow{\rho \rightarrow \infty} \frac{1}{\rho} \sin\left(\rho - \frac{\pi L}{2}\right) + \mathcal{O}\left(\frac{1}{\rho^2}\right) \text{ con } \rho = kr$$

$$\text{y } f_{L-1}(\rho) \xrightarrow{\rho \rightarrow \infty} \frac{1}{\rho} \sin\left(\rho - \frac{\pi(L-1)}{2}\right) + \mathcal{O}\left(\frac{1}{\rho^2}\right)$$

nuestra integral se ve ahora como:

$$\int_0^k f_L(kr) f_L(kr') k^2 dk = \frac{k^2}{r^2 - r'^2} \left\{ r' \frac{1}{kr} \sin\left(kr - \frac{\pi L}{2}\right) \frac{1}{kr'} \sin\left(kr' - \frac{\pi(L-1)}{2}\right) - r \frac{1}{kr} \sin\left(kr - \frac{\pi(L-1)}{2}\right) \frac{1}{kr'} \sin\left(kr' - \frac{\pi L}{2}\right) \right\}$$

la cual se puede transformar a la siguiente forma

$$\int_0^k f_L(kr) f_L(kr') k^2 dk = \frac{1}{2rr'} \left[\frac{1}{r-r'} \sin k(r-v') + \frac{1}{r+r'} \sin k(r+v') \right]$$

cuando $k \rightarrow \infty$ el segundo término del segundo miembro siempre oscila porque r y r' son positivos y su contribución es despreciable. La contribución del primer término puede ser evaluada con la ayuda de:

$$\frac{1}{\pi} \lim_{k \rightarrow \infty} \frac{\sin kx}{x} = \delta(x)$$

y por lo tanto:
$$\int_0^{\infty} j_l(kr) j_l(kr') k^2 dk = \frac{\pi}{2r^2} \delta(r-r')$$

obviamente:
$$\int_0^{\infty} j_l(kr) j_l(k'r) r^2 dr = \frac{\pi}{2k^2} \delta(k-k')$$

Nuestras funciones bases satisfacen entonces la relación de ortogonalidad siguiente:

$$\int_0^{\infty} r^2 dr \int_0^{\pi} \rho \sin \theta d\theta \int_0^{2\pi} d\varphi j_l(kr) Y_{lm}(\theta, \varphi) j_{l'}^*(k'r) Y_{l'm'}^*(\theta', \varphi') = \frac{\pi}{2} \frac{\delta(k-k')}{k^2} \delta_{ll'} \delta_{mm'}$$

Relación de Cerradura: Demostraremos que nuestras funciones

bases satisfacen la siguiente relación de cerradura:

$$\sum_{l=0}^{\infty} \sum_{m=-l}^l \int_0^{\infty} k^2 dk j_l(kr) Y_{lm}(\theta, \varphi) j_{l'}^*(k'r) Y_{l'm'}^*(\theta', \varphi') = \frac{\pi}{2} \frac{\delta(r-r')}{r^2} \frac{\delta(\theta-\theta') \delta(\varphi-\varphi')}{\rho \sin \theta}$$

Utilizaremos el hecho que:

$$\int_0^{\infty} k^2 dk \int_0^{\pi} \rho \sin \theta d\theta \int_0^{2\pi} d\varphi e^{i\vec{k} \cdot (\vec{r} - \vec{r}')} = (2\pi)^3 \frac{\delta(r-r') \delta(\theta-\theta') \delta(\varphi-\varphi')}{r^2 \rho \sin \theta} \quad (54)$$

El desarrollo de una onda plana en ondas parciales es

$$e^{i\vec{k} \cdot \vec{r}} = 4\pi \sum_{l=0}^{\infty} \sum_{m=-l}^l i^l j_l(kr) Y_{lm}^*(\theta_k, \varphi_k) Y_{lm}(\theta_r, \varphi_r) \quad (55)$$

Tomando conjugación compleja:

$$e^{-i\vec{k} \cdot \vec{r}'} = 4\pi \sum_{l'=0}^{\infty} \sum_{m'=-l'}^{l'} (-i)^{l'} j_{l'}^*(k'r') Y_{l'm'}^*(\theta_{k'}, \varphi_{k'}) Y_{l'm'}(\theta_{r'}, \varphi_{r'}) \quad (56)$$

Sustituyendo (55) y (56) en (54)

$$(4\pi)^2 \int_0^{\infty} k^2 dk \int_0^{\pi} \rho \sin \theta d\theta \int_0^{2\pi} d\varphi \sum_{l=0}^{\infty} \sum_{m=-l}^l i^l j_l(kr) Y_{lm}^*(\theta_k, \varphi_k) Y_{lm}(\theta_r, \varphi_r) \sum_{l'=0}^{\infty} \sum_{m'=-l'}^{l'} (-i)^{l'} j_{l'}^*(k'r') Y_{l'm'}^*(\theta_{k'}, \varphi_{k'}) Y_{l'm'}(\theta_{r'}, \varphi_{r'}) =$$

$$= (4\pi)^2 \sum_{l=0}^{\infty} \sum_{m=-l}^l \sum_{l'=0}^{\infty} \sum_{m'=-l'}^{l'} \int_0^{\infty} k^2 dk \left[\int_0^{\pi} \rho \sin \theta d\theta \int_0^{2\pi} d\varphi \int_0^{2\pi} d\varphi' Y_l^{m*}(\theta, \varphi) Y_{l'}^{m'}(\theta, \varphi) \right] \\ (l)^l (-l)^{l'} \int_L(k, r) \int_{L'}^*(k, r') Y_l^m(\theta, \varphi) Y_{l'}^{m'*}(\theta', \varphi') \quad (57)$$

ahora:

$$\int_0^{\pi} \rho \sin \theta d\theta \int_0^{2\pi} d\varphi \int_0^{2\pi} d\varphi' Y_l^{m*}(\theta, \varphi) Y_{l'}^{m'}(\theta, \varphi) = \delta_{mm'} \delta_{ll'}$$

entonces la ecuación (57) nos queda

$$= (4\pi)^2 \sum_{l=0}^{\infty} \sum_{m=-l}^l \int_0^{\infty} k^2 dk \int_L(k, r) \int_{L'}^*(k, r') Y_l^m(\theta, \varphi) Y_l^{m*}(\theta', \varphi')$$

de donde:

$$\sum_{l=0}^{\infty} \sum_{m=-l}^l \int_0^{\infty} k^2 dk \int_L(k, r) Y_l^m(\theta, \varphi) \int_{L'}^*(k, r') Y_l^{m*}(\theta', \varphi') = \\ = \frac{\pi}{2} \frac{\delta(r, r')}{r^2} \frac{\delta(\theta - \theta') \delta(\varphi - \varphi')}{\rho \sin \theta}$$

I.4-2 - La base cilíndrica $E(3) \supset E(2) \times T_1 \supset O(2) \times T_1$:

En este sistema de referencia las funciones bases son eigenfunciones de los operadores \vec{P}^2 , \vec{P}_3 y \vec{L}_3 también de $(\vec{P}_1^2 + \vec{P}_2^2)$

Nos conviene introducir coordenadas cilíndricas:

$$\begin{aligned} x &= \rho \cos \varphi & \rho &= \sqrt{x^2 + y^2} & \text{y} & \text{tag } \varphi = \frac{y}{x} \\ y &= \rho \sin \varphi \\ z &= z \\ 0 &\leq \rho < \infty \\ 0 &\leq \varphi < 2\pi \\ -\infty &< z < \infty \end{aligned}$$

El operador Laplaciano en dos dimensiones es coordenadas cartesianas es:

$$\nabla^2 = \frac{\partial}{\partial x^2} + \frac{\partial}{\partial y^2}$$

La transformación de este operador a coordenadas cilíndricas se consigue de la siguiente manera:

$$\frac{\partial}{\partial x} = \frac{\partial \rho}{\partial x} \frac{\partial}{\partial \rho} + \frac{\partial \varphi}{\partial x} \frac{\partial}{\partial \varphi} \quad (58)$$

La $\frac{\partial \rho}{\partial x}$ es fácil de calcular de $\rho = \sqrt{x^2 + y^2}$

$$\therefore \frac{\partial \rho}{\partial x} = \frac{2x}{2\sqrt{x^2 + y^2}} = \frac{\cos \varphi}{\rho} = \cos \varphi \quad (59)$$

La $\frac{\partial \varphi}{\partial x}$ se puede calcular de $\tan \varphi = \frac{y}{x}$

$$\therefore \frac{\partial \varphi}{\partial x} = - \frac{\sin \varphi}{\rho} \quad (60)$$

Sustituyendo (59) y (60) en (58) se tiene

$$\frac{\partial}{\partial x} = \cos \varphi \frac{\partial}{\partial \rho} - \frac{\sin \varphi}{\rho} \frac{\partial}{\partial \varphi} \quad (61)$$

Análogamente:

$$\frac{\partial}{\partial y} = \frac{\partial \rho}{\partial y} \frac{\partial}{\partial \rho} + \frac{\partial \varphi}{\partial y} \frac{\partial}{\partial \varphi} \quad (62)$$

de nuevo $\frac{\partial \rho}{\partial y}$ se calcula de $\rho = \sqrt{x^2 + y^2}$

$$\frac{\partial \rho}{\partial y} = \frac{2y}{2\sqrt{x^2 + y^2}} = \sin \varphi \quad (63)$$

y $\frac{\partial \varphi}{\partial y}$ se evalúa de $\tan \varphi = \frac{y}{x}$

$$\therefore \sec^2 \varphi \frac{\partial \varphi}{\partial y} = \frac{1}{x} \Rightarrow \frac{\partial \varphi}{\partial y} = \frac{\cos \varphi}{\rho} \quad (64)$$

Por sustitución de (63) y (64) en (62) se obtiene:

$$\frac{\partial}{\partial \gamma} = \mu \sin \varphi \frac{\partial}{\partial \rho} + \frac{\cos \varphi}{\rho} \frac{\partial}{\partial \varphi} \quad (65)$$

Es fácil ver entonces usando (61) y (65)

$$\frac{\partial^2}{\partial x^2} + \frac{\partial^2}{\partial y^2} = \frac{\partial^2}{\partial \rho^2} + \frac{1}{\rho} \frac{\partial}{\partial \rho} + \frac{1}{\rho^2} \frac{\partial^2}{\partial \varphi^2} \quad (66)$$

Nos proponemos entonces encontrar las eigenfunciones simultaneas

de

$$(\vec{P}_1^2 + \vec{P}_2^2) |kq m\rangle = k^2 |kq m\rangle$$

$$P_3 |kq m\rangle = q |kq m\rangle$$

$$L_3 |kq m\rangle = m |kq m\rangle$$

(67)

Si denotamos nuestra función de onda como:

$$\langle r z \varphi | k q m \rangle = \Psi_{k q m}(r z \varphi) \quad \text{y resolviendo las ecuaciones}$$

diferenciales (67)

$$- \left[\frac{\partial^2}{\partial r^2} + \frac{1}{r} \frac{\partial}{\partial r} + \frac{1}{r^2} \frac{\partial^2}{\partial \varphi^2} \right] \Psi_{k q m}(r z \varphi) = k^2 \Psi_{k q m}(r z \varphi) \quad (68)$$

$$-i \frac{\partial}{\partial z} \Psi_{k q m}(r z \varphi) = q \Psi_{k q m}(r z \varphi) \quad (69)$$

$$-i \frac{\partial}{\partial \varphi} \Psi_{k q m}(r z \varphi) = m \Psi_{k q m}(r z \varphi) \quad (70)$$

$$\text{Si proponemos } \Psi_{k q m}(r z \varphi) = R_m(k) Z(z) \Phi(\varphi) \quad (71)$$

Por sustitución de (71) en (69)

$$Z(z) = \frac{1}{\sqrt{2\pi}} e^{iqz} \quad \text{donde } -\infty < q < \infty$$

Por sustitución de (71) en (70)

$$\Phi(\varphi) = \frac{1}{\sqrt{2\pi}} e^{im\varphi} \quad (72) \quad \text{con} \quad m = 0, \pm 1, \pm 2, \dots$$

Finalmente sustituyendo (71) en (68) y reareglando obtenemos:

$$\frac{d^2 R_m(k)}{d\rho^2} + \frac{1}{\rho} \frac{dR_m(k)}{d\rho} + \left(k^2 - \frac{m^2}{\rho^2} \right) R_m(k) = 0 \quad (73)$$

haciendo el cambio de variable $x = k\rho$ la ecuación (73) se transforma en:

$$\frac{d^2 R_m(x)}{dx^2} + \frac{1}{x} \frac{dR_m(x)}{dx} + \left(1 - \frac{m^2}{x^2} \right) R_m(x) = 0 \quad (74)$$

La ecuación diferencial (74) es la ecuación diferencial de Bessel, las $J_m(k\rho)$ son soluciones de esta ecuación y reciben el nombre de Funciones cilíndricas de Bessel.

Nuestras funciones bases son entonces:

$$\Psi_{kqm}(r, \varphi) = \frac{1}{2\pi} J_m(k\rho) e^{iqz} e^{im\varphi}$$

Los eigenvalores k, q, m son: $k^2 = k^2 - q^2$ donde q es el momento transferido y k es proporcional a la raíz cuadrada de energía, y m se puede interpretar como las unidades de momento angular intercambiados entre la partícula incidente y la fuente (Cocho, Frósdal).

Las soluciones de nuestro problema son

$$\Psi_{kqm}(r, \varphi) = \frac{1}{2\pi} J_m(k\rho) e^{iqz} e^{im\varphi}$$

vamos a demostrar a continuación, La relación de cerradura para nuestras funciones bases.

El desarrollo de una onda plana en coordenadas cilíndricas es:

$$e^{i(\vec{k}_{11} + \vec{q}) \cdot \vec{r}} = \sum_{n=-\infty}^{\infty} \lambda^n e^{i n (\varphi_{k_{11}} - \varphi_q)} J_n(k_{11} \rho) e^{i q z} \quad (74a)$$

Con $\vec{k} = \vec{k}_{11} + \vec{q}$ donde $\vec{q} = (0, 0, q)$, $\vec{r} = (\rho \cos \varphi, \rho \sin \varphi, z)$

y $\varphi_{k_{11}} - \varphi_q$ es el ángulo entre el vector \vec{k}_{11} y el vector \vec{p} .

Tomando conjugación compleja en (74a) nos queda:

$$e^{-i(\vec{k}_{11} + \vec{q}) \cdot \vec{r}'} = \sum_{n'=-\infty}^{\infty} (-\lambda)^{n'} e^{-i n' (\varphi_{k_{11}} - \varphi_{q'})} J_{n'}(k_{11} \rho') e^{-i q' z'} \quad (74b)$$

La función delta de Dirac en coordenadas cilíndricas

$$\frac{1}{(2\pi)^3} \int_0^{\infty} k_{11} dk_{11} \int_{-\infty}^{\infty} dq \int_0^{2\pi} d\varphi_{k_{11}} e^{i(\vec{r} - \vec{r}') \cdot \vec{k}} = \frac{\delta(\rho - \rho')}{\rho} \delta(z - z') \delta(\varphi - \varphi_{q'}) \quad (74c)$$

Por sustitución de (74a) y (74b) en (74c)

$$\frac{1}{(2\pi)^3} \int_0^{\infty} k_{11} dk_{11} \int_{-\infty}^{\infty} dq \int_0^{2\pi} d\varphi_{k_{11}} \sum_{n=-\infty}^{\infty} \lambda^n e^{i n (\varphi_{k_{11}} - \varphi_q)} J_n(k_{11} \rho) e^{i q z} \quad (74d)$$

$$\sum_{n'=-\infty}^{\infty} (-\lambda)^{n'} e^{-i n' (\varphi_{k_{11}} - \varphi_{q'})} J_{n'}(k_{11} \rho') e^{-i q' z'} = \frac{\delta(\rho - \rho')}{\rho} \delta(z - z') \delta(\varphi - \varphi_{q'})$$

Intercambiando las sumas por las integrales (74d) nos queda:

$$\frac{1}{(2\pi)^3} \sum_{n=-\infty}^{\infty} \sum_{n'=-\infty}^{\infty} (\lambda)^n (-\lambda)^{n'} \int_0^{\infty} k_{11} dk_{11} \int_{-\infty}^{\infty} dq J_n(k_{11} \rho) J_{n'}(k_{11} \rho') e^{i q (z - z')} \quad (74e)$$

$$\times \int_0^{2\pi} d\varphi_{k_{11}} e^{i(n-n')\varphi_{k_{11}}} e^{-i n \varphi_q} e^{i n' \varphi_{q'}} = \frac{\delta(\rho - \rho')}{\rho} \delta(z - z') \delta(\varphi - \varphi_{q'})$$

Ya que $\frac{1}{2\pi} \int_0^{2\pi} \delta(\varphi_{k_{11}}) e^{i(n-n')\varphi_{k_{11}}} = \delta_{nn'}$ entonces la ecuación

(74e) nos queda:

$$\begin{aligned} & \frac{1}{(2\pi)^2} \sum_{n=-\infty}^{\infty} \int_{-\infty}^{\infty} dq \int_0^{\infty} k_{11} dk_{11} J_n(k_{11}\rho) J_n(k_{11}\rho') e^{iq(z-z')} e^{in(\varphi_{\rho'} - \varphi_{\rho})} \\ &= \frac{\delta(\rho - \rho')}{\rho} \delta(z - z') \delta(\varphi_{\rho'} - \varphi_{\rho}) \end{aligned}$$

Analogamente es fácil de verificar que nuestras funciones bases satisfacen la siguiente relación de ortogonalidad:

$$\begin{aligned} & \frac{1}{(2\pi)^2} \int_0^{\infty} \rho d\rho \int_{-\infty}^{\infty} dz \int_0^{2\pi} d\varphi J_m(k_{11}\rho) J_{m'}(k'_{11}\rho) e^{i(q-q')z} e^{i(m-m')\varphi} = \\ &= \frac{\delta(k_{11} - k'_{11})}{k_{11}} \delta(q - q') \delta_{mm'} \end{aligned}$$

CAPITULO III

El desarrollo de las Amplitudes de dispersión no-relativistas para partículas sin Spin.

Consideraremos la dispersión de partículas sin Spin

$$1 + 2 \rightarrow 3 + 4$$

Consideraremos la amplitud de dispersión como una función del momento de una sola partícula. Esta función $F(\vec{k})$ donde \vec{k} es un vector en un espacio Euclídiano tridimensional, puede descomponerse en componentes irreducibles con respecto al grupo Euclídiano $E(3)$. En esta forma nosotros obtenemos formulas de "dos variables" del análisis de ondas parciales no-relativistas. Este desarrollo, depende del sistema de referencia, de la parametrización del espacio $E(3)$, y de la elección de una base para la representación. Por simplicidad nos restringiremos a dispersión elástica cuando la masa de las partículas satisfacen:

$$m_1 = m_3 \quad \text{y} \quad m_2 = m_4$$

ya que este es el caso de interés para dispersión por un potencial. Sin embargo, la cinemática sería ligeramente más complicada para masas más generales.

III.1 - La amplitud de dispersión para partículas sin Spin como una función de un punto en el espacio de momento.

Por analogía con las variables invariantes relativistas de Mandelstam¹⁵⁾ s, t, u . Introduciremos las variables

invariantes de Galileo

$$\begin{aligned} S_E &= (\vec{p}_1 - \mu \vec{p}_2)^2 \\ t_E &= -(\vec{p}_1 - \vec{p}_3)^2 \\ u_E &= -(\vec{p}_1 - \mu \vec{p}_4)^2 \end{aligned} \quad \mu = \frac{m_1}{m_2} \quad (75)$$

(El subíndice E significa euclidiano). Los factores μ son necesarios, ya que transformaciones de Galileo preservan diferencias entre velocidades en vez de diferencias entre momentos. Es apropiado en este punto hacer hincapié en que el grupo de Euclides E(3) genera nuestros desarrollos consistentes de rotaciones y translaciones en el espacio de momentos.

Vamos a demostrar que las variables (75) satisfacen:

$$S_E + \mu t_E + u_E = 0 \quad (76)$$

demostración de (76)

Usando 75 es fácil ver que

$$\begin{aligned} S_E &= p_1^2 - 2\mu \vec{p}_1 \cdot \vec{p}_2 + \mu^2 p_2^2 \\ t_E &= -p_1^2 + 2\vec{p}_1 \cdot \vec{p}_3 - p_3^2 \\ u_E &= -p_1^2 + 2\mu \vec{p}_1 \cdot \vec{p}_4 - \mu^2 p_4^2 \end{aligned} \quad (77)$$

suponiendo $m_1 = m_3$, $m_2 = m_4$, la conservación del momento y energía nos queda:

$$\frac{p_1^2}{2m_1} + \frac{p_2^2}{2m_2} = \frac{p_3^2}{2m_1} + \frac{p_4^2}{2m_2}$$

$$\vec{p}_1 + \vec{p}_2 = \vec{p}_3 + \vec{p}_4$$

o equivalentemente:

$$\begin{cases} p_1^2 + \mu p_2^2 = p_3^2 + \mu p_4^2 \\ \vec{p}_1 + \vec{p}_2 = \vec{p}_3 + \vec{p}_4 \end{cases}$$

de (77)

$$\begin{aligned}
 S_E + \mu t E + U E &= \vec{p}_1^2 - 2\mu \vec{p}_1 \cdot \vec{p}_2 + \mu^2 \vec{p}_2^2 - \mu \vec{p}_1^2 + 2\mu \vec{p}_1 \cdot \vec{p}_3 - \mu \vec{p}_3^2 - \vec{p}_1^2 \\
 &+ 2\mu \vec{p}_1 \cdot \vec{p}_4 - \mu^2 \vec{p}_4^2 \\
 &= -2\mu \vec{p}_1 \cdot \vec{p}_2 + \mu \vec{p}_2^2 + \mu^2 \vec{p}_4^2 - \mu \vec{p}_1^2 - \mu \vec{p}_1^2 + 2\mu \vec{p}_1 \cdot \vec{p}_3 - \mu \vec{p}_3^2 + 2\mu \vec{p}_1 \cdot \vec{p}_4 \\
 &- \mu^2 \vec{p}_4^2 \\
 &= 2\mu \vec{p}_1 \cdot (\vec{p}_3 + \vec{p}_4) - 2\mu \vec{p}_1 \cdot (\vec{p}_1 + \vec{p}_2) = 2\mu \vec{p}_1 \cdot (\vec{p}_3 + \vec{p}_4) - 2\mu \vec{p}_1 \cdot (\vec{p}_1 + \vec{p}_2)
 \end{aligned}$$

∴ $S_E + \mu t E + U E = 0$ (78)

Las amplitudes de dispersión, independientemente de la elección del sistema de referencia, puede considerarse como una función de cuales quiera ^{dos} de esas variables.

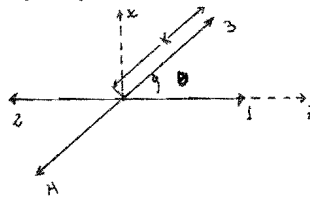
III.2 - Sistema del centro de masa y las variables invariantes de Galileo.

Introduciremos coordenadas esféricas en el espacio de momentos y escribiremos cada uno de los momentos como:

$$\vec{p}_i = (k_i \sin \theta_i \cos \phi_i ; k_i \sin \theta_i \sin \phi_i ; k_i \cos \theta_i)$$

Tomando $\vec{p}_1 \parallel -\vec{p}_2$ paralelas al eje z e identificando el plano de dispersión con el plano xz , tenemos:

$$\begin{aligned}
 \vec{p}_1 &= (0, 0, k) \\
 \vec{p}_2 &= (0, 0, -k) \\
 \vec{p}_3 &= (k \sin \theta, 0, k \cos \theta) \\
 \vec{p}_4 &= (-k \sin \theta, 0, -k \cos \theta)
 \end{aligned} \quad (79)$$



Consigamos la relación entre las variables (75) y las del centro de masa.

De acuerdo con (75) $S_E = (\vec{p}_1 - \mu \vec{p}_2)^2$ Sustituyendo \vec{p}_1 y \vec{p}_2 dados por (79)

$$S_E = \left[\sqrt{(k + \mu k)^2} \right]^2 = [k^2 + 2\mu k^2 + \mu^2 k^2]$$

de donde $S_E = k^2(1 + \mu)^2$ (80)

Análogamente de 75 y 79 es fácil ver que:

$$t_E = -(\vec{p}_1 - \vec{p}_2)^2 = - \left[\sqrt{(-k \mu \cos \theta)^2 + (k - k \cos \theta)^2} \right]^2$$

$$t_E = - [k^2 \mu^2 \cos^2 \theta + k^2 - 2k^2 \cos \theta + k^2 \cos^2 \theta]$$

de donde $t_E = -2k^2 [1 - \cos \theta]$ (81)

Análogamente:

$$u_E = -(\vec{p}_1 - \mu \vec{p}_2)^2 = - \left[\sqrt{(-k \mu \sin \theta)^2 + (k + k \mu \cos \theta)^2} \right]^2$$

Efectuando operaciones

$$u_E = - [k^2 \mu^2 \sin^2 \theta + k^2 + 2k^2 \mu \cos \theta + k^2 \mu^2 \cos^2 \theta]$$

factorizando:

$$u_E = -k^2 [1 + \mu^2 + 2\mu \cos \theta]$$
 (82)

por ejemplo: de (80) $k = \frac{(S_E)^{1/2}}{1 + \mu}$ (83)

de (81) $-\frac{t_E}{2k^2} = 1 - \cos \theta \Rightarrow \cos \theta = 1 + \frac{t_E}{2k^2}$ sustituyendo (80)

entonces:

$$\cos \theta = 1 + \frac{\frac{t_E}{2S_E}}{(1 + \mu)^2} \quad \therefore \quad \cos \theta = 1 + (1 + \mu)^2 \frac{t_E}{2S_E}$$
 (84)

Así podemos escribir

$$F(s_E, t_E) = F(k, \omega, \theta) = F(\vec{p}_0) \quad (85)$$

donde $0 \leq k < \infty$ y $0 \leq \theta \leq \pi$ son la energía del c.m. y el ángulo dispersión. El ángulo azimutal φ es redundante para partículas sin Spin.

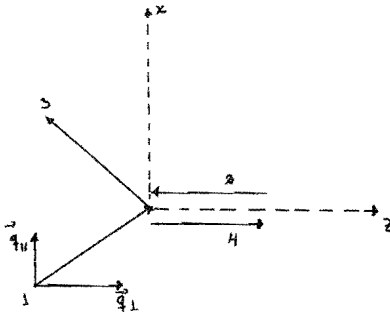
III.3 - Las variables de Galileo del sistema de pared de ladrillo del momento transferido.

Introduciendo coordenadas cilíndricas, escribiendo cada uno de los momentos como:

$$\vec{p}_L = (p_{||} \cos \varphi_i, p_{||} \sin \varphi_i, p_{\perp i})$$

Tomando $-\vec{p}_2 \parallel \vec{p}_4$ paralelo al eje Z , tomando 0×2 como el plano de dispersión, y poniendo $E_1 = E_3$, $E_2 = E_4$ tenemos:

$$\begin{aligned} \vec{p}_1 &= (q_{||}, 0, q_{\perp}) & \vec{p}_3 &= (q_{||}, 0, -q_{\perp}) \\ \vec{p}_2 &= (0, 0, -q_{\perp}) & \vec{p}_4 &= (0, 0, q_{\perp}) \end{aligned}$$



El subíndice de \vec{q} indica si la componente es paralela o perpendicular a la pared de ladrillo (brick wall) identificada con el plano $x \ y$

Por definición

Usando de nuevo (75)

$$s_E \equiv (\vec{k}_1 - \mu \vec{k}_2)^2 = \left[\sqrt{q_{||}^2 + (q_{\perp} + \mu q_L)^2} \right]^2$$

de donde
$$s_E = q_{||}^2 + q_{\perp}^2 (1 + \mu)^2 \quad (86)$$

Analogamente

$$t_E = - (\vec{k}_1 - \vec{k}_2)^2 = - \left[\sqrt{(q_{||} - q_{||})^2 + (q_{\perp} + q_L)^2} \right]^2$$

$$\therefore t_E = - 4 q_{\perp}^2 \quad (87)$$

Es fácil ver también que:

$$u_E = - (\vec{k}_1 - \mu \vec{k}_4)^2 = - \left[\sqrt{q_{||}^2 + (q_{\perp} - \mu q_L)^2} \right]^2$$

$$\therefore u_E = - q_{||}^2 - q_{\perp}^2 (1 - \mu)^2 \quad (88)$$

de (87)
$$q_{\perp} = \frac{1}{2} (-t_E)^{\frac{1}{2}} \quad (89)$$

de (86)
$$q_{||} = \sqrt{s_E + \frac{t_E}{4} (1 + \mu)^2} \quad (90)$$

Entonces, podemos escribir la amplitud de dispersión como una función de las coordenadas cilíndricas $q_{||}$, q_{\perp} del momento \vec{k}_1 (El ángulo azimutal es redundante)

$$F(s_E, t_E) = F(q_{\perp}, q_{||}) = F(\vec{k}_1)$$

III.4 - Relación entre las variables de Galileo de la pared de ladrillo y las del c.m.

$$\begin{aligned} S_E &= k^2(1+\mu)^2 && \text{(variables invariantes de Galileo del sistema c.m.)} \\ t_E &= -2k^2(1-\omega\theta) \\ u_E &= -k^2(1+\mu^2+2\mu\omega\theta) \end{aligned}$$

$$\begin{aligned} S_E &= q_{11}^2 + q_{12}^2(1+\mu)^2 && \text{(variables invariantes de Galileo del sistema B.W.)} \\ t_E &= -4q_{12}^2 \\ u_E &= -q_{11}^2 - q_{12}^2(1-\mu)^2 \end{aligned}$$

$$t_E^{c.m.} = t_E^{B.W.}$$

$$\therefore -4q_{12}^2 = -2k^2(1-\omega\theta)$$

$$\text{de donde } q_{12} = k \operatorname{sen} \frac{\theta}{2} \quad (91)$$

Analogamente:

$$S_E^{c.m.} = S_E^{B.W.}$$

$$k^2(1+\mu)^2 = q_{11}^2 + q_{12}^2(1+\mu)^2 \quad \text{ya que } q_{12} = k \operatorname{sen} \frac{\theta}{2} \text{ entonces}$$

$$q_{11} = (1+\mu)k \cos \frac{\theta}{2} \quad (92)$$

Note que para la dispersión hacia adelante correspondiente a

$$\theta = 0 \quad q_{12} = 0 \quad ; \quad q_{11} \sim (1+\mu)k \quad \text{y para dispersión hacia}$$

$$\text{atrás } \theta = \pi \quad ; \quad q_{12} \sim k \quad , \quad q_{11} \sim 0$$

III.5 - Sistema de Pared de Ladrillo del parámetro de impacto.

Introduciendo de nuevo coordenadas cilíndricas y tomando

$o \times z$ como el plano de dispersión (de modo que $\operatorname{sen} \varphi_i = 0 \quad i = 1, \dots, 4$)

poniendo $\vec{r}_2 \parallel \vec{r}_3$ paralelo al eje z y $E_1 = E_4$, $E_2 = E_3$ se tiene

$$\vec{p}_2 = (p_{11} \cos \varphi_i, p_{11} \sin \varphi_i, p_{11}^i)$$

$$\vec{p}_4 = (p_{11}, 0, p_{11})$$

$$\vec{p}_2 = (0, 0, -q)$$

Consigamos \vec{p}_3 sabemos que: $E_2 = E_3$ y $m_1 = m_3$

entonces $\frac{q^2}{2m_2} = \frac{p_3^2}{2m_1} \Rightarrow p_3^2 = \frac{m_1}{m_2} q^2$

$\therefore p_3 = \sqrt{\mu} q$ podemos escribir a \vec{p}_3 como un vector de la siguiente forma $\vec{p}_3 = (0, 0, \sqrt{\mu} q)$ (93)

Usando el hecho que:

$$E_1 = E_4 \quad \text{y} \quad m_2 = m_4$$

entonces: $\frac{p_{11}^2 + p_{11}^2}{2m_1} = \frac{p_4^2}{2m_2}$

\vec{p}_4 se puede escribir como $(p_{11}, 0, \tilde{p}_L)$ de donde

$$p_{11}^2 + p_{11}^2 = \mu (p_{11}^2 + \tilde{p}_L^2) \quad \text{obviamente:}$$

$$\tilde{p}_L = \frac{1}{\sqrt{\mu}} [p_{11}^2 + p_{11}^2(1-\mu)]^{\frac{1}{2}} \quad (94)$$

y el momento transferido definido por:

$$\vec{q} = \vec{p}_1 - \vec{p}_4 = (p_{11}, 0, p_{11}) - (p_{11}, 0, -\tilde{p}_L) = (0, 0, p_{11} + \tilde{p}_L)$$

$$\therefore \vec{q} = (0, 0, p_{11} + \tilde{p}_L) \quad (95)$$

$$-\vec{q} = \vec{p}_2 - \vec{p}_3 = (0, 0, -q) - (0, 0, \sqrt{\mu} q) = (0, 0, -q - \sqrt{\mu} q)$$

$$\therefore \vec{q} = (0, 0, q + \sqrt{\mu} q) \quad (96)$$

de (95) y (96) $q + \sqrt{\mu} q = p_{\perp} + \tilde{p}_{\perp}$

$$\therefore q = \frac{1}{1 + \sqrt{\mu}} \left\{ p_{\perp} + \frac{1}{\sqrt{\mu}} [p_{\perp}^2 + p_{\parallel}^2 (1 - \mu)]^{\frac{1}{2}} \right\} \quad (97)$$

Consigamos la relación entre las coordenadas invariantes, del sistema de pared de ladrillo y el sistema del centro de masa de las ecs. (75)

$$t_E = -(\vec{p}_1 - \vec{p}_3)^2$$

Sustituyendo los valores de los momentos \vec{p}_1 y \vec{p}_3 se tiene

$$t_E = -[\sqrt{p_{\parallel}^2 + (p_{\perp} - \sqrt{\mu} q)^2}]^2$$

donde $(p_{\perp} - \sqrt{\mu} q)^2 = p_{\perp}^2 - 2\sqrt{\mu} p_{\perp} \cdot q + \mu q^2$

$$= p_{\perp}^2 - 2\sqrt{\mu} p_{\perp} \frac{1}{1 + \sqrt{\mu}} \left\{ p_{\perp} + \frac{1}{\sqrt{\mu}} [p_{\perp}^2 + p_{\parallel}^2 (1 - \mu)]^{\frac{1}{2}} \right\} + \mu \frac{1}{(1 + \sqrt{\mu})^2} \left\{ p_{\perp} + \frac{1}{\sqrt{\mu}} [p_{\perp}^2 + p_{\parallel}^2 (1 - \mu)]^{\frac{1}{2}} \right\}^2$$

$$= p_{\perp}^2 - \frac{2\sqrt{\mu} p_{\perp}^2}{1 + \sqrt{\mu}} - \frac{2p_{\perp}}{1 + \sqrt{\mu}} [p_{\perp}^2 + p_{\parallel}^2 (1 - \mu)]^{\frac{1}{2}} + \frac{\mu p_{\perp}^2}{(1 + \sqrt{\mu})^2} + \frac{2\sqrt{\mu} p_{\perp}}{(1 + \sqrt{\mu})^2} [p_{\perp}^2 + p_{\parallel}^2 (1 - \mu)]^{\frac{1}{2}}$$

$$+ \frac{1}{(1 + \sqrt{\mu})^2} [p_{\perp}^2 + p_{\parallel}^2 (1 - \mu)]$$

Efectuando operaciones conseguimos que

$$-t_E = \frac{2}{(1 + \sqrt{\mu})^2} \left\{ p_{\perp}^2 + p_{\parallel}^2 \left(1 - \frac{\mu}{2}\right) - p_{\perp} [p_{\perp}^2 + p_{\parallel}^2 (1 - \mu)]^{\frac{1}{2}} \right\} \quad (98)$$

En el sistema del centro de masa se cumple que:

$$t_E = -2K\mu(1 - \cos\theta)$$

Ya que t_E es un invariante en cualquier sistema de referencia entonces:

$$2K^2(1 - \cos\theta) = \frac{2}{(1 + \sqrt{\mu})^2} \left\{ p_{\perp}^2 + p_{\parallel}^2 \left(1 - \frac{\mu}{2}\right) - p_{\perp} \left[p_{\perp}^2 + p_{\parallel}^2 (1 - \mu) \right]^{\frac{1}{2}} \right\}$$

de donde

$$4K^2 \mu \frac{\sin^2 \theta}{2} = \frac{2}{(1 + \sqrt{\mu})^2} \left\{ p_{\perp}^2 + p_{\parallel}^2 \left(1 - \frac{\mu}{2}\right) - p_{\perp} \left[p_{\perp}^2 + p_{\parallel}^2 (1 - \mu) \right]^{\frac{1}{2}} \right\} \quad (99)$$

Analogamente de (75)

$$u_E = - \left[\vec{p}_1 - \mu \vec{p}_2 \right]^2$$

Sustituyendo los valores de los momentos obviamente:

$$u_E = - \left[\sqrt{(p_{\perp} + \mu \tilde{p}_{\perp})^2} \right]^2$$

Ejecutando las operaciones indicadas

$$u_E = - \left[p_{\perp}^2 + 2 p_{\perp} \tilde{p}_{\perp} + \mu^2 \tilde{p}_{\perp}^2 \right]$$

Usando la ec (94)

$$-u_E = p_{\perp}^2 + 2 p_{\perp} \frac{1}{\sqrt{\mu}} \left[p_{\perp}^2 + p_{\parallel}^2 (1 - \mu) \right]^{\frac{1}{2}} + \mu^2 \frac{1}{\mu} \left[p_{\perp}^2 + p_{\parallel}^2 (1 - \mu) \right]$$

Simplificando conseguimos que

$$-u_E = \mu p_{\parallel}^2 (1 - \mu) + 2 p_{\perp} \sqrt{\mu} \left[p_{\perp}^2 + p_{\parallel}^2 (1 - \mu) \right]^{\frac{1}{2}} + p_{\perp}^2 (1 + \mu) = K^2 (1 + \mu^2 + 2\mu \cos\theta) \quad (100)$$

de nuevo la amplitud de dispersión

$$F(s_E, t_E) = F(p_{\perp}, p_{\parallel}) = F(\vec{p}_1)$$

La fórmula (99) se simplifica grandemente para masas iguales.

$$p_{\parallel} = 4K \frac{\sin \theta}{2} \quad \text{para} \quad \mu = 1$$

III.6 - El desarrollo de la Amplitud de dispersión.

La amplitud de dispersión es ahora una función $F(\vec{k})$ de uno de los tres momentos de las partículas. Suponiendo que pertenece al espacio de Hilbert de las funciones de cuadrado integrable satisfacen

$$\int |F(\vec{k})|^2 d^3k < \infty \quad (101)$$

III.6-1 - El desarrollo esférico en el sistema del centro de masa.

Haremos uso de la relación de ortogonalidad y cerradura

de la base esférica

$$\int_0^\infty r^2 dr \int_0^\pi \rho \sin \theta d\theta \int_0^{2\pi} d\varphi f_L(kr) Y_{lm}(\theta, \varphi) f_L^*(k'r) Y_{l'm'}^*(\theta, \varphi) = \frac{\pi}{2} \frac{\delta(k-k')}{k^2} \delta_{ll'} \delta_{mm'}$$

$$\sum_{l=0}^\infty \sum_{m=-l}^l \int_0^\infty k^2 dk f_L(kr) Y_{lm}(\theta, \varphi) f_L^*(k'r) Y_{lm}^*(\theta, \varphi) = \frac{\pi}{2} \frac{\delta(r-r')}{r^2} \frac{\delta(\theta-\theta') \delta(\varphi-\varphi')}{\rho \sin \theta}$$

$$F(s_E, t_E) = F(k, \omega \theta) = F(\vec{k}_E)$$

entonces

$$F(k, \omega \theta) = 4 \int_0^\infty k'^2 dk' \int_0^\pi \rho \sin \theta' d\theta' F(k', \omega \theta') \frac{\delta(k-k')}{k^2} \frac{\delta(\theta-\theta')}{\rho \sin \theta'}$$

$$F(k, \omega \theta) = 4 \int_0^\infty k'^2 dk' \int_0^\pi \rho \sin \theta' d\theta' F(k', \omega \theta') \int_0^\infty r^2 dr f_L(kr) f_L^*(k'r) \sum_{l=0}^\infty \frac{2l+1}{4\pi} P_l(\omega \theta) P_l(\omega \theta')$$

Reorganizando:

$$F(k, \omega \theta) = \sum_{l=0}^\infty (2l+1) \int_0^\infty r^2 dr f_L(kr) P_l(\omega \theta) \left\{ \frac{1}{\pi} \int_0^\infty k'^2 dk' \int_0^\pi \rho \sin \theta' d\theta' f_L^*(k'r) P_l(\omega \theta') F(k', \omega \theta') \right\}$$

Si definimos:

$$f_L(r) = \frac{1}{\pi} \int_0^\infty k'^2 dk' \int_0^\pi \rho \sin \theta' d\theta' f_L(k'r) P_l(\omega \theta') F(k', \omega \theta') \quad (102)$$

Entonces:

$$F(k, \omega \theta) = \sum_{l=0}^\infty (2l+1) \int_0^\infty r^2 dr f_L(kr) P_l(\omega \theta) f_L(r) \quad (103)$$

donde se tomó en cuenta que el ángulo φ es redundante y el único valor de m que contribuye es cuando $m=0$ y además se tomó en cuenta el hecho que :

$$f_l^*(k'r) = f_l(k'r)$$

Tomando $a_l(k) = \int_0^\infty r' dr' f_l(r') f_l(kr)$ la ecuación (103) se convierte en:

$$F(k, \omega\theta) = \sum_{l=0}^{\infty} (2l+1) a_l(k) P_l(\omega\theta) \quad (104)$$

que no es más que el desarrollo usual de ondas parciales y la ec. (103) es la amplitud de onda parcial para el grupo $O(3)$

III.6-2 - El desarrollo cilíndrico del momento transferido para partículas sin Spin.

Como se discutió en los capítulos I y II.3 en coordenadas cilíndricas cualquier vector arbitrario se puede descomponer en una parte que es paralela al sistema de referencia de la pared de ladrillo y en una parte que es perpendicular, en consecuencia la amplitud de dispersión en este caso va a ser función de los vectores $\vec{q} = q_1 \vec{e}_1$ y $\vec{k} = \frac{1}{2} (\vec{k}_1^0 + \vec{k}_2^0)$, desarrollaremos esta amplitud de dispersión con ayuda de nuestra base:

$$|k q m\rangle = \frac{1}{2\pi} J_m(k\rho) e^{iqz} e^{im\varphi}$$

Si consideramos que las partículas no tienen Spin entonces el único valor posible de m es $m=0$, la amplitud entonces se puede representar como:

$$F(q, k) = \int_0^\infty k' dk' \int_{-\infty}^\infty dq' \frac{\delta(k-k')}{k'} \delta(q-q') F(q', k') \quad (105)$$

Usaremos las relaciones de ortogonalidad de nuestras funciones bases esto es:

$$\frac{1}{\sqrt{2\pi}} \int_{-\infty}^{\infty} dz \int_0^{\infty} p dp J_0(kp) J_0(k'p) e^{i(q-q')z} = \frac{\delta(k-k')}{k} \delta(q-q') \quad (106)$$

Sustituyendo (106) en (105)

$$F(q, k) = \int_0^{\infty} k' dk' \int_{-\infty}^{\infty} dq' \left[\frac{1}{\sqrt{2\pi}} \int_{-\infty}^{\infty} dz \int_0^{\infty} p dp J_0(kp) J_0(k'p) e^{i(q-q')z} \right] F(q', k') \quad (107)$$

Reorganizando podemos escribir (107) en la forma siguiente

$$F(q, k) = \int_0^{\infty} p dp \int_{-\infty}^{\infty} dz J_0(kp) e^{iqz} \left[\frac{1}{\sqrt{2\pi}} \int_0^{\infty} k' dk' \int_{-\infty}^{\infty} dq' J_0(k'p) e^{-iq'z} F(q', k') \right] \quad (108)$$

Si llamamos

$$f(p, z) = \frac{1}{\sqrt{2\pi}} \int_0^{\infty} k' dk' \int_{-\infty}^{\infty} dq' J_0(k'p) e^{-iq'z} F(q', k') \quad (109)$$

entonces la ecuación (108) nos queda:

$$F(q, k) = \int_0^{\infty} p dp \int_{-\infty}^{\infty} dz J_0(kp) e^{iqz} f(p, z) \quad (110)$$

La cual la podemos interpretar como lo que se conoce en la literatura como un desarrollo iconal¹⁶⁾ si

$$A(q, p) = \int_{-\infty}^{\infty} dz e^{iqz} f(p, z) \quad (111)$$

En esta identificación la ecuación (110) queda:

$$F(q, k) = \int_0^{\infty} p dp J_0(kp) A(q, p) \quad (112)$$

El desarrollo iconal es común para dispersión hacia adelante en altas energías. El desarrollo (112) es una generalización para energías y ángulos arbitrarios.

III.6-3 - El desarrollo cilíndrico del parámetro de impacto.

Si desarrollamos ahora nuestra amplitud de dispersión en la base del parámetro de impacto

$$|kq\rangle = \frac{1}{2\pi} J_m(qb) e^{i(P-q)z} e^{im\varphi}$$

Es fácil ver que \vec{q} es perpendicular $\vec{P} - \vec{q}$ en el caso que:

$m_1 = m_2 = m_3 = m_4$ en el sistema de referencia del sistema de laboratorio de acuerdo con la conservación de la energía se tiene:

$$\frac{\vec{p}_1^2}{2m_1} = \frac{\vec{p}_3^2}{2m_3} + \frac{\vec{p}_4^2}{2m_4} \quad (113)$$

En el sistema de laboratorio se tiene que:

$$\vec{p}_1^L = \vec{p}^L \quad (\text{momento lineal total}) \quad (114)$$

$$\vec{p}_3^L = \vec{p}^L - \vec{q} \quad (\text{el momento lineal total - el momento transferido})$$

$$\vec{p}_4^L = \vec{q} \quad (\text{momento transferido})$$

Por sustitución de (114) en (113) es claro que:

$$\vec{p}^L = (\vec{p}^L - \vec{q}) + \vec{q} \Rightarrow (\vec{p}^L - \vec{q}) \cdot \vec{q} = 0 \quad (115)$$

o lo que es lo mismo el vector $\vec{p}^L - \vec{q}$ es perpendicular al vector \vec{q}

Como se eligió el eje z en la dirección de $\vec{p}^L - \vec{q}$

y $\vec{p}^i - \vec{q}$ es perpendicular a la pared de ladrillo entonces \vec{q} está en el plano de la pared de ladrillo y vamos a tener que:

$$- \left[\frac{\partial^2}{\partial x^2} + \frac{\partial^2}{\partial y^2} \right] = q^2$$

y esto quiere decir que el argumento de nuestra función de Bessel en este caso va a ser qb , entonces la función de Bessel se puede denotar por $J_m(qb)$ 10)

La amplitud de dispersión se puede escribir como:

$$F(q, p-q) = \int_0^\infty b db J_0(qb) A(p-q, b) \quad (116)$$

con

$$A(p-q, b) = \int_{-\infty}^\infty dz e^{i(p-q)z} f(b, z) \quad (117)$$

y

$$f(b, z) = \frac{1}{\sqrt{2\pi}} \int_{-\infty}^\infty q' dq' \int_{-\infty}^\infty d(p-q)' J_0(q'b) e^{-i(p-q)z} F(q', p'-q') \quad (118)$$

La ecuación (116) es lo que se conoce como el desarrollo del parámetro de impacto¹⁰⁾, tal como nosotros la hemos representado es válida para energías y ángulos arbitrarios.

CAPITULO IV

IV.1 - El espacio de Hilbert para partículas con spin.

El espacio de Hilbert apropiado para una partícula con spin s es el producto tensorial

$$\mathcal{H} = \mathcal{H}_{\text{espacial}} \otimes \mathcal{H}_{\text{spin}}$$

donde $\mathcal{H}_{\text{espacial}}$ es el espacio $L^2(\mathbb{R}^3)$ de las funciones de onda ordinarias de cuadrado integrable y $\mathcal{H}_{\text{spin}}$ es el espacio de spin de $(2s+1)$ dimensiones.

Es común usar los eigenvectores $|m\rangle$ de la tercera componente del operador de spin como una base de $\mathcal{H}_{\text{spin}}$

$$S_3|m\rangle = m|m\rangle$$

m toma los valores enteros entre $-s$ y s , un vector arbitrario de $\mathcal{H}_{\text{spin}}$ se escribe como:

$$|\chi\rangle = \sum_{m=-s}^s \chi_m |m\rangle \quad (119)$$

Es conveniente recordar que, aunque sólo hay $(2s+1)$ estados de la base $|m\rangle$, una partícula con spin tiene un número infinito de estados de spin diferentes, correspondiente al número infinito de combinaciones en (119).

El estado del spin $|\chi\rangle$ en (119) está unívocamente definido por los coeficientes χ_m , los que pueden ser agrupados convenientemente en un espinor de $2s+1$ componentes

$$\chi = \begin{bmatrix} \chi_s \\ \vdots \\ \chi_{-s} \end{bmatrix}$$

Al discutir el spin, con frecuencia se ignora la distinción entre el vector abstracto $|\chi\rangle$ y su espinor representativo χ y se consideran los dos como uno y el mismo objeto. En este caso los operadores lineales definidos sobre $\mathcal{H}^{\text{spin}}$ son identificados con matrices cuadradas de $(2s+1)$ dimensiones. Ejemplo: El operador del spin para una partícula con spin s se puede representar como $\vec{S} = \frac{1}{2} \vec{\sigma}$ en donde σ_1, σ_2 y σ_3 son las matrices de Pauli comunes y corrientes.

Una base para el espacio \mathcal{H} se puede construir a partir de cualquier base de \mathcal{H}^{esp} y $\mathcal{H}^{\text{spin}}$

Ejemplo: Una base conveniente y frecuentemente usada está dada en términos de los eigenvectores de \vec{p} y s_3

$$|\vec{p}, m\rangle = |\vec{p}\rangle \otimes |m\rangle$$

que son productos de los eigenvectores del impulso $|\vec{p}\rangle$ en \mathcal{H}^{esp} y los eigenvectores de s_3 en $\mathcal{H}^{\text{spin}}$

El espacio de Hilbert para dos partículas distintas con spines s_1 y s_2 es el producto directo:

$$\mathcal{H} = \mathcal{H}_1 \otimes \mathcal{H}_2$$

de los dos espacios de una partícula cada uno de los cuales es un producto del tipo descrito antes.

Las funciones de onda espaciales tienen la forma

$$\psi_{m_1, m_2}(\vec{r}_1, \vec{r}_2)$$

Como base para el espacio del spin de dos partículas podemos usar los eigenvectores

$$|m_1, m_2\rangle = |m_1\rangle \otimes |m_2\rangle$$

de las componentes z o los eigenvectores del spin total y su componente \hat{z} . La relación entre estos es:

$$|s, m\rangle = \sum_{\substack{m_1 \\ m_2}} |m_1, m_2\rangle \langle s_1 s_2, m_1, m_2 | s, m \rangle$$

el coeficiente $\langle s_1 s_2, m_1, m_2 | s, m \rangle$ es el coeficiente de Clebsch-Gordan

En cualquiera de los casos el estado del spin de las partículas se puede desarrollar como:

$$|X\rangle = \sum_{\{ \}} x_{\{ \}} | \{ \} \rangle$$

$\{ \}$ comunmente representa a (m_1, m_2) ó (s, m) y en cualquiera de estos casos toma $(2s_1+1) \otimes (2s_2+1)$ valores distintos para cualquier base $\{ | \{ \} \rangle \}$

IV.2 -. Los operadores S y T para partículas con spin. Las amplitudes de dispersión.

Como en el caso de partículas sin spin calculamos la sección eficaz en el sistema del centro de masa en términos de la amplitud de dispersión. Sin embargo, en lugar de una sola amplitud de dispersión escalar como en el caso de partículas sin spin, ahora tenemos una matriz de $(2s+1) \times (2s+1)$

Consideremos primero el caso en el cual las partículas entran en uno de los estados de spin $| \{ \} \rangle$ y contamos el número de partículas salientes en $d\Omega$ en un estado $| \{ \}' \rangle$ (Recordando que $\{ \}$ es justamente la etiqueta para una base adecuada en el espacio de spin; por ejemplo $\{ \} = (m_1, m_2)$). En este caso:

$$\frac{d\sigma}{d\Omega} (\{ \}', \{ \}' \leftarrow \{ \}, \{ \}) = |F(\{ \}', \{ \}' \leftarrow \{ \}, \{ \})|^2 \quad (120)$$

La cual es la sección eficaz diferencial en el sistema del centro de masa observando las partículas finales en la dirección de \vec{p}_1 con spines dados por $|\uparrow\rangle$, si las partículas iniciales tuvieron momento relativo \vec{p} con spines $|\uparrow\rangle$. La sección eficaz observando un estado de spin final arbitrario $|\chi'\rangle$ prove - niendo de cualquier estado de spin inicial $|\chi\rangle$ puede ser evaluada de la misma manera. Si

$$|\chi\rangle = \sum_{\uparrow} \chi_{\uparrow} |\uparrow\rangle \quad \text{y}$$

$$|\chi'\rangle = \sum_{\uparrow'} \chi'_{\uparrow'} |\uparrow'\rangle$$

entonces:

$$\frac{d\sigma}{d\Omega} (\chi', \uparrow' \leftarrow \chi, \uparrow) = \left| \sum_{\uparrow} \chi'_{\uparrow'}^* F(\chi', \uparrow' \leftarrow \chi, \uparrow) \chi_{\uparrow} \right|^2 \quad (121)$$

Este resultado expresa la sección eficaz para spines arbitrarios ($|\chi'\rangle \leftarrow |\chi\rangle$) en terminos de las $[(2s_1+1)(2s_2+1)]^2$ amplitudes de los procesos

($|\uparrow'\rangle \leftarrow |\uparrow\rangle$). Esto sugiere reescribir las amplitudes básicas

como:

$$F(\chi', \uparrow' \leftarrow \chi, \uparrow) = F_{\uparrow'\uparrow}(\chi' \leftarrow \chi)$$

y considerarlas como los elementos de una matriz de amplitud

$$f(\chi' \leftarrow \chi) = \{ F_{\uparrow'\uparrow}(\chi' \leftarrow \chi) \} \quad (122)$$

nuestro resultado puede escribirse en forma compacta como

$$\frac{d\sigma}{d\Omega} (\chi', \uparrow' \leftarrow \chi, \uparrow) = \left| \chi'^{\dagger} f(\chi' \leftarrow \chi) \chi \right|^2 \quad (123)$$

(f es una matriz de $(2s+1) \times (2s+1)$ dimensiones) de lo cual es

claro que toda la información relevante para el proceso de

dispersión de las dos partículas está contenida en la matriz

$f(\chi' \leftarrow \chi)$, justamente como en el caso de partículas sin spin

donde toda la información estaba contenida en la amplitud

$$F(\mathbf{k}' \leftarrow \mathbf{k})$$

El caso mas simple de partículas con spin es la dispersión de partículas con spin $\frac{1}{2}$ sobre blancos de spin cero. Este ejemplo incluye procesos importantes como la dispersión de electrones por átomos de spin cero. Ya que una partícula no tiene spin, el espacio de spin del sistema completo es justamente el espacio de spin de dos dimensiones del proyectil de spin $\frac{1}{2}$. Usaremos la base usual (eigenfunciones de S_z) con los vectores bases $|+\rangle$ y $|-\rangle$ correspondientes a los eigenvalores $m = \pm \frac{1}{2}$. De acuerdo con la ecuación (123), la dispersión está determinada por una matriz de 2×2 :

$$f(\mathbf{k}' \leftarrow \mathbf{k}) = \begin{pmatrix} f_{++}(\mathbf{k}' \leftarrow \mathbf{k}) & f_{+-}(\mathbf{k}' \leftarrow \mathbf{k}) \\ f_{-+}(\mathbf{k}' \leftarrow \mathbf{k}) & f_{--}(\mathbf{k}' \leftarrow \mathbf{k}) \end{pmatrix} \quad (124)$$

El elemento $f_{m'm}(\mathbf{k}' \leftarrow \mathbf{k})$ es la amplitud inicial para una partícula con momento \vec{k} y componente z del spin m que es dispersada en la dirección \mathbf{k}' y es observada con componente z del spin m' . Debido a relaciones de simetría sólo hay dos amplitudes independientes, o sea $f_{++}(\mathbf{k}' \leftarrow \mathbf{k}) = f_{--}(\mathbf{k}' \leftarrow \mathbf{k})$ y

$$f_{+-}(\mathbf{k}' \leftarrow \mathbf{k}) = f_{-+}(\mathbf{k}' \leftarrow \mathbf{k})$$

El estado de spin inicial y final general están dados por los dos espinores χ y χ' y de acuerdo a (123), la amplitud observando el proceso $(\mathbf{k}', \chi' \leftarrow \mathbf{k}, \chi)$ es justamente el número $\chi'^{\dagger} f(\mathbf{k}' \leftarrow \mathbf{k}) \chi$

La matriz T está relacionada a la matriz S por la ecuación usual

$$S^{-1} = \lambda T \quad (125)$$

La relación entre la matriz T y la amplitud es:

$$\left(\frac{2\pi}{\lambda}\right)^2 \left| \chi'^{\dagger} T(\psi' \leftarrow \psi) \chi \right|^2 = \left| \chi'^{\dagger} f(\psi' \leftarrow \psi) \chi \right|^2 \quad (126)$$

IV.3 - La conservación del momento lineal usando la base translacional $E(\mathbf{s}) \supset T_1 \times T_2 \times T_3$

Los operadores invariantes son \vec{p}^2 y \vec{p}_c^2 , las funciones bases son

$$\langle \vec{v} | \vec{k} \rangle = \frac{1}{(2\pi)^{3/2}} e^{i \vec{k} \cdot \vec{r}}$$

cumplen las siguientes relaciones de ortogonalidad y cerradura

$$\langle \vec{k}' | \vec{k} \rangle = \frac{1}{(2\pi)^{3/2}} \int d^3 \vec{r} e^{i(\vec{k}' - \vec{k}) \cdot \vec{r}} = \delta(\vec{k}' - \vec{k})$$

$$\frac{1}{(2\pi)^{3/2}} \int d^3 \vec{k} e^{i \vec{k} \cdot (\vec{r}' - \vec{r})} = \delta(\vec{r}' - \vec{r})$$

Nos proponemos ver el efecto de invariancia translacional sobre un elemento S_{ij} de la matriz S. En la representación de coordenadas S puede escribirse como $S(\vec{r}_1', \vec{r}_2'; \vec{r}_1, \vec{r}_2)$. Podemos considerar que esta sea función de otras cuatro variables \vec{r}, \vec{r}' y la diferencia y la suma de las coordenadas del centro de masa, $\vec{R} - \vec{R}'$ y $\vec{R} + \vec{R}'$ donde $\vec{r} = \vec{r}_1 - \vec{r}_2$ y

$\vec{R} = \frac{m_1 \vec{r}_1 + m_2 \vec{r}_2}{m_1 + m_2}$. Los tres primeros vectores no cambian bajo translaciones mientras que $\vec{R} + \vec{R}'$ si cambia.

Entonces invariancia bajo translaciones implica que S debe depender solo de las coordenadas relativas y de la di

ferencia de las coordenadas del centro de masa, entonces

$$S(\vec{r}_1', \vec{r}_2'; \vec{r}_1, \vec{r}_2) = S(\vec{r}_1', \vec{r}', \vec{R} - \vec{R}') \quad (127)$$

En la base translacional un elemento de la matriz S puede escribirse como

$$S_{fi} = \int e^{i\vec{k}_1' \cdot \vec{r}_1'} e^{i\vec{k}_2' \cdot \vec{r}_2'} d^3\vec{r}_1' d^3\vec{r}_2' S(\vec{r}_1', \vec{r}_2', \vec{r}_1, \vec{r}_2) d^3\vec{r}_1 d^3\vec{r}_2 e^{i\vec{k}_1 \cdot \vec{r}_1} e^{i\vec{k}_2 \cdot \vec{r}_2}$$

se puede verificar facilmente que:

$$e^{i\vec{k}_1 \cdot \vec{r}_1} e^{i\vec{k}_2 \cdot \vec{r}_2} = e^{i\vec{k}_i \cdot \vec{R}} e^{i\vec{k}_i \cdot \vec{r}} \quad (128)$$

donde el momento total es $\vec{k}_i = \vec{k}_1 + \vec{k}_2$ y el momento relativo es

$$\vec{k}_r = \frac{m_2 \vec{k}_1 - m_1 \vec{k}_2}{m_1 + m_2}$$

Si tomamos en cuenta la relación (128) entonces (S_{fi}) se transforma de la siguiente manera:

$$S_{fi} = \int d^3\vec{R} d^3\vec{R}' d^3\vec{r} d^3\vec{r}' e^{-i\vec{k}_i \cdot \vec{R}'} e^{-i\vec{k}_r \cdot \vec{r}'} S(\vec{r}_1', \vec{r}_2', \vec{R} - \vec{R}') e^{i\vec{k}_i \cdot \vec{R}} e^{i\vec{k}_r \cdot \vec{r}} \quad (129)$$

haciendo el cambio de variable $\vec{x} = \vec{R} - \vec{R}'$

$$S_{fi} = \int d^3\vec{R} d^3\vec{x} d^3\vec{r} d^3\vec{r}' e^{-i\vec{k}_i \cdot (\vec{R} - \vec{x})} e^{-i\vec{k}_r \cdot \vec{r}'} S(\vec{r}_1', \vec{r}_2', \vec{R} - \vec{R}') e^{i\vec{k}_i \cdot \vec{R}} e^{i\vec{k}_r \cdot \vec{r}}$$

la cual se puede escribir como

$$S_{fi} = \int d^3\vec{R} e^{i(\vec{k}_i - \vec{k}_r) \cdot \vec{R}} d^3\vec{x} d^3\vec{r} d^3\vec{r}' e^{i\vec{k}_r \cdot \vec{x}} e^{-i\vec{k}_r \cdot \vec{r}'} S(\vec{r}_1', \vec{r}_2', \vec{x}) e^{i\vec{k}_i \cdot \vec{r}}$$

de donde obviamente

$$S_{fi} = (2\pi)^3 \delta(\vec{k}_i - \vec{k}_r) \int d^3\vec{x} d^3\vec{r} d^3\vec{r}' e^{i\vec{k}_r \cdot \vec{x}} e^{-i\vec{k}_r \cdot \vec{r}'} S(\vec{r}_1', \vec{r}_2', \vec{x}) e^{i\vec{k}_i \cdot \vec{r}}$$

La funcion delta de Dirac nos dice que el proceso de dispersión no ocurre a menos que $\vec{k}_r = \vec{k}_i$. De tal modo que conseguimos que la invariancia bajo translaciones implica que el momento total se conserva.

IV.4 - Invariancia bajo translaciones en el tiempo.

Si el hamiltoniano es independiente del tiempo, la ecuación de Schrodinger $i \hbar \frac{\partial \psi(t)}{\partial t} = H \psi(t)$ es invariante bajo translaciones a lo largo de este eje, esto es, bajo la transformación $t \rightarrow t+t_0$ o sea

$$i \hbar \frac{\partial \psi(t+t_0)}{\partial t} = H \psi(t+t_0) \quad (130)$$

Si definimos $\bar{\psi}(t) = \psi(t+t_0)$ la ecuación anterior se ve entonces como

$$i \hbar \frac{\partial \bar{\psi}(t)}{\partial t} = H \bar{\psi}(t)$$

de (130) se ve que

$$\frac{d \bar{\psi}(t)}{\bar{\psi}(t)} = - \frac{i}{\hbar} H dt$$

la cual se puede integrar y nos da

$$\psi(t+t_0) = e^{-\frac{i}{\hbar} H t_0} \psi(t)$$

lo que nos dice que H es el generador de translaciones en el tiempo.

Los eigenestados del generador H son simplemente los estados $\psi_i^{(\pm)}$, un elemento de la matriz S es:

$$\begin{aligned} S_{ji} &= \langle \psi_j^{(-)} | \psi_i^{(+)} \rangle = \langle \bar{\psi}_j^{(-)} | \bar{\psi}_i^{(+)} \rangle \\ &= \langle \psi_j^{(-)} | \exp\left(\frac{i}{\hbar} H t_0\right) \exp\left(-\frac{i}{\hbar} H t_0\right) | \psi_i^{(+)} \rangle \\ &= \langle \bar{\psi}_j^{(-)} | \exp\left(\frac{i}{\hbar} E_j t_0\right) \exp\left(-\frac{i}{\hbar} E_i t_0\right) | \bar{\psi}_i^{(+)} \rangle \\ \therefore S_{ji} &= S_{ji} \exp\left[\frac{i}{\hbar} (E_j - E_i) t_0\right] \end{aligned}$$

Si esto se cumple para cualquier t_0 entonces $E_j = E_i$ cuando

$S_{ij} \neq 0$; y esto es la ley de conservación de la energía.

IV.5 - Invariancia bajo rotaciones. Para una rotación arbitraria, la i -ésima componente de un vector se transforma como

$$\bar{V}_i = \sum_{j=1}^3 R_{ij} V_j \quad (131)$$

donde R_{ij} es un elemento de las matrices de 3×3 de rotación.

Por simplicidad, denotaremos esta transformación por:

$$\bar{\vec{V}} = \vec{R} \vec{V}$$

donde \vec{R} es un operador del espacio vectorial que satisface

$\vec{R}^+ R = \vec{R} \vec{R}^+ = 1$ así bajo una rotación

$$\begin{aligned} \vec{V} &= \vec{R} \vec{r} \\ \vec{r} &= \vec{R} \vec{V} \\ \vec{S} &= \vec{R} \vec{S} \end{aligned}$$

Si el hamiltoniano es invariante bajo tal transformación, esto es, si no hay ninguna dirección privilegiada en el espacio, la matriz S será invariante bajo rotaciones. La correspondiente ley de conservación se obtiene en la representación en la cual el operador canonicamente conjugado es diagonal.

Si la rotación es alrededor del eje z , este operador es J_z , la componente z del momento angular total. Si la rotación es alrededor de un eje arbitrario, el generador de la transformación es el operador correspondiente al momento angular alrededor de ese eje. Así, si $\vec{\theta}_0$ es un vector que tiene una magnitud igual al ángulo de rotación θ_0 y dirigido a lo largo del eje de rotación, el operador de la transformación es

$$U = \exp\left(-\frac{i}{\hbar} \vec{J} \cdot \vec{\theta}_0\right) \quad (132)$$

La representación apropiada es aquella en la cual J^2 y J_z son diagonales. Si S es invariante bajo rotaciones, conmutará con ambos (J^2 y J_z) y la matriz $\langle J_z, M_z | S | J_z, M_z \rangle$ será diagonal. Este elemento de matriz debe también ser independiente de M_z ya que no puede depender de la elección del eje z o de la orientación del sistema. Usaremos operadores de subida y de bajada $J_{\pm} = J_x \pm iJ_y$ los cuales conmutan con S ya que J_x y J_y conmutan con S .

Usaremos el hecho de que

$$J_+ | J_z, M_z \rangle = \hbar [J_z(J_z+1) - M_z(M_z+1)]^{\frac{1}{2}} | J_z, M_z+1 \rangle \quad (133)$$

La normalización se obtiene de la relación $J_+ J_- = J^2 - J_z(J_z+1)$ junto con el hecho de que $(J_-^\dagger) = J_+$. De (133) se sigue entonces que:

$$\hbar [J_z(J_z+1) - M_z(M_z+1)]^{\frac{1}{2}} \langle J_z, M_z+1 | = \langle J_z, M_z | (J_+)^{\dagger}$$

$$\therefore \langle J_z, M_z | J_- J_+ | J_z, M_z \rangle = [J_z(J_z+1) - M_z(M_z+1)]^{\frac{1}{2}} \quad (134)$$

usando que $[S, J_-] = 0$ y las ecuaciones (133) y (134)

$$\begin{aligned} \langle J_z, M_z | S | J_z, M_z \rangle &= \langle J_z, M_z | \frac{S}{\hbar} \left[\frac{J_- J_+}{J_z(J_z+1) - M_z(M_z+1)} \right] | J_z, M_z \rangle \\ &= [J_z(J_z+1) - M_z(M_z+1)]^{-\frac{1}{2}} \langle J_z, M_z | J_- S J_+ | J_z, M_z \rangle \\ &= [J_z(J_z+1) - M_z(M_z+1)]^{-\frac{1}{2}} \hbar^2 [J_z(J_z+1) - M_z(M_z+1)] \langle J_z, M_z+1 | S | J_z, M_z+1 \rangle \\ &= \langle J_z, M_z+1 | S | J_z, M_z+1 \rangle \end{aligned}$$

$$\therefore \langle J_z, M_z | S | J_z, M_z \rangle = \langle J_z, M_z+1 | S | J_z, M_z+1 \rangle$$

(135)

Entonces todos los elementos $\langle J_z, M_z | S | J_z, M_z \rangle$ teniendo un

valor dado de J_z son iguales. Conseguimos entonces que la matriz S en el sistema de referencia del centro de masa esta dada por:

$$\langle J_z, M_z | S | J_z, M_z \rangle = S_{J_z}^{(E)} \delta_{J_z, J_z} \delta_{M_z, M_z}$$

demostrando esto la conservación del momento angular total y de su componente a lo largo de cualquier eje. El número $S_{J_z}^{(E)}$ es el eigenvalor de S en la representación \vec{J}

Nuestros resultados pueden resumirse en la siguiente forma

$$\langle E_f, J_f, M_f | S | E_i, J_i, M_i \rangle = \delta(E_f - E_i) \delta_{J_i, J_f} \delta_{M_i, M_f} S_{J_i}^{(E)} \quad (17)$$

Este resultado significa que debido a la invariancia rotacional S es diagonal con respecto a \vec{J} y M y que debido a invariancia bajo translaciones en el tiempo es diagonal con respecto a E .

IV.6 - El formalismo de la helicidad .

Definición 1 - La helicidad λ de una partícula se define como la componente del spin en la dirección del momento de la partícula.

El uso de una base de estados de una partícula etiquetados con \vec{p} y λ tiene múltiples ventajas sobre las bases de estados etiquetados con \vec{p} y m (m es el eigenvalor de S_z)

A diferencia de lo que ocurre con m , la helicidad λ no cambia bajo rotaciones, lo que simplifica considerablemente

el análisis de la invariancia rotacional. Puesto que el operador de helicidad $\vec{S} \cdot \hat{p}$ puede expresarse como $\vec{J} \cdot \hat{p}$, ya que $\vec{L} \cdot \hat{p}$ es nulo, la helicidad se puede definir sin dificultad en la formulación relativista en donde la definición de \vec{L} y \vec{S} por separado es engorrosa.

A cada valor del momento \vec{p} de la partícula le corresponden $(2s+1)$ eigenvalores del operador de helicidad $\vec{S} \cdot \hat{p}$ que son:

$$\lambda = -s, -s+1, \dots, s-1, s \quad (136)$$

y por lo tanto el espacio de todos los estados de una partícula está subtendido por los eigenvectores de \vec{p} y $\vec{S} \cdot \hat{p}$ $\{|\vec{p}, \lambda\rangle\}$ del mismo modo que por el conjunto de los eigenvectores de \vec{p} y S_3 $\{|\vec{p}, m\rangle\}$. Al escoger la base de helicidad la única ambigüedad es la inevitable en la elección de la fase de los vectores $|\vec{p}, \lambda\rangle$. Esta se escoge comunmente del modo siguiente: Consideremos primero los estados cuyo momento \vec{p} está alineado con el eje positivo oz , $\vec{p} = \hat{z} p$ para estos estados la helicidad coincide con S_3 y podemos escoger los estados $|\vec{p}, \lambda\rangle$ de modo que sean precisamente los eigenestados usuales de S_3 con las convenciones de fase usuales

$$|\vec{p}, \lambda\rangle = |\vec{p}\rangle \otimes |s_3 = \lambda\rangle \quad [\vec{p} = \hat{z} p] \quad (137)$$

A continuación; notemos que un momento arbitrario \vec{p} en la dirección (θ_p, ϕ_p) se puede obtener siempre a partir de uno en

la dirección \hat{z} por medio de una rotación. De hecho, esto se puede hacer de muchas maneras, de las cuales la mas simple es justamente hacer un giro de θ grados alrededor de un eje perpendicular a \hat{z} y \vec{r} (Fig 7)

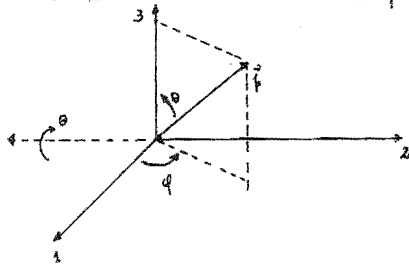


Fig 7.- El momento \vec{r} puede obtenerse de \hat{z} por una rotación de θ alrededor de un eje perpendicular a \vec{r} y \hat{z} . Esto equivale a tres rotaciones sucesivas: $-\varphi$ alrededor de \hat{z} , θ alrededor de \hat{z} , y φ alrededor de \hat{z} . Esta rotación tiene los ángulos de Euler $(\varphi, \theta - \varphi)$

Es conveniente parametrizar esta rotación con ayuda de los ángulos de Euler, que definimos de modo que

$$D(\varphi, \theta, \psi) = e^{-i\varphi J_3} e^{-i\theta J_2} e^{-i\psi J_3} \quad (138)$$

Esta es la llamada definición activa, en la que se hace girar al sistema y no a los ejes. En términos de esta definición la rotación descrita es $D(\varphi, \theta, -\varphi)$ (fig 7). Puesto que la helicidad no cambia por efecto de las rotaciones, podemos definir ahora el estado $|\vec{r}, \lambda\rangle$ como el estado obtenido efectuando una rotación $D(\varphi, \theta, -\varphi)$ sobre el estado $|\hat{z}, \lambda\rangle$

$$|\vec{r}, \lambda\rangle = D(\varphi, \theta, -\varphi) |\hat{z}, \lambda\rangle \quad (139)$$

El primer ángulo de rotación, $-\varphi$ es solamente asunto de definición, pues $D(\varphi, \theta, -\varphi)$ llevaría \hat{p}_3 a \vec{p} con cualquier valor de ψ ; el uso de valores diferentes de ψ le daría a $|\vec{p}, \lambda\rangle$ fases diferentes. La elección $\psi = -\varphi$ es la más común y también la más conveniente. Este procedimiento nos provee con una base ortonormal bien definida para los estados de una sola partícula que satisfacen

$$\langle \vec{p}', \lambda' | \vec{p}, \lambda \rangle = \delta^3(p' - p) \delta_{\lambda' \lambda} \quad (140)$$

Con estos podemos construir una base para los estados de dos partículas con los productos directos

$$|\vec{p}_1, \lambda_1\rangle \otimes |\vec{p}_2, \lambda_2\rangle \quad (141)$$

IV.7 - El desarrollo esférico. En el sistema del centro de masa se cumple que

$$\vec{p}_1 = -\vec{p}_2 \quad (142)$$

y esto nos permite encontrar una representación más simple para los estados de dos partículas. Los estados (141) están definidos mediante rotaciones independientes, una para cada partícula, en tanto que para el caso especial $\vec{p}_1 = -\vec{p}_2$ podemos definir un estado equivalente con una sola rotación.

Así pues, definimos primero un estado del movimiento relativo con el momento relativo p en la dirección de \hat{z}

$$|\vec{p}, \lambda_1, \lambda_2\rangle = |\vec{p}\rangle \otimes |s_3^{(1)} = \lambda_1\rangle \otimes |s_3^{(2)} = -\lambda_2\rangle \quad [\vec{p} = \hat{z} p] \quad (143)$$

En el marco de referencia del centro de masa (143) representa un estado en el cual la partícula 1 se mueve a lo

largo del eje o_2 con momento \vec{k} en tanto que la partícula 2 se mueve en la dirección contraria con momento $-\vec{k}$. El signo negativo en el último factor de (143) se debe a que con su momento en la dirección $-\hat{z}$, la partícula 2 tiene helicidad $-\zeta_2^{(2)}$. El estado general del movimiento relativo con momento relativo \vec{k} arbitrario se obtiene ahora mediante la rotación apropiada como

$$|\vec{k}, \lambda_1, \lambda_2\rangle = D(\varphi, \theta, -\varphi) |\vec{k}, \lambda_1, \lambda_2\rangle [|\vec{k}, \varphi\rangle] \quad (144)$$

en donde D es ahora el operador de rotación de dos partículas generado por el momento angular total de las dos partículas.

Los vectores (144) definen estados del movimiento relativo en los que las partículas tienen helicidades λ_1 y λ_2 y momento relativo \vec{k} , es decir que en el marco de referencia del centro de masa las dos partículas tienen momentos de igual magnitud y signos contrarios $\vec{k}_1 = \vec{k}$ y $\vec{k}_2 = -\vec{k}$. Están normalizados de manera que

$$\langle \vec{k}', \lambda'_1, \lambda'_2 | \vec{k}, \lambda_1, \lambda_2 \rangle = \delta^3(\vec{k}' - \vec{k}) \delta_{\lambda'_1, \lambda_1} \delta_{\lambda'_2, \lambda_2} \quad (145)$$

y nos proveen con una base ortonormal para describir el movimiento relativo.

La matriz S en la base de helicidad se puede descomponer como

$$\begin{aligned} \langle \vec{k}', \lambda'_1, \lambda'_2 | S | \vec{k}, \lambda_1, \lambda_2 \rangle &= S^3(\vec{k}', -\vec{k}) \delta_{\lambda'_1, \lambda_1} \delta_{\lambda'_2, \lambda_2} \\ &+ \frac{L}{2\pi i} \delta(E_{k'} - E_k) f(\vec{k}', \lambda'_1, \lambda'_2; \vec{k}, \lambda_1, \lambda_2) \end{aligned} \quad (146)$$

y la sección eficaz diferencial en el marco de referencia

del centro de masa para un proceso que involucra helicidades definidas es

$$\frac{d\sigma}{d\Omega} (\vec{k}', \lambda_1', \lambda_2'; \vec{k}, \lambda_1, \lambda_2) = \left| \mathcal{F}(\vec{k}', \lambda_1', \lambda_2'; \vec{k}, \lambda_1, \lambda_2) \right|^2 \quad (147)$$

IV.8 - Invariancia rotacional. Supongamos que el sistema es invariante rotacionalmente. Para aprovechar esta propiedad naturalmente usaremos una base de eigenvectores del momento angular. Es aquí donde se ve la ventaja de la base de helicidad pues los operadores $\vec{S}^{(1)} \cdot \hat{p}$ y $\vec{S}^{(2)} \cdot \hat{p}$ son escalares y por lo tanto conmutan con \vec{J} y por consiguiente podemos escoger un conjunto completo de observables que conmuten incluyendo a J^2 y J_z y las dos helicidades. Específicamente, podemos escoger una base para describir el movimiento relativo

$\{ |E, \ell, m, \lambda_1, \lambda_2\rangle \}$ y la transformación de esta base a la base del momento lineal $| \vec{k}, \lambda_1, \lambda_2 \rangle$ se puede hacer sin usar los coeficientes de Clebsch-Gordan para acoplar spines y momentos angulares orbitales.

La teoría del grupo de rotaciones muestra que los estados del momento angular se pueden expresar en función de los estados del momento lineal con la fórmula

$$|E, \ell, m, \lambda_1, \lambda_2\rangle = N \int d\Omega \mathcal{D}_{m\lambda}^{(\ell)}(\Omega) | \vec{k}, \lambda_1, \lambda_2 \rangle \quad (8) \quad (148)$$

en donde $\mathcal{D}_{m\lambda}^{(\ell)}(\varphi, \theta, -\varphi)$ son los elementos de la matriz de rotación de $(2j+1)$ dimensiones para los ángulos de Euler $(\varphi, \theta, -\varphi)$, $\lambda = \lambda_1 - \lambda_2$ y \vec{k} apunta en la dirección (θ, φ) y tiene la magnitud $\sqrt{2mE}$

Vamos a demostrar entonces la formula (148).

Demostración: Sea $|\hat{k}, \lambda\rangle$ un estado de helicidad λ y momento lineal \hat{k} . Un estado $|\vec{k}, \lambda\rangle$ en el cual el momento tiene la misma magnitud pero esta en la dirección (θ, φ) esta dado por

$$|\vec{k}, \lambda\rangle = D(\varphi, \theta, -\varphi) |\hat{k}, \lambda\rangle \quad (149)$$

Podemos descomponer en eigenestados simultaneos $|E, j, m, \lambda\rangle$ de J^2 , J^2 , y J_z como sigue:

$$|\hat{k}, \lambda\rangle = \sum_{j=|\lambda|}^{\infty} |E, j, \lambda\rangle \langle E, j, \lambda | \hat{k}, \lambda\rangle \quad (150)$$

El estado rotado se obtiene aplicando $D(\varphi, \theta, -\varphi)$ a (150)

$$D(\varphi, \theta, -\varphi) |\hat{k}, \lambda\rangle = \sum_{j=|\lambda|}^{\infty} D(\varphi, \theta, -\varphi) |E, j, \lambda\rangle \langle E, j, \lambda | \hat{k}, \lambda\rangle \quad (151)$$

descomponiendo en eigenestados $|j, m\rangle$ de J^2 y J_z y tomando en cuenta (149)

$$|\vec{k}, \lambda\rangle = \sum_{j=|\lambda|}^{\infty} \sum_{m=-j}^j \langle j, m | D(\varphi, \theta, -\varphi) |j, \lambda\rangle |E, j, m\rangle \langle E, j, \lambda | \hat{k}, \lambda\rangle$$

de donde

$$|\vec{k}, \lambda\rangle = \sum_{j=|\lambda|}^{\infty} \sum_{m=-j}^j \mathcal{D}_{m, \lambda}^{(j)}(\varphi, \theta, -\varphi) |E, j, m\rangle \langle E, j, \lambda | \hat{k}, \lambda\rangle \quad (152)$$

Esta es claramente la generalización para partículas con spin, de la descomposición en ondas esféricas de una onda plana.

Ejemplo: Si la partícula no tiene spin $\lambda = 0$, $j=1$ entonces de (152)

$$\langle \vec{r} | \vec{k} \rangle = \sum_{l=0}^{\infty} \sum_{m=-l}^l \mathcal{D}_{m, 0}^{(l)}(\varphi, \theta, -\varphi) \langle \vec{r} | E, l, m \rangle \langle E, l, 0 | \hat{k} \rangle \quad (153)$$

pero

$$\mathcal{D}_{m, 0}^{(l)}(\varphi, \theta, -\varphi) = \sqrt{\frac{4\pi}{2l+1}} Y_{lm}(\theta, \varphi)$$

y

$$\begin{aligned} \langle \vec{r} | \vec{k}, l, m \rangle &= c_{l, j, l} e^{i(kr)} Y_{lm}(\theta_r, \varphi_r) \\ \langle \vec{r} | \vec{k} \rangle &= \frac{1}{\sqrt{4\pi}} e^{i\vec{k} \cdot \vec{r}} \end{aligned}$$

haciendo estas substitutiones entonces (153) se ve como

$$\frac{1}{\sqrt{(2\pi)^3}} e^{i\vec{k}\cdot\vec{r}} = \sum_{l=0}^{\infty} \sum_{m=-l}^l C_l \int_l(kr) Y_{lm}(\theta_r, \varphi_r) \sqrt{\frac{4\pi}{2l+1}} Y_{lm}^*(\theta_k, \varphi_k) \langle E, l | \hat{\rho} \rangle$$

$$\therefore e^{i\vec{k}\cdot\vec{r}} = 2^2 \sqrt{2} \pi^2 \sum_{l=0}^{\infty} \sum_{m=-l}^l \frac{C_l \langle E, l | \hat{\rho} \rangle}{\sqrt{2l+1}} \int_l(kr) Y_{lm}(\theta_r, \varphi_r) Y_{lm}^*(\theta_k, \varphi_k) \quad (154)$$

Pero el desarrollo usual de una onda plana en ondas esféricas es

$$e^{i\vec{k}\cdot\vec{r}} = 4\pi \sum_{l=0}^{\infty} \sum_{m=-l}^l i^l \int_l(kr) Y_{lm}(\theta_r, \varphi_r) Y_{lm}^*(\theta_k, \varphi_k) \quad (155)$$

como estos desarrollos deben coincidir, entonces

$$4\pi i^l = 4\sqrt{2} \pi^2 \frac{C_l \langle E, l | \hat{\rho} \rangle}{\sqrt{2l+1}} \Rightarrow 1 = \pi \sqrt{2} C_l \frac{\langle E, l | \hat{\rho} \rangle}{i^l \sqrt{2l+1}}$$

$$1 = \pi \sqrt{\frac{2}{2l+1}} \frac{1}{i^l} C_l \langle E, l | \hat{\rho} \rangle \quad (156)$$

Para conseguir el valor explícito de C_l debemos calcular

la siguiente integral:

$$\begin{aligned} \langle E, l | \hat{\rho} \rangle &= \int \langle E, l | \vec{r} \rangle d^3r \langle \vec{r} | \hat{\rho} \rangle = \int d^3r C_l^* \int_l(kr) \sqrt{\frac{2l+1}{4\pi}} P_l(\cos\theta) e^{i\vec{k}\cdot\vec{r}} \\ &= \frac{1}{\sqrt{(2\pi)^3}} \int_0^{\infty} r^2 dr \int_0^{\pi} \sin\theta d\theta \int_0^{2\pi} d\varphi C_l^* \int_l(kr) \sqrt{\frac{2l+1}{4\pi}} P_l(\cos\theta) \sum_{l'=0}^{\infty} (2l'+1) i^{l'} \int_{l'}(kr) P_{l'}(\cos\theta) \\ &= \frac{2\pi}{\sqrt{(2\pi)^3}} C_l^* \sum_{l'=0}^{\infty} \sqrt{\frac{2l+1}{4\pi}} (2l'+1) i^{l'} \int_0^{\infty} r^2 dr \int_l(kr) \int_{l'}(kr) \int_0^{\pi} \sin\theta d\theta P_l(\cos\theta) P_{l'}(\cos\theta) \\ &= \frac{2\pi}{\sqrt{(2\pi)^3}} C_l^* \sum_{l'=0}^{\infty} i^{l'} \sqrt{\frac{2l+1}{4\pi}} (2l'+1) \int_0^{\infty} r^2 dr \int_l(kr) \int_{l'}(kr) \frac{2}{2l+1} \delta_{ll'} \\ &= \frac{2\pi}{\sqrt{(2\pi)^3}} C_l^* i^l \sqrt{\frac{2l+1}{4\pi}} (2l+1) \frac{2}{2l+1} = C_l^* \sqrt{\frac{2l+1}{2^3 \pi^2}} i^l \\ \therefore \langle E, l | \hat{\rho} \rangle &= C_l^* \sqrt{\frac{2l+1}{2^3 \pi^2}} i^l \quad (157) \end{aligned}$$

se usó la ortogonalidad de los polinomios de Legendre y

las funciones de Bessel. Sustituyendo (157) en (156)

$$1 = \pi \sqrt{\frac{2}{2\ell+1}} \frac{1}{\ell!} |c_\ell|^2 \sqrt{\frac{2\ell+1}{2^\ell \pi^\ell}} \ell^\ell \Rightarrow 1 = \frac{1}{2} |c_\ell|^2$$

$$\therefore c_\ell = \sqrt{2}$$

Los elementos de las matrices de rotación satis

facen la siguiente relación de ortogonalidad

$$\int_0^\pi \sin\theta d\theta \int_0^{2\pi} d\varphi \mathcal{D}_{m\lambda}^{(\lambda)}(\varphi, \theta, -\varphi) \mathcal{D}_{m'\lambda}^{(\lambda)}(\varphi, \theta, -\varphi) = \frac{4\pi}{2\lambda+1} \delta_{\lambda\lambda'} \delta_{mm'} \quad (158)$$

multiplicando la ec. (152) por $\mathcal{D}_{m'\lambda}^{(\lambda)}(\varphi, \theta, -\varphi)$ e integrando

$$\int_0^\pi \sin\theta d\theta \int_0^{2\pi} d\varphi \mathcal{D}_{m'\lambda}^{(\lambda)*}(\varphi, \theta, -\varphi) |\hat{r}, \lambda\rangle = \sum_{\lambda=|\lambda|}^{\infty} \sum_{m=-\lambda}^{\lambda} \int_0^\pi \sin\theta d\theta \int_0^{2\pi} d\varphi \mathcal{D}_{m\lambda}^{(\lambda)}(\varphi, \theta, -\varphi) \mathcal{D}_{m'\lambda}^{(\lambda)*}(\varphi, \theta, -\varphi) \quad |\hat{E}, \lambda, m\rangle \langle \hat{E}, \lambda, m | \hat{r}, \lambda\rangle$$

de la relación (158)

$$\int_0^\pi \sin\theta d\theta \int_0^{2\pi} d\varphi \mathcal{D}_{m'\lambda}^{(\lambda)*}(\varphi, \theta, -\varphi) |\hat{r}, \lambda\rangle = \sum_{\lambda=|\lambda|}^{\infty} \sum_{m=-\lambda}^{\lambda} |\hat{E}, \lambda, m\rangle \langle \hat{E}, \lambda, m | \hat{r}, \lambda\rangle \frac{4\pi}{2\lambda+1} \delta_{\lambda\lambda'} \delta_{mm'}$$

$$\therefore |\hat{E}, \lambda, m, \lambda\rangle = \frac{2\lambda+1}{4\pi \langle \hat{E}, \lambda, \lambda | \hat{r}, \lambda\rangle} \int_0^\pi \sin\theta d\theta \int_0^{2\pi} d\varphi \mathcal{D}_{m\lambda}^{(\lambda)*}(\varphi, \theta, -\varphi) |\hat{r}, \lambda\rangle \quad (159)$$

Demostraremos la ecuación (158), esto es:

$$\int_0^\pi \sin\theta d\theta \int_0^{2\pi} d\varphi \mathcal{D}_{m\lambda}^{(\lambda)}(\varphi, \theta, -\varphi) \mathcal{D}_{m'\lambda}^{(\lambda)*}(\varphi, \theta, -\varphi) = \frac{4\pi}{2\lambda+1} \delta_{\lambda\lambda'} \delta_{mm'} \quad (160)$$

se satisface la siguiente relación:

$$\mathcal{D}_{m'\lambda}^{(\lambda)*}(\varphi, \theta, -\varphi) = (-1)^{m'-\lambda} \mathcal{D}_{-m', -\lambda}^{(\lambda)}(\varphi, \theta, -\varphi)$$

Las matrices de rotación son dos tensores esféricos y por

consiguiente el acoplamiento de dos matrices de rotación es

$$\begin{aligned} \mathcal{D}_{m'\lambda}^{(\lambda)*}(\varphi, \theta, -\varphi) \mathcal{D}_{m\lambda}^{(\lambda)}(\varphi, \theta, -\varphi) &= (-1)^{m'-\lambda} \mathcal{D}_{-m', -\lambda}^{(\lambda)}(\varphi, \theta, -\varphi) \mathcal{D}_{m\lambda}^{(\lambda)}(\varphi, \theta, -\varphi) \\ &= \sum_{\lambda} (-1)^{m'-\lambda} \langle \lambda, \lambda, m, -m' | \lambda, m-m' \rangle \langle \lambda, \lambda, \lambda, -\lambda | \lambda, \lambda-\lambda \rangle \mathcal{D}_{m-m', \lambda-\lambda}^{(\lambda)}(\varphi, \theta, -\varphi) \\ \therefore \mathcal{D}_{m'\lambda}^{(\lambda)*}(\varphi, \theta, -\varphi) \mathcal{D}_{m\lambda}^{(\lambda)}(\varphi, \theta, -\varphi) &= \sum_{\lambda} (-1)^{m'-\lambda} \langle \lambda, \lambda, m, -m' | \lambda, m-m' \rangle \times \\ &\quad \langle \lambda, \lambda, \lambda, -\lambda | \lambda, 0 \rangle \mathcal{D}_{m-m', 0}^{(\lambda)}(\varphi, \theta, -\varphi) \end{aligned} \quad (161)$$

sustituyendo (161) en (160)

$$\begin{aligned}
& \int_0^\pi \sin \theta d\theta \int_0^{2\pi} d\varphi \sum_j (-1)^{m'-\lambda} \langle j_1 j_2 m_1 -m' | j, m-m' \rangle \langle j_1 j_2 \lambda, -\lambda | j 0 \rangle D_{m-m', 0}^{(j)}(\varphi, \theta, -\varphi) \\
&= \sum_j (-1)^{m'-\lambda} \langle j_1 j_2 m_1 -m' | j, m-m' \rangle \langle j_1 j_2 \lambda, -\lambda | j 0 \rangle \int_0^\pi \sin \theta d\theta \int_0^{2\pi} d\varphi D_{m-m', 0}^{(j)}(\varphi, \theta, -\varphi) \quad (162)
\end{aligned}$$

Ahora,

$$D_{m-m', 0}^{(j)}(\varphi, \theta, -\varphi) = e^{-i(m-m')\varphi} d_{m-m', 0}^{(j)}(\theta) e^{i\theta\varphi} = e^{-i(m-m')\varphi} d_{m-m', 0}^{(j)}(\theta)$$

$$\therefore D_{m-m', 0}^{(j)}(\varphi, \theta, -\varphi) = D_{m-m', 0}^{(j)}(\varphi, \theta)$$

por otro lado

$$D_{m-m', 0}^{(j)}(\varphi, \theta, -\varphi) = \sqrt{\frac{4\pi}{2j+1}} Y_{m-m', 0}^{(j)}(\theta, \varphi) \quad Y_0^0(\theta, \varphi) = \frac{1}{\sqrt{4\pi}}$$

La ecuación (162) puede reescribirse como

$$\begin{aligned}
& \sum_j (-1)^{m'-\lambda} \langle j_1 j_2 m_1 -m' | j, m-m' \rangle \langle j_1 j_2 \lambda, -\lambda | j 0 \rangle \times \\
& \int_0^\pi \sin \theta d\theta \int_0^{2\pi} d\varphi \sqrt{\frac{4\pi}{2j+1}} Y_{m-m', 0}^{(j)}(\theta, \varphi) \sqrt{4\pi} Y_0^0(\theta, \varphi) \\
&= 4\pi \sum_j (-1)^{m'-\lambda} \langle j_1 j_2 m_1 -m' | j, m-m' \rangle \langle j_1 j_2 \lambda, -\lambda | j 0 \rangle \frac{1}{\sqrt{4\pi}} \delta_{m-m', 0} \delta_{j, 0} \\
&= 4\pi (-1)^{m'-\lambda} \langle j_1 j_2 m_1 -m' | 0 0 \rangle \langle j_1 j_2 \lambda, -\lambda | 0 0 \rangle
\end{aligned}$$

Apliquemos la relación de simetría para los coeficientes

de Clebsch-Gordan

$$\begin{aligned}
\langle j_1 j_2 m_1 m_2 | j m \rangle &= (-1)^{j_1 - m_1} \sqrt{\frac{2j_2 + 1}{2j_2 + 1}} \langle j_1 j_2 m_1, -m_2 | j_2, -m_2 \rangle \\
\therefore \langle j_1 j_2 m_1, -m_2 | 0 0 \rangle &= (-1)^{j_1 - m_1} \sqrt{\frac{1}{2j_2 + 1}} \langle j_1, 0 m_1 | j_2 m \rangle \\
\langle j_1 j_2 \lambda, -\lambda | 0 0 \rangle &= (-1)^{j_1 - \lambda} \sqrt{\frac{1}{2j_2 + 1}} \langle j_1, 0 \lambda | j_2 \lambda \rangle
\end{aligned}$$

de tal modo que:

$$\langle j_1 j_2 m_1, -m_2 | 0, m-m' \rangle \langle j_1 j_2 \lambda, -\lambda | 0 0 \rangle = (-1)^{2j_1 - m - \lambda} \frac{1}{2j_2 + 1} \langle j_1, 0 m_1, m_1 - m_2 | j_2 m \rangle \times \langle j_1, 0 \lambda | j_2 \lambda \rangle$$

los Clebsch-Gordan tienen la siguiente propiedad

$$\langle f_1 0 m_1 | f_2 m \rangle = \delta_{f_1 f_2} \delta_{m_1 m}$$

$$\therefore \langle f_1 0 \lambda | f_2 \lambda \rangle = \delta_{f_1 f_2} \delta_{\lambda \lambda} \quad y$$

$$\langle f_1 0 m' | f_2 m \rangle = \delta_{f_1 f_2} \delta_{m' m} \quad Y$$

de donde

$$\begin{aligned} 4\pi (-i)^{m-\lambda} \langle f_1 f_2 m', -m | 0 0 \rangle \langle f_1 f_2 \lambda, -\lambda | 0 0 \rangle &= \\ = 4\pi (-i)^{m-\lambda} (-i)^{f_1-m'} (-i)^{f_2-\lambda} \frac{1}{2^{f_2+1}} \delta_{f_1 f_2} \delta_{m' m} & \\ \therefore \int_0^\pi \sin \theta d\theta \int_0^{2\pi} d\varphi \mathcal{D}_{m\lambda}^{(f_1)}(\varphi, \theta, -\varphi) \mathcal{D}_{m'\lambda}^{(f_2)*}(\varphi, \theta, -\varphi) &= \frac{4\pi}{2^{f_2+1}} \delta_{f_1 f_2} \delta_{m' m} \end{aligned} \quad (163)$$

De la ecuación (152)

$$|\vec{k}', \lambda\rangle = \sum_{f'=1}^{\infty} \sum_{m'=-f'}^{f'} \mathcal{D}_{m\lambda}^{(f')}(\hat{n}') |\vec{k}, f m \lambda\rangle \langle \vec{k}, f \lambda | \vec{k}', \lambda \rangle \quad (164)$$

de donde obviamente

$$\langle \vec{k}', \lambda' | = \sum_{f'=1}^{\infty} \sum_{m'=-f'}^{f'} \langle \vec{k}, f m \lambda | \mathcal{D}_{m'\lambda'}^{(f')}(\hat{n}') \langle \vec{k}', \lambda' | \vec{k}, f \lambda \rangle \quad (165)$$

Los eigenestados del momento satisfacen la relación de ortonormalización usual

$$\langle \vec{k}', \lambda' | \vec{k}, \lambda \rangle = \frac{\delta(\vec{k}-\vec{k}')}{k k'} \frac{\delta(\theta_r - \theta_r')}{\sin \theta_r} \delta(\varphi_r - \varphi_r')$$

y además

$$\langle \vec{k}, f m \lambda | \vec{k}', f' m' \lambda' \rangle = \frac{\delta(\vec{k}-\vec{k}')}{k k'} \delta_{f f'} \delta_{m m'} \delta_{\lambda \lambda'}$$

de (164) y (165)

$$\begin{aligned} \langle \vec{k}', \lambda' | \vec{k}, \lambda \rangle &= \sum_{f'=1}^{\infty} \sum_{m'=-f'}^{f'} \sum_{f=1}^{\infty} \sum_{m=-f}^{f} \langle \vec{k}', f' m' \lambda' | \vec{k}, f m \lambda \rangle \\ \mathcal{D}_{m'\lambda'}^{(f')}(\hat{n}') \mathcal{D}_{m\lambda}^{(f)}(\hat{n}) \langle \vec{k}, f \lambda | \vec{k}, \lambda \rangle \langle \vec{k}, \lambda' | \vec{k}, f' \lambda' \rangle & \\ \langle \vec{k}', \lambda' | \vec{k}, \lambda \rangle &= \sum_{f' m' f m} \frac{\delta(\vec{k}-\vec{k}')}{k k'} \delta_{f f'} \delta_{m m'} \delta_{\lambda \lambda'} \mathcal{D}_{m'\lambda'}^{(f')}(\hat{n}') \mathcal{D}_{m\lambda}^{(f)}(\hat{n}) \\ &\quad \langle \vec{k}, f \lambda | \vec{k}, \lambda \rangle \langle \vec{k}, \lambda' | \vec{k}', f' \lambda' \rangle \\ \frac{\delta(\vec{k}-\vec{k}')}{k k'} \frac{\delta(\theta_r - \theta_r')}{\sin \theta_r} \delta(\varphi_r - \varphi_r') &= \sum_{f m} \langle \vec{k}, f \lambda | \vec{k}, \lambda \rangle \langle \vec{k}, \lambda' | \vec{k}, f \lambda \rangle \times \\ &\quad \times \mathcal{D}_{m\lambda}^{(f)*}(\hat{n}') \mathcal{D}_{m\lambda}^{(f)}(\hat{n}) \frac{\delta(\vec{k}-\vec{k}')}{k k'} \\ \sum_{f m} \langle \vec{k}, f \lambda | \vec{k}, \lambda \rangle \langle \vec{k}, \lambda' | \vec{k}, f \lambda \rangle & \mathcal{D}_{m\lambda}^{(f)*}(\hat{n}') \mathcal{D}_{m\lambda}^{(f)}(\hat{n}) = \frac{\delta(\vec{k}-\vec{k}')}{k k'} \quad (166) \\ &= \frac{\delta(\theta_r - \theta_r')}{\sin \theta_r} \delta(\varphi_r - \varphi_r') \end{aligned}$$

pero $\langle \vec{p}, j, \lambda | \vec{p}^3, \lambda \rangle = \frac{2j+1}{4\pi N}$ y N puede evaluarse

de la siguiente manera:

$$\begin{aligned}
 | \vec{p}, j, m, \lambda \rangle &= N \int d\hat{n} D_{m\lambda}^{(j)}(\hat{n})^* | \vec{p}, \hat{n}, \lambda \rangle \\
 \therefore \langle \vec{p}', j, m', \lambda' | &= N^* \int d\hat{n}' D_{m'\lambda'}^{(j)}(\hat{n}') \langle \vec{p}', \hat{n}', \lambda' | \\
 \langle \vec{p}', j, m', \lambda' | \vec{p}, j, m, \lambda \rangle &= |N|^2 \int d\hat{n} d\hat{n}' D_{m\lambda}^{(j)}(\hat{n})^* D_{m'\lambda'}^{(j)}(\hat{n}') \langle \vec{p}', \hat{n}', \lambda' | \vec{p}, \hat{n}, \lambda \rangle \\
 \frac{\delta(\vec{p}-\vec{p}')}{4\pi 4\pi'} \delta_{jj'} \delta_{mm'} \delta_{\lambda\lambda'} &= |N|^2 \int d\hat{n} d\hat{n}' D_{m\lambda}^{(j)}(\hat{n})^* D_{m'\lambda'}^{(j)}(\hat{n}') \frac{\delta(\vec{p}-\vec{p}')}{4\pi 4\pi'} \delta(\hat{n}-\hat{n}') \delta_{\lambda\lambda'} \\
 \therefore \int d\hat{n} D_{m\lambda}^{(j)*}(\hat{n}) D_{m'\lambda'}^{(j)}(\hat{n}) &= \frac{1}{N^2} \delta_{jj'} \delta_{mm'}
 \end{aligned}$$

comparando con la ecuación (160) entonces $N = \sqrt{\frac{2j+1}{4\pi}}$

de tal modo que

$$\langle \vec{p}, j, \lambda | \vec{p}^3, \lambda \rangle \langle \vec{p}^3, \lambda | \vec{p}, j, \lambda \rangle = \left(\frac{2j+1}{4\pi N} \right)^2 = \left(\frac{2j+1}{4\pi} \right)^2 \frac{1}{\frac{2j+1}{4\pi}} = \frac{2j+1}{4\pi}$$

La ecuación (166) nos queda entonces:

$$\sum_{j=|\lambda_1|}^{\infty} \sum_{m=-j}^j \frac{2j+1}{4\pi} D_{m\lambda}^{(j)*}(\varphi_r', \theta_r', -\varphi_r') D_{m\lambda}^{(j)}(\varphi_r, \theta_r, -\varphi_r) = \frac{\delta(\theta_r - \theta_r') \delta(\varphi_r - \varphi_r')}{\rho \sin \theta_r} \quad (167)$$

Teorema

$|E, j, m, \lambda_1, \lambda_2\rangle$ es un eigenvector de la energía, el momento angular total y las dos helicidades. Está normalizado de tal modo que

$$\langle E', j', m', \lambda_1', \lambda_2' | E, j, m, \lambda_1, \lambda_2 \rangle = \delta(E'-E) \delta_{jj'} \delta_{mm'} \delta_{\lambda_1 \lambda_1'} \delta_{\lambda_2 \lambda_2'}$$

Teorema 1

El ket $|E, j, m, \lambda_1, \lambda_2\rangle$ es un eigenvector de la energía.

Prueba: Nuestro ket se puede escribir como

$$|k, j, m, \lambda_1, \lambda_2\rangle = |k\rangle \otimes |j, m, \lambda_1, \lambda_2\rangle$$

Entonces si aplicamos el operador P^z tenemos

$$P^z |k, j, m, \lambda_1, \lambda_2\rangle = K^z |k\rangle \otimes |j, m, \lambda_1, \lambda_2\rangle$$

de donde

$$P^z |k, j, m, \lambda_1, \lambda_2\rangle = K^z |k, j, m, \lambda_1, \lambda_2\rangle$$

Por otro lado, veamos si

$$|k, j, m, \lambda_1, \lambda_2\rangle = \sqrt{\frac{2j+1}{4\pi}} \int d\Omega_k \mathcal{D}_{m\lambda}^{(j)*}(\Omega_k) |\vec{k}, \lambda_1, \lambda_2\rangle$$

es un eigenvector de la energía

$$P^z |k, j, m, \lambda_1, \lambda_2\rangle = \sqrt{\frac{2j+1}{4\pi}} P^z \int d\Omega_k \mathcal{D}_{m\lambda}^{(j)*}(\Omega_k) |\vec{k}, \lambda_1, \lambda_2\rangle$$

ya que P^z es un escalar entonces

$$[P^z, D(\varphi, \theta, -\varphi)] = 0$$

de donde

$$P^z |k, j, m, \lambda_1, \lambda_2\rangle = \sqrt{\frac{2j+1}{4\pi}} K^z \int d\Omega_k \mathcal{D}_{m\lambda}^{(j)*}(\Omega_k) |\vec{k}, \lambda_1, \lambda_2\rangle$$

lo cual nos dice que $|k, j, m, \lambda_1, \lambda_2\rangle$ es una combinación lineal de eigenestados de P^z

Teorema 2

$|k, j, m, \lambda_1, \lambda_2\rangle$ son eigenestados de J^z y J_z

Prueba: Para probar lo anterior es conveniente escribir

$$|k, j, m, \lambda_1, \lambda_2\rangle = \sqrt{\frac{2j+1}{4\pi}} \int d\Omega_k \mathcal{D}_{m\lambda}^{(j)*}(\Omega_k) |\vec{k}, \lambda_1, \lambda_2\rangle$$

que puede también escribirse como

$$|k, j, m, \lambda_1, \lambda_2\rangle = \sqrt{\frac{2j+1}{4\pi}} \int_0^{2\pi} d\varphi_k \int_0^\pi \rho \sin\theta_k d\theta_k \mathcal{D}_{m\lambda}^{(j)*}(\varphi_k, \theta_k, -\varphi_k) \times D(\varphi_k, \theta_k, -\varphi_k) |k, \lambda_1, \lambda_2\rangle \quad (25)$$

Esta integral es precisamente el operador de proyección

de Wigner y tiene la siguiente propiedad

$$\int_m^j \hat{J}_m(\lambda) = \sqrt{\frac{2j+1}{4\pi}} \int_0^{2\pi} d\varphi_k \int_0^\pi \rho \sin\theta_k d\theta_k \mathcal{D}_{m\lambda}^{(j)*}(\varphi_k, \theta_k, -\varphi_k) D(\varphi_k, \theta_k, -\varphi_k) |k, \lambda_1, \lambda_2\rangle$$

Demostraremos ahora que $\int_m^j(\lambda)$ portan representaciones

irreducibles de $S_0(\mathfrak{z})$

Si multiplicamos la relación anterior por $D(\Omega')$

se tiene:

$$D(\Omega') f_m^{(\mathfrak{z})}(\lambda) = \sqrt{\frac{2\mathfrak{z}+1}{4\pi}} D(\Omega') \int d\Omega_p \mathcal{D}_{m\lambda}^{(\mathfrak{z})*}(\Omega_p) D(\Omega_p) |p, \hat{\mathfrak{z}}, \lambda_1, \lambda_2\rangle$$

la cual se puede reescribir como

$$D(\Omega') f_m^{(\mathfrak{z})}(\lambda) = \sqrt{\frac{2\mathfrak{z}+1}{4\pi}} \int d\Omega_p \mathcal{D}_{m\lambda}^{(\mathfrak{z})*}(\Omega_p) D(\Omega' \Omega_p) |p, \hat{\mathfrak{z}}, \lambda_1, \lambda_2\rangle$$

donde se usó la definición de representación

$$D(\Omega') D(\Omega_p) = D(\Omega' \Omega_p)$$

Ahora:

$$\mathcal{D}_{m\lambda}^{(\mathfrak{z})*}(\Omega'^{-1} \Omega' \Omega_p) = \sum_{\nu} \mathcal{D}_{m\nu}^{(\mathfrak{z})*}(\Omega'^{-1}) \mathcal{D}_{\nu\lambda}^{(\mathfrak{z})*}(\Omega' \Omega_p)$$

la expresión anterior nos queda entonces como

$$D(\Omega') f_m^{(\mathfrak{z})}(\lambda) = \sqrt{\frac{2\mathfrak{z}+1}{4\pi}} \int d\Omega_p \sum_{\nu} \mathcal{D}_{m\nu}^{(\mathfrak{z})*}(\Omega'^{-1}) \mathcal{D}_{\nu\lambda}^{(\mathfrak{z})*}(\Omega' \Omega_p) D(\Omega' \Omega_p) |p, \hat{\mathfrak{z}}, \lambda_1, \lambda_2\rangle$$

$$D(\Omega') f_m^{(\mathfrak{z})}(\lambda) = \sqrt{\frac{2\mathfrak{z}+1}{4\pi}} \sum_{\nu} \mathcal{D}_{m\nu}^{(\mathfrak{z})*}(\Omega'^{-1}) \int d\Omega_p \mathcal{D}_{\nu\lambda}^{(\mathfrak{z})*}(\Omega' \Omega_p) D(\Omega' \Omega_p) \times |p, \hat{\mathfrak{z}}, \lambda_1, \lambda_2\rangle$$

pero la integral invariante del grupo de rotaciones es

por definición

$$\int d\Omega_p \mathcal{D}_{m\lambda}^{(\mathfrak{z})*}(\Omega_p) D(\Omega_p) = \int d\Omega_p \mathcal{D}_{m\lambda}^{(\mathfrak{z})*}(\Omega' \Omega_p) D(\Omega' \Omega_p)$$

tomando en cuenta este hecho entonces la relación anterior nos queda

$$D(\Omega') f_m^{(\mathfrak{z})}(\lambda) = \sum_{\nu} \mathcal{D}_{m\nu}^{(\mathfrak{z})*}(\Omega'^{-1}) f_{\nu}^{(\mathfrak{z})}(\lambda)$$

ya que

$$\mathcal{D}_{m\nu}^{(\mathfrak{z})*}(\Omega'^{-1}) = \mathcal{D}_{\nu m}^{(\mathfrak{z})}(\Omega')$$

entonces

$$D(\Omega') f_m^{(\mathfrak{z})}(\lambda) = \sum_{\nu} \mathcal{D}_{\nu m}^{(\mathfrak{z})}(\Omega') f_{\nu}^{(\mathfrak{z})}(\lambda) \quad (168)$$

de donde concluimos que $|\ell_1, \ell_2, m, \lambda_1, \lambda_2\rangle$ es un eigenestado de J^2 y J_z

Los estados $|\ell_1, \ell_2, m, \lambda_1, \lambda_2\rangle$ son eigenestados de $\vec{S}_1 \cdot \hat{\ell}_1$ y $\vec{S}_2 \cdot \hat{\ell}_2$

$$\begin{aligned} \therefore \vec{S}_1 \cdot \hat{\ell}_1 |\ell_1, \ell_2, m, \lambda_1, \lambda_2\rangle &= \lambda_1 |\ell_1, \ell_2, m, \lambda_1, \lambda_2\rangle \\ \vec{S}_2 \cdot \hat{\ell}_2 |\ell_1, \ell_2, m, \lambda_1, \lambda_2\rangle &= \lambda_2 |\ell_1, \ell_2, m, \lambda_1, \lambda_2\rangle \end{aligned} \quad Y$$

Los elementos de la matriz de transformación que lleva de la base $\{|\vec{\ell}_1, \mu_1, \mu_2\rangle\}$ del momento lineal $\vec{\ell}_1$ y helicidad μ_1, μ_2 a la base $\{|\ell_1, \ell_2, m, \lambda_1, \lambda_2\rangle\}$ son:

$$\langle \vec{\ell}_1, \mu_1, \mu_2 | \vec{\ell}_1, \ell_2, m, \lambda_1, \lambda_2 \rangle = \frac{\delta(\ell_1, \mu_1)}{\ell_1 \mu_1} \delta_{\mu_1, \lambda_1} \delta_{\mu_2, \lambda_2} \sqrt{\frac{2\ell_2+1}{4\pi}} D_{m, \lambda}^{(\ell_2)*}(\varphi, \theta, -\varphi)$$

En el caso particular en el cual las partículas no tienen

spin $\lambda=0$ y $\ell = \ell$

$$Y_{\ell}^m(\theta, \varphi) = \sqrt{\frac{2\ell+1}{4\pi}} D_{m, 0}^{\ell*}(\varphi, \theta, -\varphi) \quad (169)$$

y el resultado anterior se reduce a

$$\langle \ell_1 | E, \ell, m \rangle = \delta(E_{\ell_1} - E) Y_{\ell}^m(\theta, \varphi) \quad (170)$$

IV.9 - Relación entre el formalismo de los armónicos esféricos vectoriales y el formalismo de helicidad

Hemos definido los estados de dos partículas en el sistema del centro de masa que se transforman de acuerdo con las representaciones irreducibles del grupo de rotaciones.

Estos son:

$$|\ell_1, m_1; \lambda_1, \lambda_2; Y\rangle \otimes |\ell_2\rangle \quad (171)$$

en donde

$$|\ell_1, m_1; \lambda_1, \lambda_2; Y\rangle$$

es un estado de helicidad de dos partículas.

El esquema L S

Consideremos ahora la base alternativa

$$\{ |j m_j; L S; Y\rangle \}$$

en donde L y S denotan los números cuánticos del momento angular relativo y el spin total de las partículas respectivamente

$$S = s_1 + s_2, \quad s_1 + s_2 - 1, \dots, |s_1 - s_2|$$

$$L = j + s, \quad j + s - 1, \dots, |j - s|$$

en donde s_1 y s_2 son los spines de las dos partículas.

Acoplando el momento angular con el spin total

$$|j m_j; L S; Y\rangle = \sum_{m_1 m_2} \langle L S m_1 m_2 | j m_j \rangle \langle s_1 s_2 m_1 m_2 | S Y \rangle |L M_L; m_1 m_2; Y\rangle$$

en donde el estado $|L M_L; m_1 m_2; Y\rangle$ describe a las dos partículas en el sistema del centro de masa en un estado de momento angular relativo L, M_L con componentes de los spines m_1, m_2 en la dirección del eje \hat{z}

A partir de la relación (148) podemos expresar los eigenestados del momento angular orbital en función de estados de ondas planas $|\vec{k}, m_1, m_2\rangle$ en los que los spines de las partículas están cuantizados en la dirección del eje \hat{z}

$$|L M_L; m_1 m_2\rangle = \sqrt{\frac{2L+1}{4\pi}} \int d\Omega D_{M_L, 0}^{(L)*} |\vec{k}, m_1 m_2\rangle \quad (172)$$

La relación entre los estados $|j m_j; L S; Y\rangle$ del acoplamiento LS y los estados $|j m_j; \lambda_1 \lambda_2; Y\rangle$ se obtiene de la relación entre los estados que representan ondas planas $|\vec{k}; m_1 m_2\rangle$ y $|\vec{k}; \lambda_1 \lambda_2\rangle$

Para el estado de helicidad de una sola partícula

teníamos

$$|\vec{p}, \lambda\rangle = \sum_{m_s} \mathcal{D}_{m_s \lambda}^{(s)}(\Omega) |\vec{p}, m_s\rangle$$

en donde m_s es la componente del spin en la dirección $\hat{3}$

$\mathcal{D}(\varphi, \theta, \psi)$ denota la rotación caracterizada por los ángulos de Euler $(\varphi, \theta, -\varphi)$ en donde (θ, φ) son los ángulos polares de \vec{p}

Teníamos:

$$|\vec{p}, m; \lambda_1, \lambda_2; \chi\rangle = \sqrt{\frac{2j+1}{4\pi}} \int d\Omega \mathcal{D}_{m\lambda}^{(j)*}(\Omega) |\vec{p}; \lambda_1, \lambda_2\rangle$$

que se puede reescribir como

$$|\vec{p}, m; \lambda_1, \lambda_2; \chi\rangle = \sqrt{\frac{2j+1}{4\pi}} \sum_{m_1, m_2} \int d\Omega \mathcal{D}_{m\lambda}^{(j)*}(\Omega) \mathcal{D}_{m_1 \lambda_1}^{(s_1)}(\Omega) \mathcal{D}_{m_2 -\lambda_2}^{(s_2)}(\Omega) |\vec{p}; m_1, m_2\rangle \quad (173)$$

El producto de dos matrices de rotación es

$$\mathcal{D}_{m'_1 m_1}^{(j_1)}(\Omega) \mathcal{D}_{m'_2 m_2}^{(j_2)}(\Omega) = \sum_j \langle j_1 j_2 m_1 m_2 | j, m_1 + m_2 \rangle \langle j_1 j_2 m'_1 m'_2 | j, m'_1 + m'_2 \rangle \mathcal{D}_{m'_1 + m'_2, m_1 + m_2}^{(j)}(\Omega) \quad (174)$$

Vamos a demostrar que

$$\mathcal{D}_{m\lambda}^{(j)*}(\Omega) \mathcal{D}_{m_1 \lambda_1}^{(s_1)}(\Omega) \mathcal{D}_{m_2 -\lambda_2}^{(s_2)}(\Omega) = \sum_{L, S} \langle L S 0 \lambda | j \lambda \rangle \langle S_1 S_2 \lambda_1, -\lambda_2 | S \lambda \rangle \langle L S M_L M_S | j m \rangle \langle S_1 S_2 m_1 m_2 | S M_S \rangle \mathcal{D}_{M_L, 0}^{(L)}(\Omega)$$

Acoplemos $\mathcal{D}_{m_1 \lambda_1}^{(s_1)}(\Omega)$ y $\mathcal{D}_{m_2 -\lambda_2}^{(s_2)}(\Omega)$ usemos (174)

$$\mathcal{D}_{m_1 \lambda_1}^{(s_1)}(\Omega) \mathcal{D}_{m_2 -\lambda_2}^{(s_2)}(\Omega) = \sum_S \langle S_1 S_2 m_1 m_2 | S M_S \rangle \langle S_1 S_2 \lambda_1, -\lambda_2 | S \lambda \rangle \mathcal{D}_{M_S, \lambda}^{(S)}(\Omega) \quad (175)$$

acoplemos $\mathcal{D}_{m\lambda}^{(j)*}(\Omega)$ a (175)

$$\mathcal{D}_{m\lambda}^{(j)*}(\Omega) \mathcal{D}_{m_1 \lambda_1}^{(s_1)}(\Omega) \mathcal{D}_{m_2 -\lambda_2}^{(s_2)}(\Omega) = \sum_S \langle S_1 S_2 m_1 m_2 | S M_S \rangle \langle S_1 S_2 \lambda_1, -\lambda_2 | S \lambda \rangle \mathcal{D}_{m\lambda}^{(j)*}(\Omega) \mathcal{D}_{M_S, \lambda}^{(S)}(\Omega)$$

tomando en cuenta que $\mathcal{D}_{m\lambda}^{(j)*}(\Omega) = (-1)^{m-\lambda} \mathcal{D}_{-m, -\lambda}^{(j)}(\Omega)$ la relación

anterior nos queda

$$\begin{aligned} \mathcal{D}_{m\lambda}^{(j)*}(\Omega) \mathcal{D}_{m_1 \lambda_1}^{(s_1)}(\Omega) \mathcal{D}_{m_2 -\lambda_2}^{(s_2)}(\Omega) &= \sum_S \langle S_1 S_2 m_1 m_2 | S M_S \rangle \langle S_1 S_2 \lambda_1, -\lambda_2 | S \lambda \rangle (-1)^{m-\lambda} \\ &\quad \mathcal{D}_{-m, -\lambda}^{(j)}(\Omega) \mathcal{D}_{M_S, \lambda}^{(S)}(\Omega) \\ &= \sum_{L, S} (-1)^{m-\lambda} \langle S_1 S_2 m_1 m_2 | S M_S \rangle \langle S_1 S_2 \lambda_1, -\lambda_2 | S \lambda \rangle \langle j S, -m M_S | L M \rangle \langle j S, -\lambda \lambda | L 0 \rangle \mathcal{D}_{M, 0}^{(L)}(\Omega) \quad (176) \end{aligned}$$

Aplicando la siguiente relación de simetría de los Clebsch-Gordan

$$\langle j_1 j_2 m_1 m_2 | j_3 m_3 \rangle = (-1)^{j_2+m_2} \sqrt{\frac{2j_3+1}{2j_1+1}} \langle j_3 j_2, -m_3 m_2 | j_1, -m_1 \rangle$$

entonces

$$\langle j_3, -m, M_S | L \bar{M} \rangle = (-1)^{S+M_S} \sqrt{\frac{2L+1}{2j+1}} \langle L S, -\bar{M} M_S | j m \rangle \quad (177)$$

$$\langle j_3, -\lambda, \lambda | L 0 \rangle = (-1)^{S+\lambda} \sqrt{\frac{2L+1}{2j+1}} \langle L S 0 \lambda | j \lambda \rangle \quad (178)$$

sustituyendo (177) y (178) en (176)

$$\begin{aligned} \mathcal{D}_{m\lambda}^{(j)*}(\Omega) \mathcal{D}_{m_1 \lambda_1}^{(s_1)}(\Omega) \mathcal{D}_{m_2, -\lambda_2}^{(s_2)}(\Omega) &= \sum_{LS} (-1)^{m-\lambda} (-1)^{S+M_S} (-1)^{S+\lambda} \\ &\langle S_1 S_2 m_1 m_2 | S M_S \rangle \langle S_1 S_2 \lambda_1, -\lambda_2 | S \lambda \rangle \sqrt{\frac{2L+1}{2j+1}} \sqrt{\frac{2L+1}{2j+1}} \langle L S, -\bar{M} M_S | j m \rangle \langle L S 0 \lambda | j \lambda \rangle \\ &\times \mathcal{D}_{\bar{M}, 0}^{(L)}(\Omega) \end{aligned}$$

llamando $-\bar{M} = M_L$

$$\begin{aligned} \mathcal{D}_{m\lambda}^{(j)*}(\Omega) \mathcal{D}_{m_1 \lambda_1}^{(s_1)}(\Omega) \mathcal{D}_{m_2, -\lambda_2}^{(s_2)}(\Omega) &= \sum_{LS} (-1)^{m-\lambda} (-1)^{S+M_S} (-1)^{S+\lambda} \langle S_1 S_2 m_1 m_2 | S M_S \rangle \\ &\langle S_1 S_2 \lambda_1, -\lambda_2 | S \lambda \rangle \langle L S M_L M_S | j m \rangle \langle L S 0 \lambda | j \lambda \rangle \frac{2L+1}{2j+1} \mathcal{D}_{-M_L, 0}^{(L)}(\Omega) \\ \mathcal{D}_{m\lambda}^{(j)*}(\Omega) \mathcal{D}_{m_1 \lambda_1}^{(s_1)}(\Omega) \mathcal{D}_{m_2, -\lambda_2}^{(s_2)}(\Omega) &= \sum_{LS} (-1)^{m-\lambda} (-1)^{S+M_S} (-1)^{S+\lambda} \frac{2L+1}{2j+1} \\ &\langle S_1 S_2 m_1 m_2 | S M_S \rangle \langle S_1 S_2 \lambda_1, -\lambda_2 | S \lambda \rangle \langle L S M_L M_S | j m \rangle \langle L S 0 \lambda | j \lambda \rangle \mathcal{D}_{-M_L, 0}^{(L)}(\Omega) \end{aligned}$$

$$\text{ya que } (-1)^{M_L} \mathcal{D}_{-M_L, 0}^{(L)}(\Omega) = \mathcal{D}_{M_L, 0}^{(L)*}(\Omega)$$

$$\begin{aligned} \mathcal{D}_{m\lambda}^{(j)*}(\Omega) \mathcal{D}_{m_1 \lambda_1}^{(s_1)}(\Omega) \mathcal{D}_{m_2, -\lambda_2}^{(s_2)}(\Omega) &= \sum_{LS} (-1)^{2S} \frac{2L+1}{2j+1} \langle S_1 S_2 m_1 m_2 | S M_S \rangle \\ &\langle S_1 S_2 \lambda_1, -\lambda_2 | S \lambda \rangle \langle L S M_L M_S | j m \rangle \langle L S 0 \lambda | j \lambda \rangle \mathcal{D}_{M_L, 0}^{(L)*}(\Omega) \end{aligned}$$

$$\begin{aligned} \therefore \mathcal{D}_{m\lambda}^{(j)}(\Omega) \mathcal{D}_{m_1 \lambda_1}^{(s_1)}(\Omega) \mathcal{D}_{m_2, -\lambda_2}^{(s_2)}(\Omega) &= \sum_{LS} \frac{2L+1}{2j+1} \langle S_1 S_2 m_1 m_2 | S M_S \rangle \\ &\langle S_1 S_2 \lambda_1, -\lambda_2 | S \lambda \rangle \langle L S M_L M_S | j m \rangle \langle L S 0 \lambda | j \lambda \rangle \mathcal{D}_{M_L, 0}^{(L)*}(\Omega) \end{aligned} \quad (179)$$

con esta relación (173) se ve como:

$$\begin{aligned} | j m; \lambda_1 \lambda_2; \chi \rangle &= \sqrt{\frac{2j+1}{4\pi}} \sum_{m_1 m_2 LS} \frac{2L+1}{2j+1} \langle L S 0 \lambda | j \lambda \rangle \langle S_1 S_2 \lambda_1, -\lambda_2 | S \lambda \rangle \\ &\langle L S M_L M_S | j m \rangle \langle S_1 S_2 m_1 m_2 | S M_S \rangle \int d\Omega \mathcal{D}_{M_L, 0}^{(L)*}(\Omega) | \rho_1^j, m_1 m_2 \rangle \end{aligned}$$

Pero según (172)

$$|LML; m_1 m_2\rangle = \sqrt{\frac{2L+1}{4\pi}} \int d\Omega D_{ML,0}^{(L)*}(\Omega) |j, m_1 m_2\rangle$$

sustituyendo en la relación anterior

$$|j m; \lambda_1 \lambda_2; Y\rangle = \sqrt{\frac{2j+1}{4\pi}} \sum_{m_1 m_2 LS} \frac{2L+1}{2j+1} \langle LS0\lambda | j\lambda\rangle \langle S_1 S_2 \lambda_1, -\lambda_2 | S\lambda\rangle$$

$$\langle LSML S_0 | j m\rangle \langle S_1 S_2 m_1 m_2 | S S_0\rangle \sqrt{\frac{4\pi}{2L+1}} |LML; m_1 m_2\rangle$$

$$|j m; \lambda_1 \lambda_2; Y\rangle = \sum_{m_1 m_2 LS} \sqrt{\frac{2L+1}{2j+1}} \langle LS0\lambda | j\lambda\rangle \langle S_1 S_2 \lambda_1, -\lambda_2 | S\lambda\rangle$$

$$\langle LSML S_0 | j m\rangle \langle S_1 S_2 m_1 m_2 | S S_0\rangle |LML; m_1 m_2 Y\rangle$$

Pero

$$|j m; LS; Y\rangle = \sum_{m_1 m_2} \langle LSML S_0 | j m\rangle \langle S_1 S_2 m_1 m_2 | S S_0\rangle |LML; m_1 m_2 Y\rangle$$

entonces, finalmente

$$|j m; \lambda_1 \lambda_2; Y\rangle = \sum_{LS} \sqrt{\frac{2L+1}{2j+1}} \langle LS0\lambda | j\lambda\rangle \langle S_1 S_2 \lambda_1, -\lambda_2 | S\lambda\rangle |j m; LS; Y\rangle$$

De aquí, por inspección obtenemos la matriz que relaciona

los estados de helicidad y j definidos, con los estados en

el acoplamiento LS

$$\langle j m; LS; Y | j m; \lambda_1 \lambda_2; Y\rangle = \sqrt{\frac{2L+1}{2j+1}} \langle LS0\lambda | j\lambda\rangle \langle S_1 S_2 \lambda_1, -\lambda_2 | S\lambda\rangle \quad (180)$$

CAPITULO V

V.1 - Los desarrollos de las amplitudes de dispersión para partículas con spin en la base esférica

Hemos encontrado que la matriz de transformación entre la base de momento lineal y helicidad $\{ |k, \mu_1, \mu_2 \rangle \}$ y la base del momento angular y helicidad $\{ |k, j, m, \lambda_1, \lambda_2 \rangle \}$

es:

$$\langle \vec{k}, \mu_1, \mu_2 | E, j, m, \lambda_1, \lambda_2 \rangle = \frac{1}{\sqrt{m k}} \delta(E k - E) \delta_{\mu_1 \lambda_1} \delta_{\mu_2 \lambda_2} \sqrt{\frac{2j+1}{4\pi}} D_{m \lambda}^{(j)*}(\vartheta, 0, -\varphi)$$

Con ayuda de esta matriz podemos aprovechar la invariancia rotacional de S para encontrar el desarrollo esférico de la amplitud de dispersión. En la base de momento angular la matriz S es diagonal respecto de E, j y m y por consiguiente tiene la forma

$$\langle E', j', m', \lambda'_1, \lambda'_2 | S | E, j, m, \lambda_1, \lambda_2 \rangle = \delta(E' - E) \delta_{j' j} \delta_{m' m} S_{\lambda'_1, \lambda'_2, \lambda_1, \lambda_2}^{(E)} \quad (180a)$$

esto significa que la matriz de colisiones para E, j y m dados, está determinada por una matriz unitaria $S^{(E)}$ cuyos renglones y columnas llevan como etiqueta las helicidades de los estados final e inicial (λ'_1, λ'_2) y (λ_1, λ_2) . Introducimos la amplitud de las ondas parciales como es costumbre

$$S_{\lambda'_1, \lambda'_2, \lambda_1, \lambda_2}^{(E)} = \frac{S_{\lambda'_1, \lambda'_2, \lambda_1, \lambda_2}^{(E)} - 1}{2i k} \quad (181)$$

y la amplitud total se puede expresar ahora en función de las amplitudes de las ondas parciales de una manera análoga al caso de partículas sin spin

$$\langle \vec{p}', \lambda'_1, \lambda'_2 | (S-1) | \vec{p}, \lambda_1, \lambda_2 \rangle = \frac{i}{2\pi m} \delta(E_{p'} - E_p) \{ \vec{p}'_1, \lambda'_1, \lambda'_2; \vec{p}, \lambda_1, \lambda_2 \} \quad (182)$$

Ahora introduciremos una unidad descompuesta con ayuda del conjunto completo $\{ | E, j, m, \lambda_1, \lambda_2 \rangle \}$ antes y despues del factor $(S-1)$ en el lado derecho de (182)

$$\begin{aligned} & \sum_{j, m} | E, j, m, \mu_1, \mu_2 \rangle \langle E, j, m, \mu_1, \mu_2 | = 1 \\ & \langle \vec{p}', \lambda'_1, \lambda'_2 | (S-1) | \vec{p}, \lambda_1, \lambda_2 \rangle = \\ & \sum_{j'' m''} \sum_{j m} \langle \vec{p}', \lambda'_1, \lambda'_2 | E'', j'', m'', \mu_1'', \mu_2'' \rangle \langle E'', j'', m'', \mu_1'', \mu_2'' | (S-1) \\ & | E, j, m, \mu_1, \mu_2 \rangle \langle E, j, m, \mu_1, \mu_2 | \vec{p}, \lambda_1, \lambda_2 \rangle \\ & = \iint \sum_{j'' m''} \sum_{j m} \frac{1}{\sqrt{m p'}} \delta(E_{p'} - E'') \delta_{\mu_1'' \lambda'_1} \delta_{\mu_2'' \lambda'_2} \sqrt{\frac{2j''+1}{4\pi}} D_{m'' \lambda'}^{j''*}(\varphi', \theta', -\varphi') dE'' \\ & \left[\delta(E'' - E) \delta_{j'' j} \delta_{m'' m} \delta_{\mu_1'' \mu_1} \delta_{\mu_2'' \mu_2} S_{\mu_1'' \mu_2''}^{(j)}(E) - 1 \right] \\ & \times \left[\frac{1}{\sqrt{m p}} \delta(E_p - E) \delta_{\mu_1 \lambda_1} \delta_{\mu_2 \lambda_2} \sqrt{\frac{2j+1}{4\pi}} D_{m \lambda}^{(j)}(\varphi, \theta, -\varphi) \right] dE \\ & = \frac{1}{m p} \delta(E_{p'} - E_p) \sum_{j m} \frac{2j+1}{4\pi} D_{m \lambda'}^{(j)}(\varphi', \theta', -\varphi') \left(S_{\lambda'_1 \lambda'_2, \lambda_1 \lambda_2}^{(j)}(E) - 1 \right) \times \\ & \quad \times D_{m \lambda}^{(j)}(\varphi, \theta, -\varphi) \end{aligned}$$

de donde

$$\langle \vec{p}', \lambda'_1, \lambda'_2 | (S-1) | \vec{p}, \lambda_1, \lambda_2 \rangle = \frac{1}{m p} \delta(E_{p'} - E_p) \sum_{j m} \frac{2j+1}{4\pi} \times$$

$$\times D_{m \lambda'}^{(j)*}(\varphi', \theta', -\varphi') \left(S_{\lambda'_1 \lambda'_2, \lambda_1 \lambda_2}^{(j)}(E) - 1 \right) D_{m \lambda}^{(j)}(\varphi, \theta, -\varphi)$$

ahora:

$$i \omega \vec{p} \int \begin{matrix} (j) \\ \lambda'_1 \lambda'_2, \lambda_1 \lambda_2 \end{matrix} (E) = S_{\lambda'_1 \lambda'_2, \lambda_1 \lambda_2}^{(j)}(E) - 1$$

de tal modo que

$$\begin{aligned} \langle \vec{k}, \lambda_1', \lambda_2' | (s-1) | \vec{k}, \lambda_1, \lambda_2 \rangle &= \frac{1}{m} \delta(E_k' - E_k) \times \\ &\sum_{\delta m} \frac{2\delta+1}{4\pi} D_{m\lambda'}^{(\delta)*}(\varphi', \theta', -\varphi') \left[2i k f_{\lambda_1' \lambda_2', \lambda_1 \lambda_2}^{(\delta)}(E) \right] D_{m\lambda}^{(\delta)}(\varphi, \theta, -\varphi) \\ \langle \vec{k}, \lambda_1', \lambda_2' | (s-1) | \vec{k}, \lambda_1, \lambda_2 \rangle &= \frac{2i}{m} \delta(E_k' - E_k) \sum_{\delta m} \frac{2\delta+1}{4\pi} D_{m\lambda'}^{(\delta)*}(\varphi', \theta', -\varphi') \times \\ & f_{\lambda_1' \lambda_2', \lambda_1 \lambda_2}^{(\delta)}(E) D_{m\lambda}^{(\delta)}(\varphi, \theta, -\varphi) \end{aligned} \quad (183)$$

En esta formula la dirección de \vec{k} está especificada por (θ, φ) y la de k' por (θ', φ') , la expresión se simplifica si elegimos la dirección de \vec{k} en el eje oz , en este caso $\theta = 0$ y recordemos que $D_{m\lambda}^{(\delta)}(\varphi, \theta, -\varphi) = \delta_{m\lambda}$. Si designamos con (θ, φ) la dirección de k' obtenemos

$$\begin{aligned} \langle \vec{k}(\theta, \varphi), \lambda_1', \lambda_2' | (s-1) | k\hat{z}, \lambda_1, \lambda_2 \rangle &= \frac{2i}{m} \delta(E_{k'} - E_k) \times \\ &\times \sum_{\delta m} \frac{2\delta+1}{4\pi} D_{m\lambda'}^{(\delta)*}(\varphi', \theta', -\varphi') f_{\lambda_1' \lambda_2', \lambda_1 \lambda_2}^{(\delta)}(E) \delta_{m\lambda} \\ \langle k'(\theta, \varphi), \lambda_1', \lambda_2' | (s-1) | k\hat{z}, \lambda_1, \lambda_2 \rangle &= \frac{2i}{m} \delta(E_{k'} - E_k) \times \\ &\times \sum_{\delta m} \frac{2\delta+1}{4\pi} D_{m\lambda'}^{(\delta)*}(\varphi', \theta', -\varphi') f_{\lambda_1' \lambda_2', \lambda_1 \lambda_2}^{(\delta)}(E) \end{aligned}$$

de la expresión (182)

$$\begin{aligned} \langle k'(\theta, \varphi), \lambda_1', \lambda_2' | (s-1) | k\hat{z}, \lambda_1, \lambda_2 \rangle &= \frac{i}{2\pi m} \delta(E_{k'} - E_k) \times \\ &\times f(k', \lambda_1', \lambda_2', k\hat{z}, \lambda_1, \lambda_2) \end{aligned}$$

de donde

$$\begin{aligned} \frac{2i}{m} \delta(E_{k'} - E_k) \sum_{\delta m} \frac{2\delta+1}{4\pi} D_{m\lambda'}^{(\delta)*}(\varphi', \theta', -\varphi') f_{\lambda_1' \lambda_2', \lambda_1 \lambda_2}^{(\delta)}(E) &= \\ = \frac{i}{2\pi m} \delta(E_{k'} - E_k) f_{\lambda_1' \lambda_2', \lambda_1 \lambda_2}^{(E, \theta', \varphi')} & \\ f_{\lambda_1' \lambda_2', \lambda_1 \lambda_2}^{(E, \theta', \varphi')} = \sum_{\delta=0}^{\infty} (2\delta+1) f_{\lambda_1' \lambda_2', \lambda_1 \lambda_2}^{(\delta)}(E) D_{\lambda \lambda'}^{(\delta)}(\varphi', \theta', -\varphi') & \quad (184) \end{aligned}$$

En el caso de partículas con spin

$$\begin{aligned} \lambda_1 = \lambda_2 = \lambda_1' = \lambda_2' = 0 \quad \text{y} \quad \delta = l \\ D_{00}^{(l)}(\varphi, \theta, -\varphi) = P_l(\cos\theta) \end{aligned}$$

y en este caso la ec. (184) se reduce a

$$f(E, \theta, \varphi) = \sum_{l=0}^{\infty} (2l+1) f^l(E) P_l(\cos\theta)$$

Podemos transformar la ec. (184) haciendo uso de la rela-

ción de ortogonalidad de nuestras eigenfunciones bases:

$$\int_0^\pi \rho \sin \theta \, d\theta \int_0^{2\pi} d\varphi \, D_{m\lambda}^{(\lambda)}(\varphi, \theta, -\varphi) D_{\lambda' \lambda'}^{(\lambda')}(\varphi, \theta, -\varphi) = \frac{4\pi}{2\lambda+1} \delta_{\lambda\lambda'} \delta_{m\lambda'}$$

Multiplicando (184) por $D_{m\lambda}^{(\lambda)}(\varphi, \theta', -\varphi)$ e integrando

tenemos

$$\begin{aligned} & \int_0^\pi \rho \sin \theta \, d\theta \int_0^{2\pi} d\varphi \, D_{m\lambda}^{(\lambda)*}(\varphi, \theta', -\varphi) f_{\lambda_1 \lambda_2', \lambda_1 \lambda_2}^{(E', \theta', \varphi')} = \\ & = \sum_{\lambda=0}^{\infty} (2\lambda+1) f_{\lambda_1 \lambda_2', \lambda_1 \lambda_2}^{(E)} \int_0^\pi \rho \sin \theta \, d\theta \int_0^{2\pi} d\varphi \, D_{m\lambda}^{(\lambda)*}(\varphi, \theta', -\varphi) D_{\lambda' \lambda'}^{(\lambda')}(\varphi, \theta', -\varphi) \end{aligned}$$

de donde obviamente

$$f_{\lambda_1 \lambda_2', \lambda_1 \lambda_2}^{(E)} = \frac{1}{4\pi} \int_0^\pi \rho \sin \theta \, d\theta \int_0^{2\pi} d\varphi \, D_{m\lambda}^{(\lambda)*}(\varphi, \theta', -\varphi) f_{\lambda_1 \lambda_2', \lambda_1 \lambda_2}^{(E', \theta', \varphi')} \quad (185)$$

donde $m = \lambda_1 - \lambda_2$ y $\lambda = \lambda_1 - \lambda_2'$ son respectivamente las helicidades de las partículas entrantes y salientes.

El otro desarrollo de la amplitud de dispersión

lo podemos conseguir de la manera siguiente:

$$f_{\lambda_1 \lambda_2', \lambda_1 \lambda_2}^{(\kappa, \theta, \varphi)} = \int_0^\infty k'^2 dk' \int_0^\pi \rho \sin \theta' \, d\theta' \int_0^{2\pi} d\varphi' \frac{\delta(\kappa - k')}{k'^2} \frac{\delta(\theta \kappa - \theta' k')}{\rho \sin \theta' k'} \delta(\varphi \kappa - \varphi' k') \times f_{\lambda_1 \lambda_2', \lambda_1 \lambda_2}^{(\kappa', \theta', \varphi')}$$

usaremos el hecho de que

$$\sum_{\lambda=|\lambda_1|}^{\infty} \sum_{m=-\lambda}^{\lambda} \frac{2\lambda+1}{4\pi} D_{m\lambda}^{(\lambda)*}(\varphi'_k, \theta'_k, -\varphi'_k) D_{m\lambda}^{(\lambda)}(\varphi_k, \theta_k, -\varphi_k) \quad \text{y}$$

$$= \frac{\delta(\theta \kappa - \theta' k') \delta(\varphi \kappa - \varphi' k')}{\rho \sin \theta' k'}$$

$$\frac{2\lambda+1}{4\pi} \int_0^\infty r'^2 dr' \int_0^\pi \rho \sin \theta' \, d\theta' \int_0^{2\pi} d\varphi' \int_0^\pi \rho \sin \theta \, d\theta \int_0^{2\pi} d\varphi \, D_{m\lambda}^{(\lambda)*}(\varphi'_k, \theta'_k, -\varphi'_k) \times D_{m\lambda}^{(\lambda)}(\varphi_k, \theta_k, -\varphi_k) \langle \vec{p}(\theta \kappa, \varphi \kappa), \lambda | \vec{p}(\theta'_k, \varphi'_k), \lambda \rangle = \frac{\delta(\theta \kappa - \theta' k')}{\rho \sin \theta' k'}$$

de donde

$$\begin{aligned} f_{\lambda_1 \lambda_2', \lambda_1 \lambda_2}^{(\kappa, \theta, \varphi)} &= \int_0^\infty k'^2 dk' \int_0^\pi \rho \sin \theta' \, d\theta' \int_0^{2\pi} d\varphi' \, \varphi'_k \frac{2\lambda+1}{4\pi} \int_0^\infty r'^2 dr' \int_0^\pi \rho \sin \theta \, d\theta \int_0^{2\pi} d\varphi \\ & \times \int_0^\pi \rho \sin \theta \, d\theta \int_0^{2\pi} d\varphi \, D_{m\lambda}^{(\lambda)*}(\varphi'_k, \theta'_k, -\varphi'_k) D_{m\lambda}^{(\lambda)}(\varphi_k, \theta_k, -\varphi_k) \\ & \times \langle \vec{p}(\theta \kappa, \varphi \kappa), \lambda | \vec{p}(\theta'_k, \varphi'_k), \lambda \rangle \\ & \times \sum_{\lambda=|\lambda_1|}^{\infty} \sum_{m=-\lambda}^{\lambda} \frac{2\lambda+1}{4\pi} D_{m\lambda}^{(\lambda)}(\varphi'_k, \theta'_k, -\varphi'_k) D_{m\lambda}^{(\lambda)*}(\varphi_k, \theta_k, -\varphi_k) f_{\lambda_1 \lambda_2', \lambda_1 \lambda_2}^{(\kappa', \theta', \varphi')} \end{aligned}$$

que se puede reorganizar en la forma siguiente

$$\begin{aligned}
 f_{\lambda_1 \lambda_2, \lambda_1 \lambda_2}^{(\kappa, \theta, \varphi)} &= \sum_{\delta=|\lambda|}^{\infty} \sum_{m=-\delta}^{\delta} \frac{2\delta+1}{4\pi} \int_0^{\infty} r^2 dr \int_0^{\pi} \sin \theta \kappa d\theta \kappa \int_0^{2\pi} d\varphi \kappa \mathcal{D}_{m\lambda}^{(\delta)*}(\varphi, \theta, -\varphi) \\
 &< \vec{r}(\theta, \varphi), \lambda | \mathcal{D}_{m\lambda}^{(\delta)}(\varphi, \theta, -\varphi) \left\{ \frac{2\delta+1}{4\pi} \int_0^{\infty} k'^2 dk' \int_0^{\pi} \sin \theta' r d\theta' \int_0^{2\pi} d\varphi' r \right. \\
 &\left. \int_0^{\pi} \sin \theta'_k d\theta'_k \int_0^{2\pi} d\varphi'_k \mathcal{D}_{m\lambda}^{(\delta)*}(\varphi'_k, \theta'_k, -\varphi'_k) | \vec{r}(\theta'_k, \varphi'_k) \mathcal{D}_{m\lambda}^{(\delta)}(\varphi'_k, \theta'_k, -\varphi'_k) \right\} \\
 &\left. f_{\lambda_1 \lambda_2, \lambda_1 \lambda_2}^{(\kappa', \theta', \varphi')} \right\}
 \end{aligned}$$

si definimos

$$\begin{aligned}
 f_{m\lambda}^{(\delta)}(r) &= \frac{2\delta+1}{4\pi} \int_0^{\infty} k'^2 dk' \int_0^{\pi} \sin \theta' d\theta' \int_0^{2\pi} d\varphi' \int_0^{\pi} \sin \theta'_k d\theta'_k \int_0^{2\pi} d\varphi'_k \\
 &\mathcal{D}_{m\lambda}^{(\delta)*}(\varphi'_k, \theta'_k, -\varphi'_k) | \vec{r}(\theta'_k, \varphi'_k), \lambda \mathcal{D}_{m\lambda}^{(\delta)}(\varphi'_k, \theta'_k, -\varphi'_k) f_{\lambda_1 \lambda_2, \lambda_1 \lambda_2}^{(\kappa', \theta', \varphi')} \quad (186)
 \end{aligned}$$

entonces

$$\begin{aligned}
 f_{\lambda_1 \lambda_2, \lambda_1 \lambda_2}^{(\kappa, \theta, \varphi)} &= \sum_{\delta=|\lambda|}^{\infty} \sum_{m=-\delta}^{\delta} \frac{2\delta+1}{4\pi} \int_0^{\infty} r^2 dr \int_0^{\pi} \sin \theta \kappa d\theta \kappa \int_0^{2\pi} d\varphi \kappa \mathcal{D}_{m\lambda}^{(\delta)*}(\varphi, \theta, -\varphi) \\
 &< \vec{r}(\theta, \varphi), \lambda | \mathcal{D}_{m\lambda}^{(\delta)}(\varphi, \theta, -\varphi) f_{m\lambda}^{(\delta)}(r) \quad (187)
 \end{aligned}$$

Ejemplo: En el caso de que no haya spin $m = \lambda = 0$ y $\delta = \ell$

$\mathcal{D}_{00}^{(\ell)}(\varphi, \theta, -\varphi) = P_{\ell}(\cos \theta)$ la ecuación (187) se transforma en

$$f_{\lambda_1 \lambda_2, \lambda_1 \lambda_2}^{(\kappa, \theta)} = \sum_{\ell=0}^{\infty} \frac{2\ell+1}{4\pi} \int_0^{\infty} r^2 dr \int_0^{\pi} \sin \theta \kappa d\theta \kappa \int_0^{2\pi} d\varphi \kappa P_{\ell}(\cos \theta'_k) e^{i\lambda \kappa r \cos \theta \kappa} P_{\ell}(\cos \theta \kappa) \times f_{m\lambda}^{\ell}(r)$$

el desarrollo de ondas planas es:

$$e^{-i\lambda \kappa r \cos \theta \kappa} = \sum_{\ell'=0}^{\infty} (2\ell'+1) (-i)^{\ell'} f_{\ell'}^{\ell}(kr) P_{\ell'}(\cos \theta \kappa)$$

con r en la dirección z . La integral sobre φ se puede

evaluar inmediatamente y entonces

$$\begin{aligned}
 F(\kappa, \cos \theta) &= \sum_{\ell=0}^{\infty} \frac{2\ell+1}{2} \int_0^{\infty} r^2 dr \int_0^{\pi} \sin \theta \kappa d\theta \kappa P_{\ell}(\cos \theta'_k) \sum_{\ell'=0}^{\infty} (2\ell'+1) (-i)^{\ell'} \times \\
 &\times f_{\ell'}^{\ell}(kr) P_{\ell'}(\cos \theta \kappa) P_{\ell}(\cos \theta \kappa) f_m^{\ell}(r)
 \end{aligned}$$

la cual se puede reescribir como

$$f(k, \omega\theta) = \sum_{l=0}^{\infty} \sum_{l'=0}^{\infty} (-1)^{l'} \frac{2l+1}{2} \int_0^{\infty} r^2 dr f_{l'}(kr) f_m^l(r) P_l(\omega\theta k') \\ (2l'+1) \int_0^{\pi} \sin\theta_k d\theta_k P_l(\omega\theta k) P_{l'}(\omega\theta k')$$

Usando la ortogonalidad de los polinomios de Legendre:

$$\int_0^{\pi} \sin\theta_k d\theta_k P_l(\omega\theta k) P_{l'}(\omega\theta k) = \frac{2}{2l+1} \delta_{ll'}$$

de donde

$$F(k, \omega\theta) = \sum_{l=0}^{\infty} (-1)^l (2l+1) \int_0^{\infty} r^2 dr f_m^l(r) f_l(kr) P_l(\omega\theta k')$$

que coincide con la amplitud de dispersión para partículas sin spin.

V.2 - El desarrollo cilíndrico del momento transferido para partículas con spin

En el capítulo II sección 2 obtuvimos que las funciones base en el sistema de referencia de la pared de ladrillos del momento transferido son

$$\{ |k, q, m\rangle \} = \left\{ \frac{1}{2\pi} J_m(k\rho) e^{i q z} e^{i m \varphi} \right\} \quad (188)$$

Podemos usar esta base para representar la amplitud de dispersión para partículas con spin, los valores de m son $m = 0, \pm \frac{1}{2}, \pm 1, \dots$

Consideremos la dispersión de una partícula de masa m_1 y spin s_1 por otra de masa m_2 y spin s_2 que salen después de la colisión con masa $m_3 = m_1$ y spin s_3 , y masa $m_4 = m_2$ y spin s_4 . La amplitud de dispersión se puede escribir como

$$F_n(k, q) = \sum_{n'=-\infty}^{\infty} \int_0^{\infty} k' dk' \int_{-\infty}^{\infty} dq' \frac{\delta(k-k')}{k'} \delta(q-q') F_{n'}(k', q') \delta_{nn'} \quad (189)$$

con $\eta = (\lambda_4 - \lambda_2) - (\lambda_1 - \lambda_3)$ 9-11

Usando la relación de ortogonalidad de nuestras funciones base, la ec. (189) nos queda

$$F_n(K, q) = \frac{1}{2\pi} \sum_{n'=-\infty}^{\infty} \int_0^{\infty} k' dk' \int_0^{\infty} dq' \int_0^{2\pi} p dp J_n(Kp) J_{n'}(k'p) \int_{-\infty}^{\infty} dz e^{i(q-q')z}$$

reorganizando

$$F_n(K, q) = \int_0^{\infty} p dp \int_0^{\infty} dz \int_0^{2\pi} d\varphi J_n(Kp) e^{iqz} e^{in\varphi} \left\{ \frac{1}{2\pi} \sum_{n'=-\infty}^{\infty} \int_0^{\infty} k' dk' \int_{-\infty}^{\infty} dq' e^{-in'\varphi} J_{n'}(k'p) e^{-iq'z} F_{n'}(k', q') \right\}$$

si definimos

$$f(pz, \varphi) = \frac{1}{2\pi} \sum_{n'=-\infty}^{\infty} \int_0^{\infty} k' dk' \int_{-\infty}^{\infty} dq' e^{-in'\varphi} J_{n'}(k'p) e^{-iq'z} F_{n'}(k', q')$$

la amplitud de dispersión nos queda entonces como

$$F_n(K, q) = \int_0^{\infty} p dp \int_{-\infty}^{\infty} dz \int_0^{2\pi} d\varphi e^{in\varphi} J_n(Kp) e^{iqz} f(pz, \varphi) \quad (190)$$

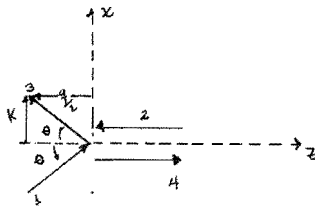
si definimos de nuevo

$$a(q, p) = \int_{-\infty}^{\infty} dz \int_0^{2\pi} d\varphi e^{in\varphi} f(pz, \varphi)$$

la ec. (190) queda entonces como

$$F_n(K, q) = \int_0^{\infty} p dp J_n(Kp) a(q, p) \quad (191)$$

En nuestro caso todas las λ están cuantizadas en la dirección del momento transferido



Sistema de referencia del momento transferido.

Si queremos obtener la expresión para la amplitud en el sistema del momento transferido, debemos invertir la helicidad de la partícula 2 y rotar los spines de las partículas 1 y 3. La ec. (191) se transformará en

$$F_n(k, q) = \sum_{\mu = -s_3}^{s_3} D_{\lambda_3 \mu}^{s_3}(\omega) \sum_{\sigma = -s_1}^{s_1} D_{\lambda_1 \sigma}^{s_1}(\omega) \int_0^{\infty} \rho d\rho a(q, \rho) J_{\lambda_3 - \lambda_2 + \mu - \sigma}^{(k\rho)} \quad (192)$$

donde

$$\begin{aligned} D_{\lambda_3 \mu}^{s_3}(0, \pi - \theta, 0) &= d_{\lambda_3 \mu}^{s_3}(\pi - \theta) \quad \text{y} \\ D_{\lambda_1 \sigma}^{s_1}(0, \theta, 0) &= d_{\lambda_1 \sigma}^{s_1}(\theta) \end{aligned} \quad (193)$$

Por sustitución de (193) en (192)

$$F_n(k, q) = \sum_{\mu \sigma} d_{\lambda_3 \mu}^{s_3}(\pi - \theta) d_{\lambda_1 \sigma}^{s_1}(\theta) \int_0^{\infty} \rho d\rho a(q, \rho) J_{\lambda_3 - \lambda_2 + \mu - \sigma}^{(k\rho)}$$

el ángulo viene definido por

$$\theta = \text{arctg} \frac{t_1^B + t_2^B}{q} = \frac{z\kappa}{q}$$

Entonces, ahora λ etiqueta la amplitud de helicidad en el sistema de Breit.

V.3 - El desarrollo cilíndrico del parámetro de impacto para partículas con spin. La amplitud de dispersión en este sistema de referencia por analogía con el caso anterior es:

$$F_n(p, q, q) = \int_0^{\infty} b db J_n(qb) a(q, \rho)$$

con

$$a(q, b) = \int_{-\infty}^{\infty} dz f(pz, \varphi) e^{i(p-q)z}$$

y

$$\eta = (\lambda_3 - \lambda_2) - (\lambda_1 - \lambda_4)$$

Si consideramos que todas las λ están cuantizadas a lo largo de la dirección de $\vec{p} - \vec{q}$ si queremos obtener

la amplitud de dispersión en el sistema de Breit del parámetro de impacto debemos invertir la helicidad de la partícula 2 y rotar los spines de las partículas 1 y 4, obtenemos

$$F_n(p, q, q) = \sum_{\mu = -s_A}^{s_A} \mathcal{D}_{\lambda_4 \mu}^{s_A} (0, \pi - \theta, 0) \sum_{\epsilon = -s_1}^{s_1} \mathcal{D}_{\lambda_1 \epsilon}^{s_1} (0, \theta, 0) \int_0^{\infty} b db J_n(qb) a(q, b)$$

con

$$\theta = \arctg \frac{q}{\left\{ q + \frac{2}{\mu} \left[\frac{\mu}{1-\mu} - \frac{\sqrt{\mu}}{1-\mu} \right] (p-q) \right\}} = \frac{1}{2} \arctg \frac{q}{p-q}$$

CAPITULO VI

En este capítulo se enumeraran los resultados que se encontraron en este trabajo y se haran algunos comentarios finales.

- 1) Se clasificarón las subalgebras del grupo de Euclides siguiendo el procedimiento de Kalnis et al⁵⁾
- 2) Se encontrarón los conjuntos de funciones bases en el espacio de Hilbert apropiado resolviendo el problema de eigenvalores y eigenfunciones para los operadores invariantes de $E(3) \supset O(3) \supset O(2)$ y $E(3) \supset E(2) \times T_{\perp} \supset O(2) \times T_{\perp}$.
- 3) Usando las funciones bases obtenidas se hicieron desarrollos "en ondas, parciales generalizadas" de la amplitud de dispersión estos desarrollos pueden tabularse en la siguiente forma: (ver Tabla 2).

Si identificamos la función:

$$\lambda^n J_n(\kappa\rho) = \langle \lambda_f | T_{\rho}(\kappa, 0, 0) | \lambda_i \rangle$$

donde $T_{\rho}(\kappa, 0, 0)$ es el generador de una translación a lo largo de κ en la representación ρ 20) y

$$e^{i q z} = \langle \lambda_f | T_2(0, 0, q) | \lambda_i \rangle$$

como elementos de matriz del operador de translaciones sobre el eje Z perpendicular al plano de la pared de ladrillos, la función:

$$D_{m\lambda}^{(s)}(\varphi, \theta, -\varphi) = \langle \lambda_f m_f | D(\varphi, \theta, -\varphi) | \lambda_i \rangle$$

TABLE 2

D e s a r r o l l o s	Base	Spin
$F(k, \omega\theta) = \sum_{\ell=0}^{\infty} (2\ell+1) \int_0^{\infty} r^2 dr f_{\ell}(kr) P_{\ell}(\omega\theta) f_{\ell}(r)$	E(3) ⊃ O(3) ⊃ O(2)	sin
$f_{\ell}(r) = \frac{1}{\pi} \int_0^{\infty} k'^2 dk' \int_0^{\pi} \sin\theta' d\theta' f_{\ell}(k'r) P_{\ell}(\omega\theta') F(k', \omega\theta')$	E(3) ⊃ O(3) ⊃ O(2)	sin
$F_{\lambda_1 \lambda_2}^{(k, \theta, \varphi)} = \sum_{\lambda} \sum_{m=-\lambda}^{\lambda} \frac{2\lambda+1}{4\pi} \int_0^{\infty} r^2 dr \int d\Omega_k D_{m\lambda}^{(\lambda)*}(\Omega_k) \langle \vec{r} \mathcal{D}_{m\lambda}^{(\lambda)}(\Omega_k) f_{m\lambda}^{(\lambda)}(r) \rangle$	E(3) ⊃ O(3) ⊃ O(2)	con
$f_{m\lambda}^{(\lambda)}(r) = \frac{2\lambda+1}{4\pi} \int_0^{\infty} k'^2 dk' \int d\Omega_k \int d\Omega_k' \mathcal{D}_{m\lambda}^{(\lambda)}(\Omega_k) \langle \vec{r} \mathcal{D}_{m\lambda}^{(\lambda)}(\Omega_k) f_{\lambda_1 \lambda_2}^{(k', \theta', \varphi')} \rangle$	E(3) ⊃ O(3) ⊃ O(2)	con
$F(q, k) = \int_0^{\infty} p dp J_0(kp) A(q, p)$	E(3) ⊃ E(2) × T ₁ ⊃ O(2) × T ₁	sin
$A(q, p) = \int_{-\infty}^{\infty} dz e^{iqz} f(p, z)$	E(3) ⊃ E(2) × T ₁ ⊃ O(2) × T ₁	sin
$F(q, p-q) = \int_{-\infty}^{\infty} dz e^{i(p-q)z} f(b, z)$	E(3) ⊃ E(2) × T ₁ ⊃ O(2) × T ₁	sin
$A(p-q, b) = \int_{-\infty}^{\infty} dz e^{i(p-q)z} f(b, z)$	E(3) ⊃ E(2) × T ₁ ⊃ O(2) × T ₁	sin
$F_n(q, k) = \int_0^{\infty} p dp J_n(kp) a(q, p)$	E(3) ⊃ E(2) × T ₁ ⊃ O(2) × T ₁	con
$a(q, p) = \int_{-\infty}^{\infty} dz \int_0^{2\pi} d\varphi e^{in\varphi} f(pz\varphi)$	E(3) ⊃ E(2) × T ₁ ⊃ O(2) × T ₁	con
$F_n(q, p-q) = \int_0^{\infty} b db J_n(q, b) a(p-q, b)$	E(3) ⊃ E(2) × T ₁ ⊃ O(2) × T ₁	con
$a(p-q, b) = \int_{-\infty}^{\infty} dz f(bz\varphi) e^{i(p-q)z} f(b, z)$	E(3) ⊃ E(2) × T ₁ ⊃ O(2) × T ₁	con

como un elemento de matriz del operador de rotaciones en tres dimensiones, entonces los desarrollos en dos variables de las amplitudes de dispersión no-relativistas discutidas en este trabajo se pueden escribir en todos los casos como transformadas integrales

$$F_{\lambda_f, \lambda_i} = \int \langle 10 | \rangle f_{\lambda_f, \lambda_i}$$

en donde F_{λ_f, λ_i} es la amplitud de dispersión en función de las variables ordinarias, energía y ángulo θ momentos de las partículas antes y después de la colisión, y

f_{λ_f, λ_i} es la "amplitud parcial" y $\langle 10 | \rangle$

es un elemento de matriz de los operadores de los subgrupos de $E(3)$ apropiados, rotaciones o translaciones. De esta manera los desarrollos iconales y en ondas parciales ordinarias aparecen como casos particulares de "desarrollos en ondas parciales generalizados" que son transformadas integrales cuyo núcleo son las funciones que representan los operadores de una cadena de subgrupos de $E(3)$

Finalmente, es conveniente notar que en este trabajo se ha puesto énfasis sobre algunos aspectos formales de la teoría, y no se han discutido las propiedades dinámicas que están contenidas en las amplitudes parciales. La discusión de estas propiedades se hace comúnmente a partir de las propiedades de las soluciones de la ecuación de Schrödinger con un po-

tencial definido y es probablemente un procedimiento más simple y directo que una teoría de las colisiones no-relativistas que estuviera basada en la invariancia galileana. Por otra parte, la noción de potencial no se generaliza fácilmente al caso relativista, en tanto que las amplitudes invariantes de Galileo tienen su contrapartida inmediata en las amplitudes invariantes de Lorentz, a partir de las cuales se pueden obtener en el límite $c \rightarrow \infty$. Esta última característica permite suponer que el estudio de las propiedades de las amplitudes invariantes de Galileo a partir del modelo familiar de la dispersión por un potencial, además del interés que por sí misma presenta permite obtener una comprensión mejor de algunos aspectos de la dispersión relativista de partículas elementales.

- 1.- Paul Roman "Advanced Quantum Theory" Chapter 3 p. 316-323
Addison-Wesley, 1965.
- 2.- R. Hagedorn "Selected Topics on Scattering Theory" Parts II
and III, p. 106 CERN.
- 3.- Leonard S. Rodberg "Introduction to the Quantum Theory of
Scattering" Chapter I, II, III, VI, X, XI, Academic Press
1967.
- 4.- John R. Taylor "Scattering Theory", John Wiley, Chapter II,
1973.
- 5.- E.G. Kalnins et al, Phys. Rev. D8 2552 (1973).
- 6.- Albert Messiah "Mecanique Quantique" Chapitre V p. 150-151
455 Dunod, Paris 1962.
- 7.- E.T. Whittaker and G.N. Watson "A Course of Modern Analysis"
Cambridge University Press, 1927, Section 15.5 ff.
- 8.- Kurt Gottfried "Quantum Mechanics" Chapter III, p. 90-91
284-299, W.A. Benjamin, Inc. (1966).
- 9.- G. Cocho, C. Fronsdal et al, Phys. Rev. Vol. 168 N° 5 (1968).
- 10.- R.J. Glauber, "Lectures in Theoretical Physics", (Interscience)
Publishers Inc. New York, (1958) Vol. pag. 315.
- 11.- G. Cocho, A. Mondragón, M. Colón Vela, Nucl. Phys. A25, 425
(1969).
- 12.- G. Cocho y A. Mondragón, Nuclear Physics, A25 417-424 (1969).
- 13.- A. Mondragón, G. Cocho, M. Colón Vela, Rev.Mex.Fís. Vol. 17
p. 59-67 (1968).

- 14.- A.A. Makarov, a, A. Smorodinsky, Kh. Valiek, and P. Winternitz, Nuovo Cimento 52A 1061 (1967).
- 15.- A.D. Martin, T.D. Spearman "Elementary Particles Theory" North Holland (1970).
- 16.- R.G. Newton, "Scattering Theory of Particles and Waves" Mc Graw-Hill, New York, Section 183, (1966).
- 17.- F. Coester, Phys. Rev. Vol. 89 N° 3, 619 (1953).
- 18.- M. Jacob and G.C. Wick, Annals of Physics 7, 404-428 (1959).
- 19.- Toschimi Adachi and Tsuneyuki Kotoni, Progr. Theor. Phys. Suppl. 316 (1965).
- 20.- N. Vilenkin "Fonctions Speciales et Théorie de la représentation des Groupes" Dunod, Paris (1969) Chap. IV.
- 21.- S.M. Berman and M. Jacob, Phys. Rev. Vol. 139 N° 4B (1965).
- 22.- A.R. Edmonds, "Angular Momentum in Quantum Mechanics", Princeton Univ. Press, Princeton (1957).
- 23.- M.E. Rose, "Elementary Theory of Angular Momentum", Wiley, New York (1957).
- 24.- E. Chacón, "Introducción a la Teoría de los Grupos y sus Aplicaciones a la Mecánica Cuántica", IFUNAM, (1975).
- 25.- E.P. Wigner "Group Theory" Academic Press. N.Y. (1959).
- 26.- R. Gilmore "Lie Groups, Lie Algebras and Some of Their Applications", Johu Wiley, p. 220-456 (1974).
- 27.- N.N. Lebedev "Special functions and their Applications", Dover p. 98 (1965).

28.- James D. Talman "Special Function" W.A. Benjamin, Inc.

(1968) Cap. II y XII.

29.- W. Miller Jr., Commun Pure Appl. Math. 17, 527 (1964).